

Lassi Parkkila

MIKROKONTROLLERIOHJATUN METRONOMIN SUUNNITTELU JA TOTEUTUS

Informaatioteknologian ja viestinnän tiedekunta
Kandidaatintyö
Heinäkuu 2019

TIIVISTELMÄ

Lassi Parkkila: Mikrokontrolleriohjatun metronomin suunnittelu ja toteutus
Design and implementation of a microcontroller controlled metronome
Kandidaatintyö, 51 sivua, 2 liitettä
Tampereen yliopisto
Tieto- ja sähkötekniikka, TkK
Tarkastaja: Yliopistolehtori Erja Sipilä
Heinäkuu 2019

Tässä työssä suunnitellaan, rakennetaan ja testataan mukana kuljetettava ja riittävän pienikokoinen mikrokontrolleriohjattu metronomi. Metronomiin suunnitellaan niin kotelointi, kuin myös sähköinen kokonaisuuskin. Myös käyttöliittymä ja ohjelmakoodi toteutetaan tämän työn puitteissa. Elektroniikkakokonaisuus pyritään saamaan siististi piirilevylle. Metronomin ulkoasusta tehdään mukavan näköinen ja käyttöliittymästä helppokäyttöinen. Markkinoilla on paljon hyviä digitaalisia metronomeja, mutta niistä ei löydy mahdollisuutta tahdittaa additiivisia rytmejä eikä käyttäjän ole mahdollista ohjelmoida laitteita uudestaan, mikäli kokisi sen tarpeelliseksi. Tähän tarpeeseen rakennettava metronomi pyrki vastaamaan. Tulevaisuudessa metronomilla voisi tahdittaa myös polyrytmisiä tahteja.

Metronomin suunnittelu ja toteutus onnistuivat pääsääntöisesti hyvin. Kuitenkin metronomia rakentaessa eteen tuli muutamia haasteita, jotka pyrittiin ratkaisemaan tai pienentämään haasteesta koituvaa haittaa. Esimerkiksi vahvistinta valittaessa piti kokeilla useita erilaisia komponentteja sopivan vahvistimen löytämiseksi. Myös testausvaiheessa tikahdusten aiheuttamat virtapiikit aiheuttivat ongelmatilanteita, jotka kuitenkin korjattiin asentamalla muutama ylimääräinen komponentti jälkikäteen.

Metronomin runko valmistettiin 3D-tulostamalla. Tulostustyö jouduttiin tekemään useaan kertaan ennen kuin lopputuloksen muoto oli haluttu ja laatu riittävä. Onneksi 3D-tulostaminen on hyvä tapa kokeilla ja valmistaa prototyyppkejä. Kotelosta saatiin lopulta elegantin näköinen ja riittävän kestävä käyttötarkoitukseen. Ohjelmakoodi rakentui monien yritysten ja erehdysten kautta, mutta lopulta laite saatiin toimimaan halutulla tavalla.

Lopputuloksena saatiin lähes halutunlainen metronomi, joka on pienikokoinen ja helposti käytettävä. Muutamia laatuun negatiivisesti vaikuttavia asioita metronomiin vielä jäi, joita ei työn puitteissa saatu korjattua, yhtenä merkittävämpänä kokoaikainen pieni humina kaiuttimesta ja kuulo-keliittimestä. Seuraava kehitysaskel on näiden epäkohtien korjaaminen, sillä metronomeja olisi tarkoitus valmistaa muutamia kappaleita käyttöön.

Avainsanat: Metronomi, mikrokontrolleri, musiikki, 3D-tulostus, kannettava laite

Tämän julkaisun alkuperäisyys on tarkastettu Turnitin OriginalityCheck –ohjelmalla.

ALKUSANAT

Tämä kandidaatintyön idea sai alkunsa, kun muutama kaveri kaipasi metronomia, jolta ei kaupasta saanut. Kyselin heiltä tarkempia tietoja siitä, mitä he kaipaavat metronomilta. Ajattelin tällaisen kokonaisen elektroniikkalaitteen toteuttamisen olevan mielenkiintoinen projekti ja kysyin ohjaajaltani Erja Sipilältä, voisinko tehdä kandidaatintyöni kyseisen metronomin rakentamisesta. Hän piti sitä hyvänä ideana.

Haluan kiittää muutamia ystäviäni, erityisesti Lauria ja Santeria, musiikin teorian opettamisesta minulle, sekä suorasta palautteesta koko prosessin ajan. Kiitän myös ohjaajaani Erja Sipilää kannustavasta ja rakentavasta palautteesta sekä kärsivällisyydestä hieman venyneen projektin osalta.

Tampereella, 2.7.2019

Päivittäjä: Lassi Parkkila

SISÄLLYSLUETTELO

1. JOHDANTO	1
2. METRONOMI.....	3
2.1 Rakennettavan metronomin ominaisuudet	4
2.2 Toiminta	5
3. KÄYTTÄJÄN JA LAITTEEN RAJAPINTA.....	9
3.1 Näyttö	10
3.2 Näppäimet	11
3.3 Äänenvoimakkuuden säädin ja virtakytkin.....	14
3.4 Audio-out -liitin sekä kaiutin.....	14
3.5 USB	15
4. TOIMINNALLISET LOHKOT	16
4.1 Mikrokontrolleri, ATmega328p	16
4.2 Akku.....	18
4.2.1 Lataus.....	19
4.2.2 Latauksen mitoitus	21
4.2.3 Suojaus.....	25
4.2.4 Turvallisuus.....	25
4.3 Vahvistin	29
4.4 Piirilevy ja 3D-tulostettu runko.....	31
5. TESTAUS	36
5.1 Huomiot ja tuotteen laatua heikentävät ominaisuudet	36
5.2 Lataus ja varauksen purku	38
5.2.1 Purkauskoe.....	38
5.2.2 Latauskoe	40
6. OHJELMAKOODI	43
7. YHTEENVETO.....	47
LÄHTEET	49
LIITE A: KYTKENTÄKAAVIO	52
LIITE B: OHJELMAKOODI	53

LYHENTEET JA MERKINNÄT

ADC	engl. Analog to Digital Converter, analogi-digitaalinen muunnin
ALU	engl. Arithmetic Logic Unit, aritmeettislooginen yksikkö
AUX	engl. Auxiliary, yleinen kuulokeliintyyppi
BPM	engl. Beats Per Minute, iskuja minuutissa
C	Akun kapasiteetti
CC	engl. Constant Current, Vakiovirta
CV	engl. Constant Voltage, Vakiojännite
DAC	engl. Digital to Analog Converter, digitaalinen-analogia muunnin
EEPROM	engl. Electronically Erasable Programmable Read-Only Memory, sähköisesti tyhjennettävä ja kirjoitettava haihtumaton lukumuisti
FTDI	engl. Future Technology Devices International, mikropiiri valmistaja
HCI	engl. Human-Computer Interaction, tietokoneen ja ihmisen vuorovaikutus
I/O	engl. Input/Output, sisääntulo/ulostulo
IC	engl. Integrated Circuits, mikropiiri
IEEE	Institute of Electrical and Electronics Engineers
LCD	engl. Liquid Crystal Display, Nestekidenäyttö
LED	engl. Light-Emitting Diode, hohtodiodi
MOSFET	engl. Metal-Oxide-Semiconductor Field-Effect Transistor, Metallioksidi-puolijohdekanavatransistori
PC	engl. Personal Computer, henkilökohtainen tietokone
PLA	engl. Polylactic Acid, Polylaktidi, muovilaatu, jota käytetään mm. 3D-tulostamisessa
PWM	engl. Pulse-Width Modulation, Pulssinleveysmodulaatio
RAM	engl. Random Access Memory, keskusmuisti
RGB	engl. Red, Green, Blue, punainen, vihreä, sininen
ROM	engl. Read Only Memory, lukumuisti
SD	engl. Secure Digital, muistikorttityyppi
SPI	engl. Serial Peripheral Interface, sarjaliikennenerajapinta
SRAM	engl. Static Random Access Memory, staattinen lukumuisti
TFT	engl. Thin Film Transistor, ohutkalvotransistori
TNT	engl. Trinitrotoluene, yleinen räjähdysaine
UI	engl. User Interface, käyttöliittymä
USB	engl. Universal Serial Bus, sarjavyöläarkkitehtuuri

1. JOHDANTO

Musiikki on nykyään monipuolisempaa ja helpommin toteutettavaa kuin koskaan ennen. Tämän myötä myös musiikin monimuotoisuus ja monimutkaisuus ovat lisääntyneet. Perinteisesti yksi musiikkikappale on sisältänyt vain yhden tai muutaman tahtilajin, eikä tahtilajin muutoksia esiinny usein kappaleiden keskellä. Niissä ei myöskään ole ollut useita tahtilajeja päällekkäin.

Jotta soittajat pysyvät samassa ja halutussa tahdissa, on tapana ollut käyttää laitetta nimeltä metronomi. Laite tuottaa tahdin mukaista herätettä, usein tahdin mukaan naksatelevaa ääntä. Koska tahtilajit ovat olleet staattisia, ovat myös metronomit olleet tasan väliajoin naksatelevia laitteita.

Elektroniikan nopean kehityksen myötä nykyään on mahdollista luoda pieniä ja suorituskykyisiä laitteita, jotka helpottavat ihmisten jokapäiväistä elämää, harrastuksia ja työnteoa. Myös musiikin parissa työskentelevät käyttävät enenevässä määrin sähköisiä apuvälineitä.

Markkinoilta on kuitenkin puuttunut erilaisia tahtikuvioita mahdollistava metronomi, joka olisi helposti mukana kuljetettava, yksinkertainen käyttää sekä käyttäjän uudelleenohjelmoitavissa tarpeen mukaan. Tässä työssä suunnitellaan, rakennetaan ja testataan mikrokontrolleriohjattu metronomi. Mikrokontrollerina käytetään Microchipin valmistamaa AVR tuoteperheen AVR ATmega328p mikrokontrolleria.

Suunnittelun yhtenä lähtökohtana on saada kaikki järjestelmän toiminnalliset lohkot samalle piirilevyille. Laitteen koon tulisi myös olla sopiva, jotta sen mukana kuljettaminen olisi vaivatonta. Myös käytettävyyteen tullaan kiinnittämään huomiota, jotta laitteen käyttö olisi miellyttävää ja sen käyttö ei vaatisi tarpeettoman paljon opettelua.

Työn alussa esitetään tarkemmin, mikä on metronomi, sekä tässä työssä rakennettavaan metronomiin haluttavat ominaisuudet. Tämän jälkeen käsitellään laitteen ja käyttäjän välistä rajapintaa eli käyttöliittymää, sen ominaisuuksia ja mahdollisuuksia. Seuraavaksi käsitellään laitteen rakennetta, sekä sen sisäisten toiminnallisten lohkojen toimintaa. Lopussa ennen yhteenvetoa käydään läpi valmiin laitteen testaukseen liittyviä asioita sekä avataan ohjelmakoodin toimintaa.

2. METRONOMI

Metronomi on laite, jolla pystytään tuottamaan ennalta määrätty määrä ärsykeitä, esimerkiksi naksahduksia tai kilahduksia, minuutissa siten, että musiikin parissa työskentelevä pysyy aina samassa ja halutussa tempossa. Metronomin esiaste oli 1700-luvun lopulla D. N. Winkelin kehittämä *chronomètre*, jossa käytetään pendulum-efektiä luomaan vakaa värähtelyaika. Kuitenkaan Winkel ei suojannut keksintöään patentilla ja vuonna 1816 Johann Nepomuk Mälzel patentoi Winkelin idean, johon oli lisätty asteikko tahdistuksen helpottamiseksi. Näin syntyi laite nimeltä ”Mälzel metronomi”. Kyseinen laite-tyyppi on vielä nykyäänkin yleisesti käytössä oleva metronomimalli. [1]

Edellä mainittu metronomi on puinen, pyramidin muotoinen instrumentti, jonka edessä on terästanko, joka pääsee keinumaan pystysuunnassa. Tanko on noin 7 ½” pitkä ja 1/8” leveä. Tanko toimii kaksois-pendulum efektin avulla, eli tangon kummassakin päässä on paino. Toinen paino, yleensä ylempi, on liikutettava. Painon sijainnista riippuen metronomin oskillointitaajuus on säädettävissä, yleensä välillä 40 – 208 BPM (*engl. Beats Per Minute, iskuja minuutissa*). Joka heilahduksella tanko aiheuttaa pienen tikittävän äänen. Lisäksi laitteessa oleva kello voidaan määrätä kilahtamaan 2, 3 tai 4 isku välein. [1]



Kuva 1: Perinteinen metronomi [2], sekä kaupallinen digitaalinen metronomi [3]

Kuvassa 1 on esitettyä sekä perinteinen vedettävä metronomi, että uudenaikainen digitaalinen metronomi. Perinteisestä metronomista näkee hyvin metronomin tapin rakenteen, jossa on paino kummassakin päässä ja toinen paino on siirrettävä.

2.1 Rakennettavan metronomin ominaisuudet

Kaikkein monipuolisin metronomi saadaan, kun se toteutetaan digitaalisesti. Tällöin iskujen ajoitus voidaan tehdä hyvinkin tarkasti ja iskutaajuus on helposti muutettavissa numeerisesti. Tässä työssä toteutettavassa metronomissa käytetään kaiken laskennan sydämenä Microchipin valmistamaa AVR tuoteperheen AVR ATmega328p mikrokontroleria. ATmega328p:n kellotaajuus on ulkoisella kiteellä 16 MHz [4], joka riittää metronomin kaiken toiminnallisuuden ohjaamiseen.

Koska metronomista toteutetaan mukana helposti kannettava, pitää siihen sisällyttää akku kaikkine oheispiireineen. Akun varaus on käyttäjän nähtävissä näytöltä. Akun ylläpito ja syväpurkusuojaus on toteutettu suoraan piireinä, joten käyttäjä ei voi omilla toimillaan aiheuttaa akulle vahinkoa ylläpitoa tai käyttämällä akkua liian tyhjäksi.

Jotta metronomin käyttö olisi helppoa ja miellyttävää, on laitteessa seitsemän painonappia, joilla säädetään metronomin ominaisuuksia. Metronomissa on myös pieni näyttö, jonka kautta käyttäjä näkee metronomin tilan ja asetukset.

Metronomille päätettiin kehitellä myös nimi. Skandinaavinen mytologia sisältää paljon mielenkiintoista aineistoa ja toimii hyvänä inspiraation lähteenä. Nimeksi päädyttiin ottamaan skandinaavisen mytologian musiikin ja runollisuuden jumalan nimi, Bragi [5].

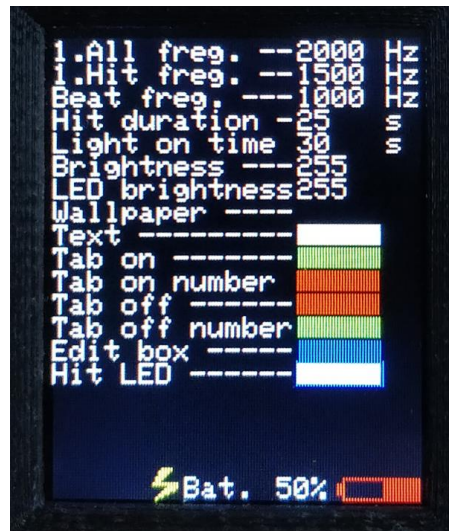


Kuva 2: Metronomin nimi aloitusnäytössä, BRAGI-metronome.



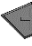

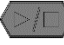
Kuvan 2 mukainen aloituskuva tulee metronomin näytölle aina käynnistettäessä. Aloituskuvan tehtävänä on antaa käyttäjälle aikaa valita asetusten, tehdasetusten palautuksen ja normaalin käytön välillä.




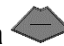
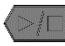
2.2 Toiminta

Käynnistettäessä metronomi näytölle ilmestyy laitteen nimi, BRAGI-metronome. Mikäli käynnistettäessä ja BRAGI-tekstin aikana pidetään pohjassa näppäimiä ◀ ja ▶, siirytään asetusvalikkoon, jossa voi säätää äänien taajuuksia, grafiikoiden värejä ja muita ulkoasuun liittyviä asetuksia. Näyttö on tällöin pystyasennossa ja metronomi pitää kääntää pystyyn siten, että kaiutin on alaspäin. Kuva asetusvalikosta on nähtävissä alla.



Kuva 3: Metronomin asetusvalikko

Muokattava kohde valitaan näppäimillä  ja . Muokattavan kohteen ympärille muodostuu neliö, jonka väri määräytyy "Edit box" asetuksen mukaan. Oletuksena tämä väri on sininen. Muokattavan kohteen arvoa vaihdetaan näppäimillä  ja . Pitkään painettaessa lukuarvot kasvavat tai pienenevät nopeasti ja siten lukujen suuret muutokset ovat melko nopeita tehdä. Painamalla näppäintä  pohjassa yli 3 sekuntia, asetukset tallentuvat metronomin muistiin ja siitä ilmoitetaan ledin vilkahtamisella ja pienellä äänimerkillä. Mikäli tallennusta ei tehdä ja metronomi käynnistetään uudelleen, on voimassa vanhat asetukset. Asetusvalikosta pois pääsemiseksi on metronomi käynnistettävä uudelleen kytkemällä metronomi virtakytkimestä ensin pois päältä ja sen jälkeen päälle.

Mikäli asetusten asettamisessa ei kaikki ole mennyt kuten on suunniteltu, esimerkiksi taustan ja tekstin väri on muutettu samaksi, tai käyttäjä haluaa palauttaa metronomin tehdasasetuksiin, pitää käynnistyksen ja BRAGI-tekstin aikana pitää pohjassa näppäimiä , ,  ja . Tällöin kaikki värit palautuvat alkuperäisiksi väreiksi ja kaikki ajoitukset, kuten tahdit ja tempot muuttuvat oletusarvoihinsa. Nämä asetukset pitää tallentaa painamalla näppäintä  yli 3 sekuntia, tai muuten uudellenkäynnistyksen jälkeen voimassa ovat edelleen vanhat asetukset.




Normaaliin käyttöön päästään, kun käynnistyksen aikana ei pidetä mitään näppäimiä pohjassa. Alla on esitetty kuva normaalista käyttöliittymästä oletusväreillä.





Kuva 4: Metronomin näyttö käytön aikana

Kaikki seuraavien kappaleiden toiminnot viittaavat kuvan 4 käyttöliittymään. Käyttöliittymän yläreunassa on kahdeksan välilehteä, joiden välillä voi siirtyä näppäimillä ◀ ja ▶. Aktiivinen välilehti näkyy hieman pidempänä kuin muut välilehdet. Muokattava kohde valitaan näppäimillä ◀ ja ▶, ja kohdetta muokataan näppäimillä ⬆ ja ⬇. Välilehdet soitetaan järjestyksessä vasemmalta oikealle ja vain ne välilehdet soitetaan, jotka ovat aktivoitu, eli vihreinä. Jokainen välilehti sisältää samat asetukset, joita voi muuttaa erikseen. Ensimmäinen muokattava kohde on välilehden aktivoiminen tai passivoiminen. Se onnistuu valitsemalla välilehti näppäimillä ◀ ja ▶, ja siirtämällä muokkausvalitsin välilehden päälle näppäimillä ⬆ ja ⬇. Välilehden tilaa voidaan vaihtaa näppäimillä ⬆ ja ⬇.

Toinen muokattava kohde on tahtilaji, joka näytöllä näkyy kuvana 3/4. Tahtilajin osoittajaa ja nimittäjää voidaan säätää kumpaakin erikseen välillä 1-99. Kolmas muokattava kohde on Repeat 3, jolla määritetään, kuinka monta kertaa kyseinen välilehti soitetaan, ennen kuin siirrytään seuraavaan välilehteen. Neljäntenä muokkauskohtana on tempo, joka näkyy

näytössä kuvana . Tempo määrittää, kuinka monta iskua minuutissa metronimi tuottaa tahtilajin nimittäjällä 4. Mikäli nimittäjä on esimerkiksi 8, on todellinen iskutiheys kaksi kertaa nopeampi. Viides muokkauskohta on kohta , jolla määritetään, onko koko kierron ensimmäinen isku erilainen kuin muut iskut. kuudes muokkauskohta on , jolla määritetään, onko jokaisen tahtilajin ensimmäinen isku erilainen kuin muut.

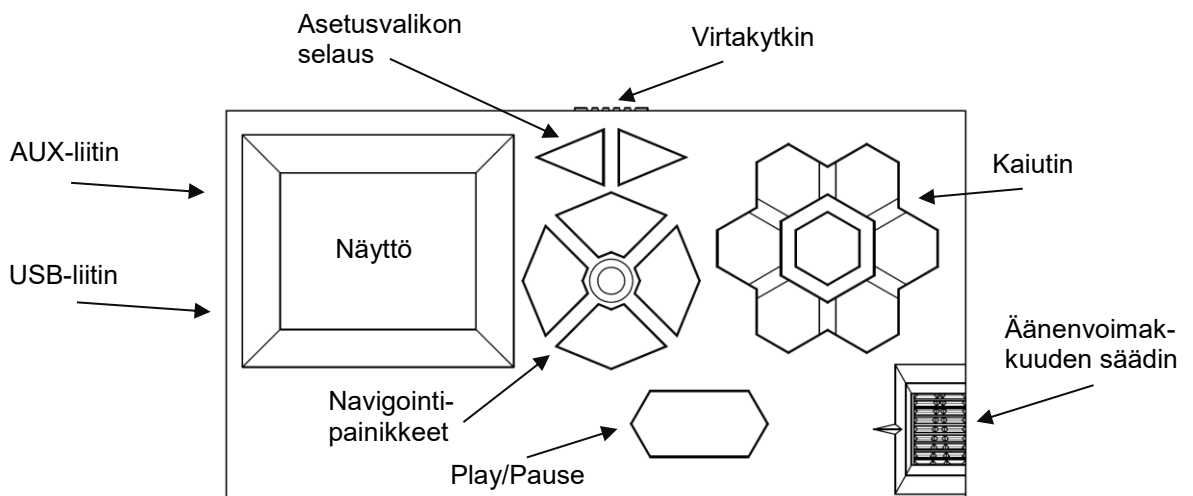
Näytöllä näkyy myös akun varauksen ilmoittava prosenttiluku sekä akkukuvake, joka näyttää visuaalisesti akun varauksen tilan . Akkukuvakkeen edessä on salama, joka on väriltään keltainen latauksen aikana ja vihreä silloin, kun akku on täyteen ladattu, mutta kiinni laturissa. Salamaa ei näy silloin, kun metronomi ei ole kytketty lataukseen.

Metronomin tikitys voidaan kytkeä päälle ja pois napauttamalla näppäintä . Mikäli asetuksissa on sallitu sisäisen ledin polttaminen, vilahtaa näppäinten keskellä kirkas LED-valo (engl. *Light-Emitting Diode*, *hohtodiodi*) samalla, kun tikahdus kuuluu kaiuttimesta. LED-valon väri ja kirkkaus on säädettävissä asetuksissa.

3. KÄYTTÄJÄN JA LAITTEEN RAJAPINTA

Käyttäjien ja tietokonejärjestelmien välisen kommunikoinnin tutkimusta kutsutaan nimellä HCI (*engl. Human-Computer Interaction, tietokoneen ja ihmisen vuorovaikutus*). HCI pitää sisällään muun muassa tietokoneen toiminnan, ihmisen psykologian, ergonomian, suunnittelun ja grafiikan tutkimisen. [6, s. 3 part 1]

Käyttöliittymä eli UI (*engl. User Interface*) on laitteen osa tai kokonaisuus, jonka kautta käyttäjä käyttää laitetta. Käyttöliittymän ominaisuudet vaikuttavat merkittävästi käyttökemukseen ja käytön helppouteen [6]. Siihen kuuluvat kaikki toiminnallisuudet, joilla käyttäjä syöttää tietoa laitteeseen ja saa laitteelta tietoa itselleen. Esimerkiksi näyttö, näppäimet ja kaiutin ovat oleellisia osia metronomin käyttöliittymässä. Alla olevassa kuvassa 5 on esitetty kuva metronomin fyysisestä käyttöliittymästä.



Kuva 5: Metronomin etupuoli

Käyttöliittymän ansiosta käyttäjä voi käyttää laitetta tuntematta laitteen teknistä toimintaa ja toteutusta. Käyttöliittymä myös nopeuttaa laitteen käyttöä, sillä yhdellä käyttöliittymän toiminnolla voidaan toteuttaa useita laitteen toimintoja samanaikaisesti. [7] Alla esitetyissä kappaleissa on esitetty metronomin käyttöliittymän osat sekä selitetty niiden toiminnallisuutta.

3.1 Näyttö

Tärkein tietoa metronomin asetuksista ja tilasta käyttäjälle välittävä komponentti on näyttö. Sen kautta käyttäjä näkee metronomin parametrien arvot sekä sen, mitä parametriä muutetaan. Näyttönä tässä työssä tehtävässä metronomissa käytetään Adafruitin valmistamaa ST7735R 1,8"-näyttöä [8]. Kyseiseen näyttöön päädyttiin, sillä kyseessä on värinäyttö, jolla voidaan tehdä selkeä graafinen käyttöliittymä, sekä se on yhteensopiva Arduino-ympäristön kanssa.

Näytön ominaisuudet [8]:

- Koko: 1,8"
- Resoluutio: 128 x 160
- Näyttötekniikka: TFT, LCD (*engl. Thin Film Transistor, Ohutkalvotransistori, Liquid Crystal Display, nestekidenäyttö*)
- Väri: RGB, 18-bit (*engl. Red, Green, Blue, Punainen, Vihreä, Sininen*)
- Ajuripiiri: ST7735R
- Ohjaus: SPI (*engl. Serial Peripheral Interface, sarjamoitoinen oheislaitteväylä*)

Koska näyttö toimii 3,3 V jännitetasolla, tulee kaikki signaalilinjat muuttaa 3,3 V jänniteiksi, sillä mikrokontrollerimme käyttää 5 V jännitetasoa. Tämä voidaan toteuttaa yksinkertaisella vastusten jännitteenjakokytkennällä, sillä näytöltä ei tule signaaleita mikrokontrollerille. Vastuksiksi valitaan 10 k Ω ja 20 k Ω vastukset, jolloin 5 V linjasta saadaan 3,33... V. Tämä on vielä alle näytön suurimman sallitun logiikkatason jännitteen, joka on $V_{CC} + 0,3$ V [8]. Käyttöjännitteensä näyttö saa FTDI-piiriin (*Future Technology Devices International*) 3,3 V ulostulosta.

Käytön aikana näytöstä on nähtävissä seuraavia asioita: tahtilaji, tempo, tahdin ensimmäisen iskun painotus, koko kierron ensimmäisen iskun painotus, välilehden toistokerrojen lukumäärä, välilehdillä olevat muistipaikat sekä akun varaustila. Näytön grafiikkaa on nähtävillä alla kuvassa 6 ja valmis käyttöliittymä kuvassa 4.



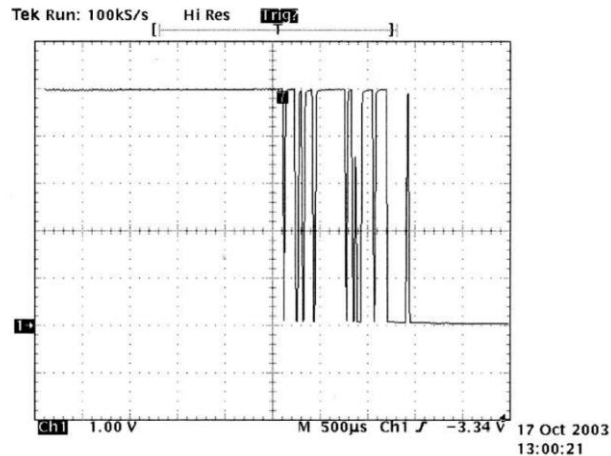
Kuva 6: Näytön käyttöliittymä kehitysvaiheessa

Näytön päivitykseen kuluva aika on melko suuri, joten kuvaa ei päivitetä silloin, kun metronomi soittaa ääntä. Päivitys myös saattaa vaikuttaa ajastimen tarkkuuteen. Jatkokehittäessä ohjelmakoodia yhtenä tavoitteena on näytön suorituskyvyn parantaminen.

3.2 Näppäimet

Kaikki kommunikointi käyttäjältä metronomiin tapahtuu seitsemän näppäimen kautta. Näppäinasettelu on sellainen, että neljä napeista toimii navigoinnissa, kahdella napeista voidaan selata asetusvalikoita ja yksi nappi, jolla joko pysäytetään tai aloitetaan metronomin soitto. Painonappien sijoittelu on esitetty kuvassa 5. Koska painonapit valmistetaan 3D-tulostamalla, on niihin melko helppo sisällyttää yksinkertaiset merkit, jotka kertovat mitä kukin nappi tekee.

Nappien rakenteesta johtuen suljettaessa tai avattaessa kytkintä kytkimen kontaktipinnassa tapahtuu niin sanottua värähtelyä (*engl. debounce*). Ideaalisessa tilanteessa kytkin vaihtaisi tilaansa heti, mutta todellisessa maailmassa kun nappi painetaan pohjaan, kontaktori jää ”hyppimään” hetkeksi ja aiheuttaa päälle- ja poiskeykeytmistä kunnes kontakti stabiloituu. Todelinen kytkimen tilan vaihtuminen on esitetty alla. [9, s. 58]

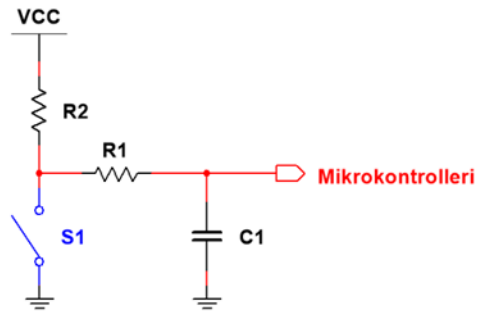


Kuva 7: Kytkimen sulkemisesta aiheutuvaa värähtelyä [9, s. 58]

Kuten kuvasta 7 nähdään, kytkimen tilan muuttuminen aiheuttaa värähtelyä. Mikäli kytkimen tila luettaisiin aina tilan muuttuessa, saataisiin hyvin epävarma tulos ja useita painalluksia yhden painalluksen sijasta. Kytkinvärähtelystä koituvaa haittaa voidaan vähentää helposti kahdella eri tavalla: ohjelmallisesti tai fyysisellä kytkennällä. [9, s. 58]

Ohjelmallisest toteutettuna kytkinvärähtely on helppo poistaa piirilevyn suunnittelun jälkeen eikä vaadi ulkoisia komponentteja. Toimintaperiaate on pääpiirteissään seuraavan kaltainen: Kun huomataan muuttuva kytkimen signaali, odotetaan hetken signaalin tasaantumista, jonka jälkeen luetaan kytkimen tila. Odotusaika voi sovelluksesta riippuen olla muutamia millisekunteja [9, s. 60-62].

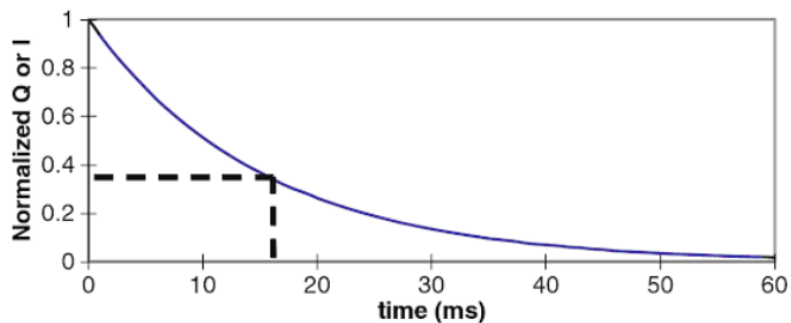
Toinen vaihtoehto värähtelyn vähentämiseen on alipäästösuodin. Alipäästösuotimen tarkoitus on suodattaa korkeat taajuudet pois signaalista ja päästää lävitseen vain matalat taajuudet, joita napin painalluskin edustaa. Yksinkertaisi alipäästösuodin koostuu vastuksesta ja kondensaattorista kuvan 8 tapaan. [10]



Kuva 8: Kytkinvärähtelyä vähentävä kytkentä

Kun kytkin S1 suljetaan, alkaa kondensaattori C1 purkautumaan vastuken R1 kautta. Kytkimen värähtely ei vaikuta paljoa kondensaattorin varaukseen, vaan kondensaattori tyhjenee muutamassa millisekunnissa komponenttien arvoista riippuen.

Kondensaattorin purkautumisnopeus voidaan laskea, kun tiedetään alipäästösuotimen RC-aikavakio. Aikavakio saadaan kertomalla alipäästösuotimen resistanssin ja kapasitanssin arvot keskenään. Tulokseksi saadaan aika, jossa kondensaattori on joko latautunut tai purkautunut $1/e = 0,37$ alkuperäisestä arvostaan. Yleisesti voidaan olettaa, että kondensaattori on täysin latautunut tai purkautunut viiden RC-aikavakion aikana. [11, s. 413]



Kuva 9: Normalisoitu RC-piirin kondensaattorin varaus. Katkoviivat merkitsevät yhtä RC-aikavakiota. [11, s. 413]

Tässä työssä metronomin nappien kytkinvärähtelyn poisto toteutetaan ohjelmallisesti. Näin tarvitaan vähemmän komponentteja ja saavutetaan suurempi muokattavuus jälkikäteen.

3.3 Äänenvoimakkuuden säädin ja virtakytkin

Metronomin äänenvoimakkuus säädetään potentiometrillä, joka on kytketty mikrokontrollerin ulostulon ja vahvistimen väliin. Koska ihmisen kuuloalue on logaritminen, käytetään potentiometrinä logaritmista potentiometriä [12].

Metronomissa on nykytrendin vastaisesti vielä fyysinen kytkin, jolla laite kytketään pois päältä. Fyysiseen kytkimeen päädyttiin siksi, että se on varmatoimisempi sekä käyttäjän kannalta yksinkertaisempi käyttää. Fyysinen kytkin varmistaa myös, ettei ohjelmistovirheen sattuessa metronomi kytkeydy itsestään päälle esimerkiksi keskellä yötä ja aiheuta häiriötä.

3.4 Audio-out -liitin sekä kaiutin

Metronomia voidaan käyttää joko yksistään tai se voidaan kytkeä ulkoiseen vahvistimeen, kuten esimerkiksi kitaravahvistimeen tai stereovahvistimeen. Ulkoisen vahvistimen käyttö mahdollistaa suuremman äänenvoimakkuuden käyttämisen.

Nykytrendi kulutuselektronikassa on liittimien vähentäminen ja sitä kautta AUX (*engl. Auxiliary*) -liittimen poisjättäminen esimerkiksi puhelimista [13]. Metronomiin on silti päätetty laittaa 3,5 mm naarasaudioliitin. Liittimeen voidaan liittää edellä mainittu vahvistin tai kuulokkeet hiljaiseen soittamiseen. Fyysiseen audioliittimeen päädyttiin, sillä mielestäni sen liitettävyyden äänitekniikan ammattitason laitteisiin on vielä parempi kuin esimerkiksi bluetooth-laitteiden.

Metronomi sisältää myös sisäisen kaiuttimen, jolla saavutetaan laitteen käyttö ilman ulkoista vahvistinta langattomasti. Kaiutin on pieni, halkaisijaltaan 40 mm. Kaiuttimen nimellisteho on 3 W ja impedanssi 4 Ω .

Valinta ulkoisen AUX-lähdön ja sisäisen kaiuttimen välillä on automaattinen. Kun AUX-liittimeen ei ole kytketty mitään, sekä AUX-liittimeen että kaiuttimeen menevät vahvistetut signaalit. Koska AUX-liittimeen ei ole kytketty mitään, ei sen aktiivisena oleminen haittaa ja ääni kuuluu vain sisäisestä kaiuttimesta. Kun AUX-liittimeen liitetään 3,5 mm

plugi, avaa plugin työntäminen koskettimen AUX-liittimen sisältä ja näin mikrokontrolleri saa tiedon, että liittimeen on liitetty jotain. Tämän jälkeen mikrokontrolleri alasvetää sisäisen kaiuttimen ennen vahvistinta olevan signaalin ja näin ollen ääni kuuluu vain AUX-liittimen kautta.

3.5 USB

Metronomi sisältää microUSB-portin (*engl. Universal Serial Bus, universaali sarjaliikenneväylä*). MicroUSB-portti on yleinen portti nykyelektronikassa, jonka on kuitenkin syrjäyttämässä USB-C -tyyppinen portti, joka mahdollistaa suuremmat tiedonsiirtonopeudet sekä suuremman lataustehon [14]. MicroUSB on kuitenkin riittävä metronomin tarpeisiin.

Käyttäjän kannalta USB-portti on pääsääntöisesti latausta varten. Kuitenkin USB-portin datalinja on yhdistetty FTDI-piiriin, jolla mikrokontrolleri voidaan ohjelmoida uudelleen suoraan USB:n välityksellä.

4. TOIMINNALLISET LOHKOT

Metronomi sisältää useita erilaisia osakokonaisuuksia, joita tässä yhteydessä nimitetään toiminnallisiksi lohkoiksi. Kaikki lohkot ovat jotenkin yhteydessä toisiinsa ja luovat yhdessä toimivan metronomin. Seuraavissa luvuissa on esitetty tärkeimpien toiminnallisten lohkojen toimintaa ja suunnitteluun liittyviä seikkoja.

4.1 Mikrokontrolleri, ATmega328p

Koska metronomin toiminta on toteutettu digitaalisesti, tarvitsee se digitaalisen laskentayksikön. Laskentayksiköitä on yleisesti kahta erilaista, mikrokontrollereita ja mikroprosessoreita. Mikrokontrollerit ovat useissa tapauksissa yksinkertaisempia ja sisältävät enemmän oheislaitteita sisäänrakennettuna suoraan mikropiirille. Mikroprosessorit kykenevät laskemaan monimutkaisia laskuja nopeammin ja ovat joustavampia tekemään erilaisia laskutoimituksia kuin mikrokontrollerit. [15] Taulukossa 1 on esitetty suurimmat erot mikroprosessoreiden ja mikrokontrollereiden välillä.

Taulukko 1: Mikroprosessorin ja mikrokontrollerin erot pääpiirteissään [15, s. 369]

Mikroprosessori	Mikrokontrolleri
<ul style="list-style-type: none"> • Sisältää ALU:n (<i>engl. Arithmetic logic unit, Aritmeettislooginen yksikkö</i>), yleiskäyttöisiä muistirekistereitä, muistipinoja ja osoittimia, ohjelmalaskureita, ajoituspiirejä ja keskeytyspiirejä • Monta tapaa siirtää dataa muistin ja CPU:n (<i>engl. Central processing unit, suoritin</i>) välillä • Muutama bitinkäsittelytapa • Vaatii enemmän ulkoisia komponentteja • Laitesuunnittelijan kannalta joustavampi toiminta • Yksi muisti koodille ja datalle • Harvempi komponentin pinneistä on monikäyttöisiä 	<ul style="list-style-type: none"> • Voi sisältää sisäänrakennettuna useita oheislaitteita, kuten ROM (<i>engl. Read Only Memory, luku-muisti</i>), RAM (<i>engl. Random Access Memory, Keskusmuisti</i>), I/O-portteja (<i>engl. Input/Output, sisään/ulostulo</i>), ajastimia, laskureita, ADC (<i>engl. Analog to Digital converter</i>) ja DAC (<i>engl. Digital to Analog Converter</i>) • Yksi tai kaksi tapaa siirtää dataa muistin ja CPU:n välillä • Monta erilaista bitin käsittelytapaa, kuten vähennys-, summaus- ja kertolaskuja, loogisia operaatioita ja liukulukuoperaatioita • Ulkoisten komponenttien tarve pienempi • Vähemmän muuntautuva ja erilaisiin toimiin erilaisia komponentteja • Erilliset muistit datalle ja koodille • Useampi komponentin pinneistä on monikäyttöisiä

Muunneltavuutensa, joustavuutensa ja nopeutensa vuoksi nykyisissä PC (*engl. Personal Computer, henkilökohtainen tietokone*) -tietokoneissa, matkapuhelimissa, kannettavissa tietokoneissa ja tableteissa käytetään mikroprosessoreita [16]. Nämä laitteet usein sisältävät jonkinlaisen käyttöjärjestelmän, jonka päällä ajetaan eri ohjelmia. Käyttöjärjestelmä ja laitteiston joustavuus ovat tarpeen, sillä laitevalmistaja ei voi tietää, millaisia ohjelmia käyttäjä aikoo suorittaa laitteella.

Mikroprosessoreita käytetään yleensä tietyn määritetyn tehtävän suorittamiseen. Määritetyllä tehtävällä tarkoitetaan tilannetta, jossa sisääntulojen ja ulostulojen suhde on jontekin ennalta määritetty. Mikrokontrollereita käytetään paljon yksinkertaisissa laitteissa, kuten tietokoneen hiirissä ja näppäimistöissä, pesukoneissa, mikroaaltouuneissa, kauko-ohjaimissa ja muissa sulautetuissa järjestelmissä. [16]

Mikroprosessorit käyttävät yleensä paljon korkeampia kellotaajuuksia kuin mikrokontrollerit. Nykyisten mikroprosessorien kellotaajuudet ovat korkeimmillaan muutamia gigahertsejä, kun mikrokontrollerien kellotaajuudet rajoittuvat muutamiin satoihin megahertseihin. [16]

Rakennettavan metronomin laskentayksikkönä päädyttiin käyttämään Microchipin valmistamaa AVR tuoteperheen AVR ATmega328p mikrokontrolleria. Metronomi on riittävän yksinkertainen laite, ja siksi ei ole tarpeen käyttää kalliimpia mikroprosessoreita. Koska ulkoisia komponentteja tarvitaan vähemmän kuin mikroprosessoreissa, saadaan laitteesta fyysisesti pienempi.

ATmega328p valittiin käytettäväksi mikrokontrolleriksi, sillä sen ominaisuudet riittivät metronomin tarpeisiin. Tärkeimpinä valintakriteereinä pidettiin I/O-pinnien lukumäärää, muistien kokoa, digitaalisten kommunikaatiolohkojen sopivuutta näytön ohjaamiseen, saatavuutta ja hintaa. Yhteä hyvänä puolena ATmega328p -mikrokontrollerilla pidettiin myös sen yhteensopivuutta Arduino-ohjelmointiympäristön kanssa.

4.2 Akku

Koska metronomin on tarkoitus olla käytännöllinen ja kannettava, tarvitsee se myös langattoman virtalähteen. Laitteen virrankulutus on melko suurta, joten paristoja kuluisi merkittävä määrä metronomin käyttöajan aikana. Siksi laite sisältää uudelleenladattavan akun.

Akut tekevät laitteista osaltaan ympäristöystävällisempiä kuin paristot, sillä akullisissa laitteissa ei akkuja tarvitse fyysisesti vaihtaa kovinkaan useasti, vaan niistä purettu varaus voidaan palauttaa niihin johtamalla virtaa päinvastaiseen suuntaan akun purkuun nähden. Akkuteknologioita on monia erilaisia, muun muassa lyijyakku, nikkeli-rauta, nikkeli-cadmium, nikkeli-vety, litium-koboltti-oksidi, litium-ioni, litium-ioni-polymeeri, litium-ioni fosfaatti, litium rikki jne. Jokaisella tekniikalla on omat ominaisuutensa muun muassa jännitteen, energiatihedden, itsepurkautuvuuden ja elinajan suhteen. [17]

Metronomin akuksi valittiin melko yleinen litium-ioni –akku, muodoltaan ”18650”, joka on sylinterin muotoinen ja mitoiltaan nimensä mukaisesti sen halkaisija on 18 mm ja pituus 65 mm. Akun valintaan vaikuttivat muun muassa sen kilpailukykyinen hinta ja helppo saatavuus. Valittu akku on Panasonicin valmistama, mallinimeltään NCR18650GA ja kapasiteetiltaan 3 300 mAh. Käytettävä akku ei itsessään sisällä lataus- tai suojapiiriä, joten ne pitää toteuttaa itse laitteessa. [18]

Specifications			Dimensions		
Rated capacity ⁽¹⁾		3300mAh			
Capacity ⁽²⁾	Minimum	3350mAh			
	Typical	3450mAh			
Nominal voltage		3.6V			
Charging	Method	CC-CV			
	Voltage	4.20V			
	Current	Std. 1475mA			
	Time	Std. 270 min.			
Weight (max.)		48.0g			
Temperature	Charge	10 to +45° C			
	Discharge	-20 to +60° C			
	Storage	-20 to +50° C			
Energy density ⁽³⁾	Volumetric	693 Wh/l	With tube	H	Max. 65.30mm
	Gravimetric	224 Wh/kg		D	Max. 18.50mm
				d	Max. 9.0mm

⁽¹⁾ At 20° C ⁽²⁾ At 25° C

⁽³⁾ Energy density is calculated using bare cell dimensions (without tube).

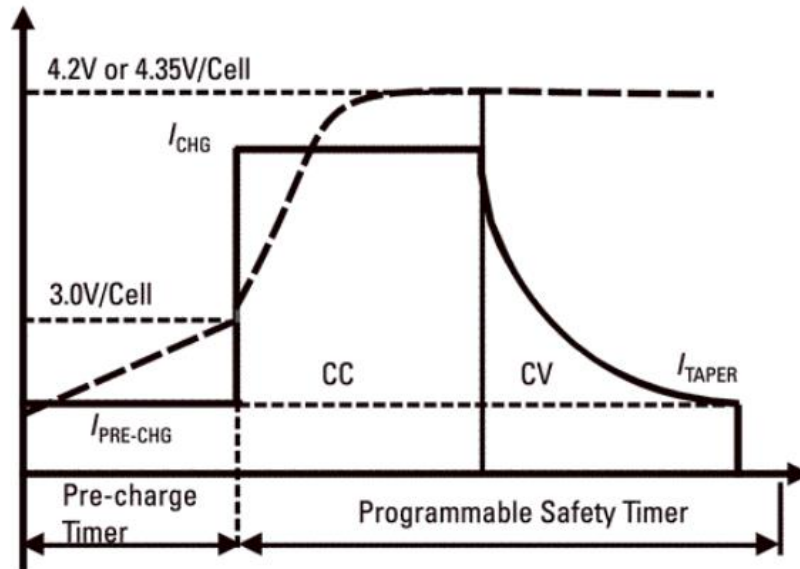
Kuva 10: Panasonicin valmistaman NCR18650GA-akun tekniset tiedot [18]

Kuvasta 10 nähdään tärkeimmät akun käyttöön liittyvät tiedot, muun muassa kapasiteetti, lataustapa, latausjännite ja -virta sekä käyttölämpötilat. Näitä tietoja voidaan pitää lähtökohdana valittaessa akulle sopivia latauksenhallinta- ja suojapiirejä.

4.2.1 Lataus

Laitesuunnittelussa yleistynyt trendi on, että porttien määrää pyritään vähentämään ja sitä kautta universaaleiden yleiskäyttöisten porttien, kuten USB-porttien, käyttö on lisääntynyt kuluttajalaitteissa [19]. Tämän takia myös rakennettavaan metronomiin lisätään vain yksi portti, MicroUSB, jonka kautta tapahtuu mahdollinen dataliikenne, ohjelmointi sekä lataus. Analoginen kaiutinulostulo päätettiin pitää omana liittimenään, joka mahdollistaa latauksen ja analogisen äänen ulosoton yhtä aikaa ilman erillisiä adapteereita.

Hyvin yleinen litium-ioni-akun lataustapa on CC-CV-lataus (*engl. Constant Current, Vakiovirta, Constant Voltage, Vakiojännite*) [20]. Tästä syystä myös metronomin lataustekniikaksi valitaan kyseinen tekniikka. Kuvassa 11 on esitetty tyypillinen CC-CV –tekniikan mukainen latauskäyrä.



Kuva 11: Esimerkki litium-ioni –akun latauskäyrästä CC-CV-tekniikalla [20, s. 50]

Kuvan 11 pystyakselilla on esitetty akkukennon jännite sekä latausvirta ja vaaka-akselilla aika. Lataus voi alkaa mistä tahansa kohtaa käyrää, sillä akkua ei aina pureta loppuun tai ladata täyteen. Akun lataussyklin eteneminen esimerkkikuvassa 11 selitetään pääpiirteissään alla.

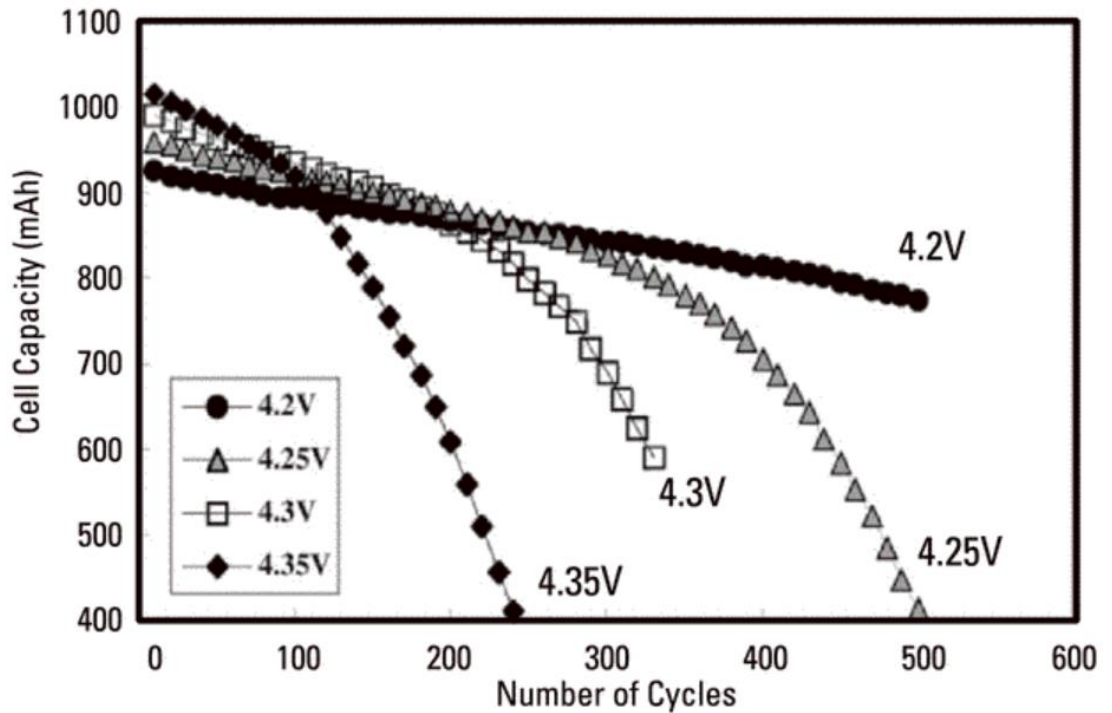
Mikäli akun jännite on päässyt purkautumaan alle tietyn pisteen, esimerkiksi 3 V, ladataan akkua hitaasti pienellä vakiovirralla, jotta tyhjää akkua ei rasitettaisi liikaa. Lataus nostaa akun jännitettä. Kun akun jännite on saatu nostettua riittävälle tasolle, nostetaan latausvirta ennalta määrätylle tasolle. Seuraavaksi siirrytään vaiheeseen CC, vakiovirta. Latausvirran pysyessä vakiona akkukennon jännite kasvaa latauksen edetessä. Kun akkukennon jännite on saavuttanut tietyn kennolle tyypillisen jännitteen, ei akkua enää ladata vakiovirralla vaan siirrytään lataamaan akkua vakiojännitteellä ja siirrytään vaiheeseen CV. Vakiojännitteellä ladattaessa melkein täyttä akkua latausvirta pienenee latauk-

sen lähentyessä loppuaan. Kun latausvirta on tippunut ennalta määritellyn arvoon, esimerkiksi kymmenesosaan vakiovirtalatausvirrasta, voidaan akun olettaa olevan täynnä ja lataus voidaan lopettaa. [20, s. 50-51]

4.2.2 Latauksen mitoitus

Mitoitettaessa akun latausta tulee tehdä kompromisseja akun eliniän ja latausnopeuden välillä. Jos halutaan akku, jonka elinikä lataussykleinä olisi mahdollisimman pitkä, pitäisi latausvirta mitoittaa riittävän pieneksi ja latausjännite oikeaksi valitulle akkukenotyypille. Jos taas halutaan nopeaa latausta, latausvirtaa pitää kasvattaa ja silloin akun eliniästä täytyy usein tinkiä. Akun eliniällä tässä yhteydessä viitataan lataussykliin määrään suhteessa akun kapasiteettiin. Mitä useampia lataussyklejä akku on kestänyt, sen vähemmän akku ottaa varausta ja sen kapasiteetti laskee. [20, s. 51-52]

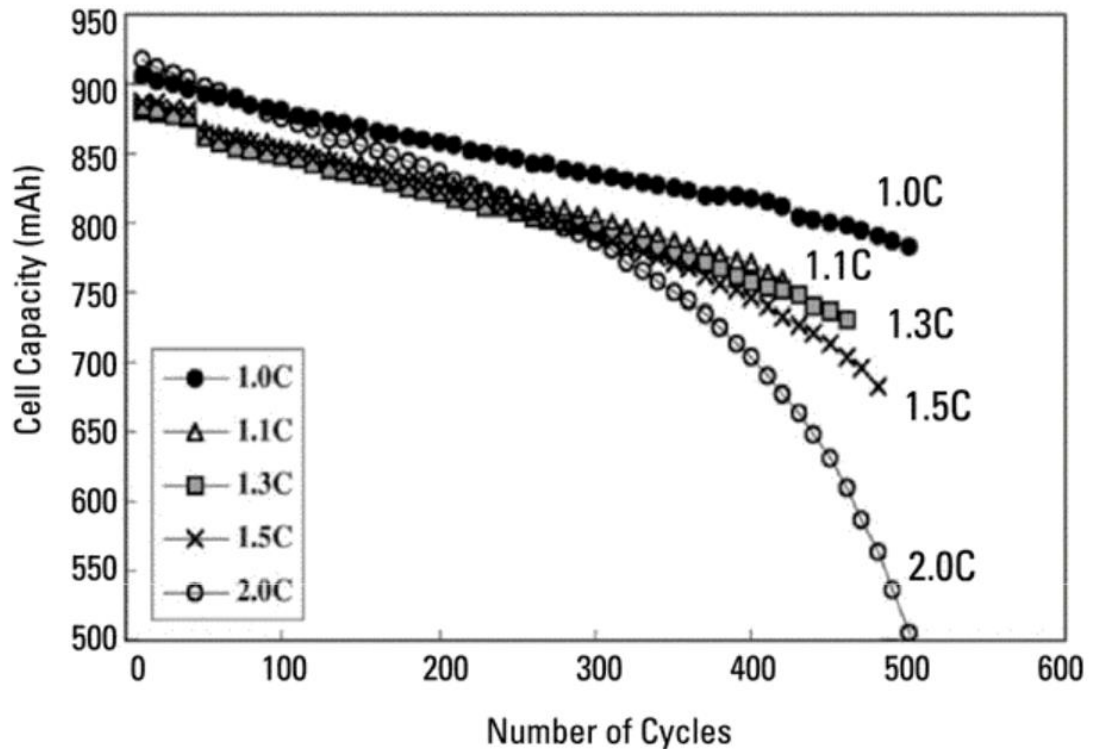
Yleensä mitä suurempi on akun kennojännite, myös kapasiteetti on suurempi. Kuitenkin suurempi latausjännite laskee akun elinikää. Akun katodimateriaali reagoi nopeammin elektrolyytin kanssa akun jännitteen noustessa. Nopean reagoinnin seurauksena akun kemikaalit reagoivat pidemmälle ja niiden kyky palautua estyy. Näin ollen energiaa varastoitavien kemiallisten sidosten määrä vähenee ja kapasiteetti laskee. Akun latausjännitteen vaikutus akun kapasiteettiin on nähtävissä kuvassa 12. [20, s. 52]



Kuva 12: Akun latausjännitteen ja lataus syklien määrän suhde akun kapasiteettiin Li-ioni akulle LiCoO_2 katodilla [20, s. 52]

Akun latausjännitteen tarkkuus on hyvin tärkeää akun eliniän kannalta. Kuvasta 12 nähdään, että latausjännitteen kasvattaminen 4,25 V:stä 4,35 V:iin puolittaa akun eliniän. Kuitenkaan kapasiteettia ei alussa saada lisättyä kuin noin 10%. Latausjännitteen laskeminen 4,2 V:iin vähentää kapasiteettia vain vähän verrattuna hyötyyn, joka saadaan, kun akun elinikä pitenee merkittävästi. [20, s. 52]

Myös akun latausvirralla on suuri merkitys akun elinikään. Niin kuin latausjännitteen nosto, myös latausvirran nosto aiheuttaa akussa nopeammat kemialliset reaktiot. Nopeiden reaktioiden myötä anodista muodostuu metallista litiumia, joka ei enää reagoi akulle tyypillisellä tavalla vapauttaen sähköenergiaa käyttäjälle. Latausvirran vaikutus akun kapasiteettiin on havainnollistettu kuvassa 13. [20, s. 52-53]



Kuva 13: Akun latausvirran ja lataussyklien määrän suhde akun kapasiteettiin Li-ioni akulle LiCoO₂ katodilla [20, s. 53]

Kuvasta 13 nähdään, että latausvirran vaikutus akun elinikään ei ole niin merkittävä uudella akulla kuin latausjännitteen vaikutus akun kapasiteettiin. Kapasiteetti pysyy noin 10% sisällä riippumatta latausvirrasta ensimmäisten 250 lataussyklin aikana. Tämän jälkeen suuremmilla virroilla on havaittavissa merkittävää ja nopeaa kapasiteetin laskua.

Latausvirran yleensä suositellaan olevan 0,5C ja 1,0C välissä [20, s. 53]. C tässä asiayhteydessä tarkoittaa akun nimelliskapasiteettia, joka meidän metronomiimme valitsemallamme akulla on 3 300 mAh [18]. 1,0C latausvirta tarkoittaisi akullamme 3,3 A virtaa.

Huomionarvoista on, että edellä mainitut tapaukset kuvissa 12 ja 13 ovat yksittäistapauksia ja pätevät vain tietyille kennotyypille tietyissä olosuhteissa. Kuitenkin tulokset ovat sovellettavissa muillekin litium-akku -tyypeille ja eri olosuhteille.

Metronomin latauksenhallinta toteutetaan valmiilla latauksenhallintapiirillä. Piiri on Nanjing Top Power ASIC Corporationin valmistama TP4056. Piiri on tarkoitettu CC-CV –lataukseen yhden akkukennon sovelluksissa. Kyseinen piiri valittiin, sillä sen CV –latausjännite on sama kuin valitun akun datalehdellä mainittu latausjännite, 4,20 V. Myös piirin

maahan, kun akku on täyteen ladattu. Muissa tilanteissa pinnit ovat korkeaimpedanssissa tilassa. Käyttäen hyväksi vastusten jännitteenjakokytkentää, vastuksilla R19 ja R20 voidaan mikrokontrollerille välittää tieto, onko akku latauksessa vai täyteen ladattu.

4.2.3 Suojaus

Koska laitteeseen valitussa akussa ei itsessään ole minkäänlaista suojapiiriä, pitää se toteuttaa akun ulkopuolella erillisenä lohkona. Markkinoilta on saatavilla useilta eri valmistajilta valmiita suojapiirejä. Muun muassa suurilta IC (*engl. Integrated Circuits, mikropiiri*) -valmistajilta, kuten Texas Instruments, Maxim, LTC, ON Semiconductor, Seiko, Renesas ja Fairchild, on saatavilla useita eri suojapiirejä eri akkutyypeille. [20]

Akun suojaus toteutetaan Fortune semiconductorin valmistamalla DW01-P-piirillä. Piiri suojaa akkua yllilataukselta, ylipurkamiselta sekä liikavirralla [22]. Piiriin päädyttiin, sillä sen sähköiset ominaisuudet ovat sopivat käyttökohteeseemme. Suojapiiri ei myöskään tarvitse paljoa ulkopuolisia komponentteja, joten sen viemä pinta-ala piirilevyllä on pieni.

4.2.4 Turvallisuus

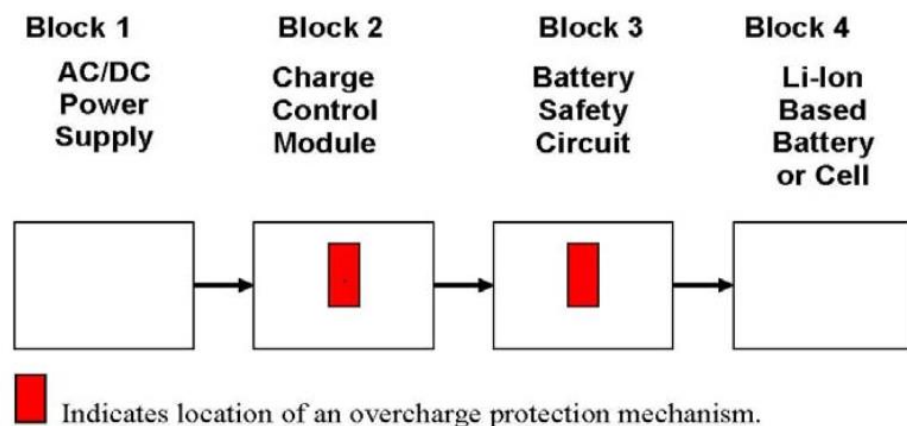
Nykyään käytettävien suuritehoisten akkujen, muun muassa litium-ioni akkujen, suojaaminen on erityisen tärkeää niiden sisältämän suuren energiamäärän ja herkästi reagoivien kemikaalien takia [23]. Sähköinen suojaus yllilataukselle ja muille sähköisille häiriöille on tärkeää, mutta myös fyysinen suojaus on otettava huomioon, sillä iskut akkuun saattavat aiheuttaa suuriakin vahinkoja.

Barsukov ja Qian vertailevat 18650 litium-ioni akun ja TNT (*engl. Trinitrotoluene, yleinen räjähdysaine*) -räjähteen energiasisältöjä kirjassaan "Battery Power Management for Portable Devices" [20]. TNT vapauttaa energiaa noin 4,1 kJ/g ja litium-ioni akku noin 0,25 Wh/g, mikä vastaa noin 0,93 kJ/g. Tämä on noin neljäsosa TNT:n energiasta. Akku sisältää myös elektrolyytin sekä eristepolymeerejä, jotka voivat palaa ja reagoida onnettomuuden sattuessa. Tyypillisesti 18650-akussa on noin 10 g elektrolyyttiä ja 1,6 g poly-

meerieristeitä. Nämä tuottavat energiaa noin 280 kJ. 40 g painoiselle kennolle tämä tuottaa energiatiheydeksi noin $280/40 = 7$ kJ/g. Kun tähän lisätään vielä sähköenergia, kennon energiatiheys, joka onnettomuudessa voi vapautua, on noin 8 kJ/g. Tämä on noin kaksinkertainen verrattuna TNT:hen. Esimerkkinä tarvitaan noin 5 kappaletta 18650-akkuja, jotta saadaan yhden käsikranaatin (U.S. M67, 180 g räjähdettä) verran räjähdysenergiaa. Tyypillisessä kannettavassa tietokoneessa on 3-6 kappaletta 18650 akkukennoja, joten sen räjähdysenergia voi olla suurempi kuin käsikranaatin. [20]

IEEE:n (*Institute of Electrical and Electronics Engineers*) standardit määrittelevät osittain, miten akun sisältävä laite tulee suunnitella [24]. Vaikkakaan tässä työssä ei ole tarkoitus suunnitella kaupallista tuotetta ja siksi valmistusmääräykset eivät ole tiukkoja, on silti hyvä ottaa huomioon joitain suunnittelusääntöjä ja standardeja, ainakin mikäli ne liittyvät laitteen ja käyttäjän turvallisuuteen.

Ylilataus voi aiheuttaa suurta vahinkoa laitteelle ja käyttäjälle. Tästä syystä olisi hyvä olla vähintään kaksinkertainen suoja ylilatausta vastaan. Mikäli toinen suojista vaurioituisi, toinen silti estäisi ylilatausta tapahtumasta. Alla kuvassa 15 on esitetty havainnekuva yhden virheen kestävästä ylilataussuojasta.



Kuva 15: Yhden virheen kestävä ylilataussuoja [24, s. 64]

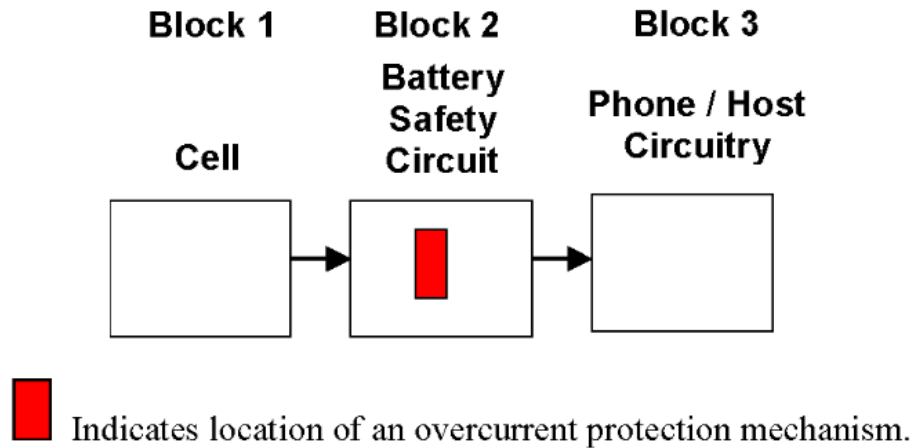
Mikäli virheitä tapahtuu molemmissa suojapiireissä, onnettomuus saattaa tapahtua. Näin voi käydä muun muassa suurien jännitepiikkien tai muun häiriön takia. Kuitenkaan laitesuunnittelussa ei voida ikinä ottaa kaikkea huomioon ja siksi laitteeseemme toteutetaan

kaksinkertainen yllilataussuoja. Latauspiiri TP4056 suojaa akkua yllilataukselta 4,2 V asti ja suojapiiri DW01-P katkaisee akun virran, mikäli akun jännite nousee yli 4,25 V.

Yllilatauksen seurauksena akun litium muuttuu metalliseksi litiumiksi ja saattaa riittävässä määrin aiheuttaa sisäisen oikosulun ja aiheuttaa lämpökarkaamisen (*engl. thermal runaway*). Metallinen litium voi myös reagoida elektrolyytin kanssa aiheuttaen lämpöä vapauttavan eksotermisen reaktion sekä lämpökarkaamisen. Lämpökarkaamisessa pieni lämpötilan nousu aiheuttaa suuremman lämpötilan nousun, joka nostaa lämpötilaa entisestään. Lopputuloksena on hallitsematon lämpötilan nousu sekä mahdollisesti räjähdys. [25, s. 59]

Alipurku ei ole akulle niin vaarallista kuin yllilataus, mutta silti se pitäisi ottaa laitesuunnittelussa huomioon. Jos alipurkua aiheutuu, silloin akkuun on varastoituneena vähemmän energiaa kuin yllilatauksen aikana, ja akku on siten vaarattomampi vahingoituessaan. Alipurun aikana ei myöskään tapahdu lämpökarkaamista. Kuitenkin alipurku vahingoittaa pysyvästi elektrodeja, muun muassa liuottamalla kuparia. Mikäli syvän alipurun jälkeen akkua ladataan nopeasti uudestaan, saattaa akussa ilmetä samoja vaaratilanteita kuin yllilatauksen kohdalla aiheuttaen lämpökarkaamisen [25, s. 60-61].

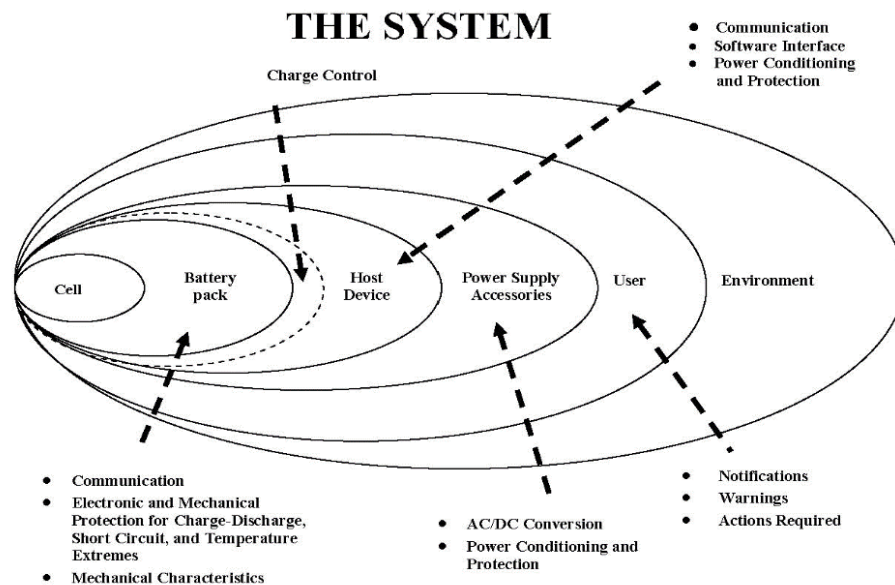
Suojapiiri DW01-P ohjaa kahta N-tyypin MOSFET:ä (*engl. Metal-Oxide-Semiconductor Field-Effect Transistor, Metallioksidi-puolijohdekanavatransistori*) ja ne katkaisevat akun käytön, mikäli akun jännite laskee alle 2,4 V. Seuraavaksi on esitetty IEEE:n havainnekuva akun syväpurkaus ja oikosulkusuojauksesta.



Kuva 16: Ylipurku/oikosulkusuoja [24, s. 65]

Piiri DW01-P suojaa akkua myös oikosululta, joka tapahtuu suojapiirin jälkeen. Mikäli akulta otetaan määritettyä enemmän virtaa, suojapiiri katkaisee virran syötön.

Yhteenvedona voidaan määrittää, että laite tulisi suojata niin, ettei normaalista käytöstä aiheudu vaaraa käyttäjälle, vaikka käytössä tapahtuisikin virheitä, kuten laite jätettäisiin lataukseen pitkäksi aikaa. Laitteen pitää tässä tapauksessa osata katkaista lataus eikä käyttäjän tarvitse huolehtia siitä. Alla on esitetty kuva siitä, miten käyttäjä sijoittuu laitekokonaisuuteen nähden.



Kuva 17: Havainnekuva laitteesta ja sen käyttäjästä [24, s. iv]

Kuvasta 17 nähdään, että käyttäjä toimii omien tarpeidensa ja ympäristön sekä virransyötön välissä. Käyttäjä siis päättää koska haluaa laitettaan ladata. Virransyöttö puolestaan ohjaa laitetta, joka puolestaan ohjaa latauksenhallintapiiriä. Latauksenhallintapiiri lataa kennostoa, jossa on yksittäisiä kennoja. Käyttäjä ei siis suoraan hallitse latausta, vaan latausprosessi on jätetty automaation hoidettavaksi.

4.3 Vahvistin

Aluksi vahvistimena suunniteltiin käytettäväksi AB-luokan vahvistinta, joka olisi toteutettu suoraan valmistettavalle piirilevyille. Kuitenkaan suunnitellulla vahvistimella ei varhaisissa testeissä saavutettu riittävää vahvistusta suhteessa virrankulutukseen ja lämmön tuottoon. Tämän takia tutkittiin D-luokan vahvistimen käytön mahdollisuutta.

D-luokan vahvistin eroaa AB-luokan vahvistimesta siten, että ulostuleva vahvistettu signaali on ohjattu digitaalisesti PWM (*engl. Pulse-Width Modulation, Pulssinleveysmodulaatio*) -signaalilla, kun taas AB-luokan vahvistimen ulostuloa säädetään transistorien läpi kulkevaa virtaa säätämällä. Virran säätäminen aiheuttaa transistoreissa melko suuria tehohäviöitä ja AB-luokan vahvistimet eivät siksi ole optimaalisia kannettaviin laitteisiin. [26]

Pienen tutkimisen jälkeen löydettiin laitteeseen teknisesti sopiva valmis D-luokan vahvistinpiiri, OEP30Wx2. Kyseiselle piirille ei löydy kattavaa datalehteä, vaan tekniset tiedot on otettu Amazon-verkkokaupan tuotekuvauksesta. OEP30Wx2 on kaksikanavainen vahvistin, jonka vahvistukseksi voidaan valita joko 36 dB tai 26 dB [27]. Metronomin vahvistimen vahvistukseksi valittiin 26 dB, sillä sisäänmenona voidaan käyttää 5 V_{P-P} signaalia ja ulostulona voidaan suurimmillaan saada 24 V_{P-P}. Näin sisään menevää signaalia pitää vaimentaa vähemmän ja häiriösietoisuus on siten parempi.

Vahvistinta varten akulta saatava 4,2 V – 2,5 V jännite nostetaan step-up-muuntimella 12 V:iin, josta se reguloidaan lineaariregulaattorilla muulle järjestelmälle sopivaksi 5 V

jännitteeksi. Näin ollen järjestelmän käyttöjännitetasot pysyvät käytön aikana vakiona riippumatta akun varauksesta.

Vahvistin sisältää kaksi erillistä vahvistinyksikköä, jotka on tarkoitettu stereoäänelle, vasemmalle ja oikealle äänikanavalle. Metronomissa on kuitenkin vain monoääni eli yksikanavainen ääni, joten kahta erillistä vahvistinta voidaan käyttää ohjaamaan eri ulostuloja. Toinen vahvistin vahvistaa signaalin metronomin sisäiselle kaiuttimelle ja toinen vahvistin vahvistaa signaalin AUX-ulostuloon kuulokkeille tai ulkoiselle vahvistimelle.

Vahvistimen ulostulotaso mitattiin ja suurimmaksi ulostuloksi saatiin $23 V_{P-P}$. Koska vahvistimen vahvistus on ennalta määritetty 26 dB, pitää sisään tulevan signaalin jännitettä rajoittaa, jotta signaalin leikkautumista ei tapahdu. Signaalin leikkautumisella tarkoitetaan ilmiötä, jossa sisäänmenosignaali on niin suuri, että vahvistin ei kykene vahvistamaan sitä vääristämättä, vaan jättää huippujännitteet ulostulonsa suurimpaan arvoon. Sisääntulosignaali rajoitetaan vastusten jännitteenjakokytkennällä, jossa toisena vastuksena toimii 50 k Ω logaritminen potentiometri. 26 dB vahvistus vastaa noin 20 kertaista vahvistusta, joten suurin sisääntulosignaali voi olla korkeintaan $V_{in_{P-P}} = \frac{23 V_{P-P}}{20} = 1,15 V_{P-P}$. Vastusten jännitteenjakosäännöllä laskemalla rajoitusvastuksen arvoksi saadaan noin 167 k Ω . Vastukseksi valitaan 180 k Ω vastus.

AUX-ulostulon vahvistimen vahvistusta määrittäessä pitää ottaa huomioon, että linjatasoinen äänisignaali on jännitetasoltaan paljon pienempi kuin sisäiselle kaiuttimelle menevä vahvistettu signaali. Useimmat ammattilaitteet on suunniteltu käyttämään sisään- ja ulostuloissaan +4 dBu jännitetasoa [28, s. 1299]. Jännitetaso voltteina voidaan laskea kaavalla

$$dBu = 20 \log \frac{V}{0,7745}, \quad (2)$$

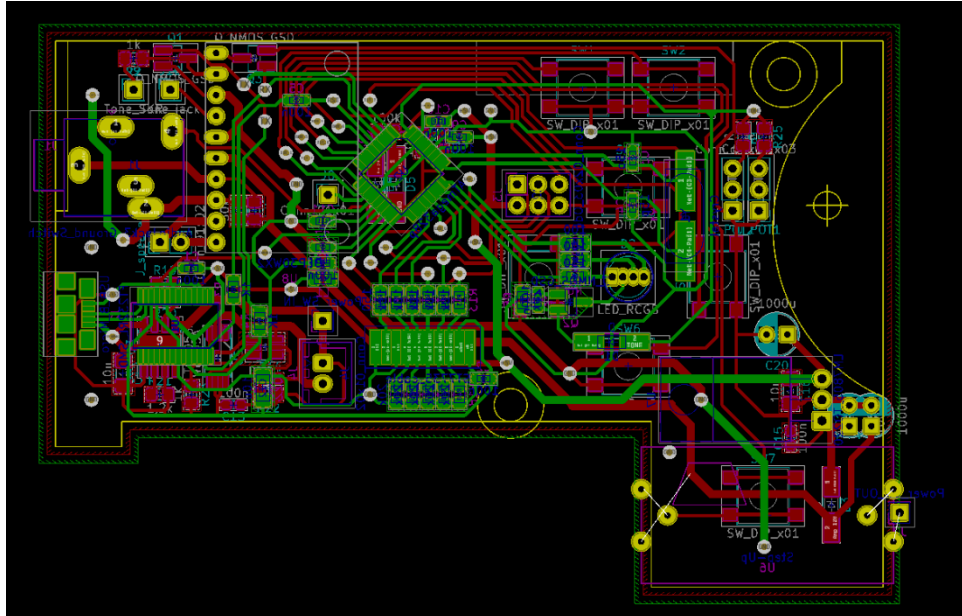
jossa dBu on jännitetaso dBu-arvo, V on jännitetaso voltteina ja 0,7745 on referenssi-jännitetaso [28, s. 1299].

Jännitetasoksi V saadaan $1,227 V_P$. Vahvistimelta ulostuleva signaali tulee tällöin olla $2,45 V_{P-P}$ ja täten vahvistimelle sisään menevän signaalitason suuruus voidaan laskea kuten sisäisen kaiuttimen tapauksessa. Sisäänmenosignaalin suuruudeksi saadaan $0,1227 V_{P-P}$. Vastusten jännitteenjakosäännöllä voidaan myös tässä tapauksessa laskea rajoitusvastuksen suuruus, joksi saadaan $1,98 M\Omega$. Vastukseksi valitaan $2 M\Omega$ vastus.

4.4 Piirilevy ja 3D-tulostettu runko

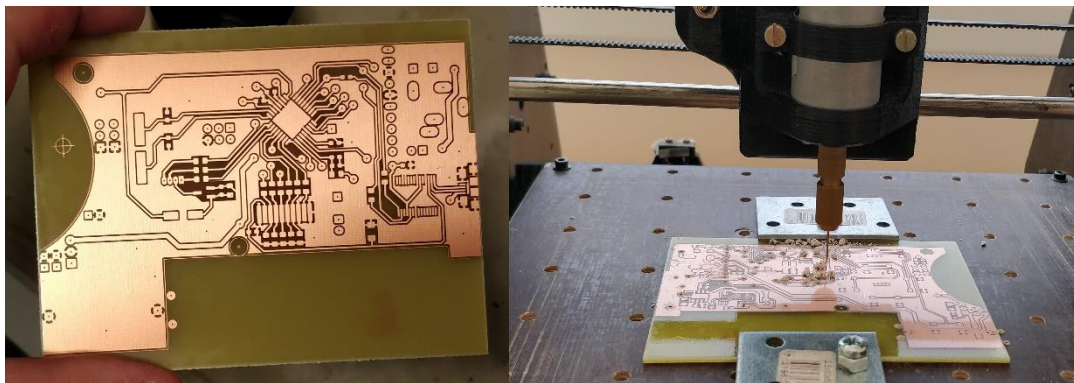
Suunnittelun yhtenä lähtökohtana oli saada kaikki komponentit sijoitettua samalle piirilevyille, jotta laitteen kokoaminen olisi yksinkertaista ja eliminoitaisiin liittimistä mahdollisesti aiheutuvat mahdolliset kontaktihäiriöt. Piirilevyä ja kotelointia suunniteltiin yhtä aikaa, jotta kaikki laitteen komponentit, kuten kaiutin ja akku, saadaan mahtumaan sopivasti piirilevyn kanssa.

Piirilevy suunniteltiin KiCAD-piirilevynsuunnitteluohjelmalla. Suunnittelussa käytettiin kaksipuoleista piirilevyä, sillä alussa arvioitiin kuparivetojen määrä niin suureksi, ettei yksipuoleinen piirilevy riittäisi. Kun piirilevyn ulkomitat oli saatu varmistettua, sijoitettiin ensin paikkakriittiset komponentit, kuten napit, AUX-jakki, microUSB-liitin, RGB-led ja näytön liitinrima. Tämän jälkeen sijoitettiin muut komponentit ja vedettiin kuparivedot komponenttien välille. Valmiin piirilevyn layout on nähtävillä kuvassa 18.



Kuva 18: Valmis piirilevy KiCAD-ohjelmassa ilman kuparitäyttöjä. Punaiset ja vihreät kuparivedot ovat piirilevyn eri puolilla.

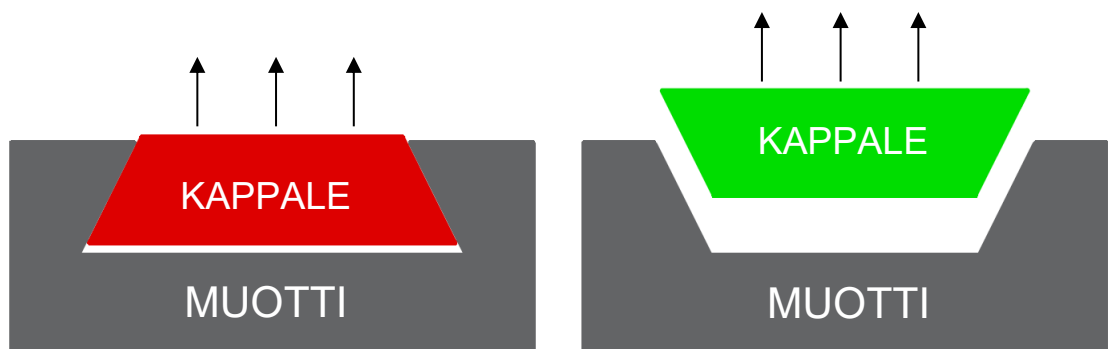
Piirilevyn pyrittiin tekemään mahdollisimman vähän läpivientejä, sillä reiät tuovat aina yhden heikon osan lisää piirilevyn toimintaan ja ovat työläitä porata ja juottaa käsin, mikäli niitä on monta. Piirilevyn reiät porattiin kuitenkin tietokoneohjatusti 3D-tulostimeen tehdyllä porauspäällä, joka on nähtävissä alla.



Kuva 19: Piirilevy syövytyksen jälkeen (vasemmalla) ja reikien porausta (oikealla)

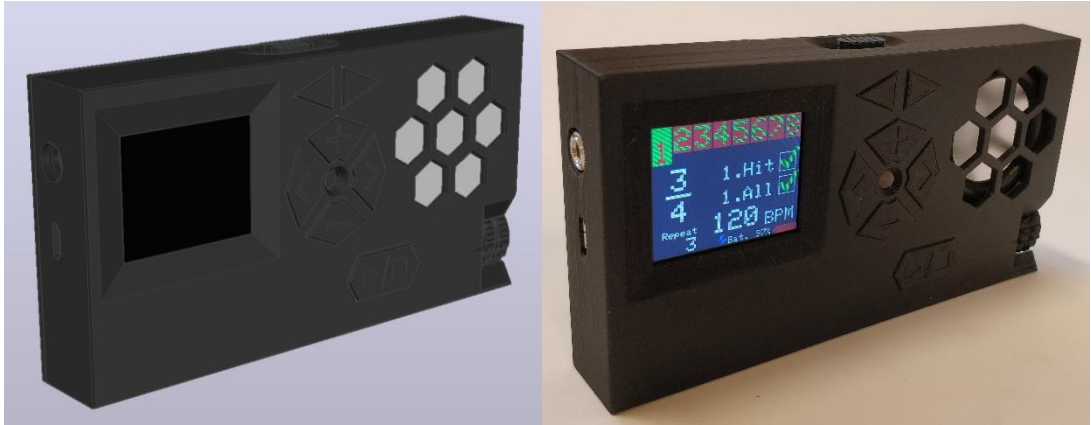
Itse piirilevyn valmistus koostui valotusmaskien tulostamisesta, piirilevyn valottamisesta ja syövyttämisestä, reikien poraamisesta ja levyn äärimittojen leikkaamisesta. Piirilevyn valmistuksen jälkeen komponentit juotettiin paikoilleen ja kaikkien erillisten lohkojen toiminta varmistettiin pienillä ja yksinkertaisilla erillisillä ohjelmakoodeilla.

Metronomin kotelointi on merkittävin osa sitä kokonaisuutta, jonka käyttäjä näkee ja tuntee. Koteloinnin päätehtävä on kuitenkin suojata ja pitää paikoillaan laitteen sisäisiä komponentteja. Koteloa lähdettiin suunnittelemaan AutoCAD-suunnitteluohjelmalla. Kotelosta haluttiin tehdä jämäkkä mutta kuitenkin kevyt, joten 3D-tulostaminen koettiin tässä vaiheessa hyväksi vaihtoehdoksi kotelon fyysiselle toteutukselle. 3D-tulostimen käyttö mahdollistaa myös niin sanottujen negatiivisten muotojen tekemisen, sillä 3D-tulostamisessa ei tarvitse ottaa huomioon sitä, että lähtee kappale pois muotista. Muotoja on havainnollistettu alla.



Kuva 20: Yksinkertaiset havainnekuvat, kun muoto on negatiivinen (vasemmalla) ja positiivinen (oikealla)

Koska 3D tulostamisessa ei käytetä muotteja, voidaan kappaleista tehdä monimutkaisia ilman että pitää huolehtia niiden pois saamisesta muotista. Kappaleen muoto on silloin negatiivinen, kun muotti sulkee sen kokonaan tai osittain sisäänsä ja kappaleen pois saaminen muotista on mahdotonta rikkomatta tai muovaamatta muottia. Perinteisessä valutekniikassa muottien tulee aina olla positiivisia, jotta kappale saadaan ehjänä pois. Mikäli halutaan kuitenkin tehdä negatiivisia muotoja, pitää muotti valmistaa useasta positiivisen muotoisesta muotista, jotka poistetaan eri aikaan. [29]



Kuva 21: Kotelon suunnittelua AutoCAD-ohjelmassa ja valmis 3D tulostettu kotelo

Varsinainen kotelo koostuu vain kahdesta osasta, itse rungosta ja takakannesta. Jotta metronomi ei näyttäisi vain laatikolta, haluttiin siihen tuoda pieniä koristekuvioita. Tästä johtuen takakanteen suunniteltiin etupuolen kaiutinritilää muistuttava kennorakennekuvio, joka on kuvattuna kuvassa 22. Kuviointi parantaa myös laitteeseen tarttumista, joka huomattiin vasta kotelon valmistuksen jälkeen.

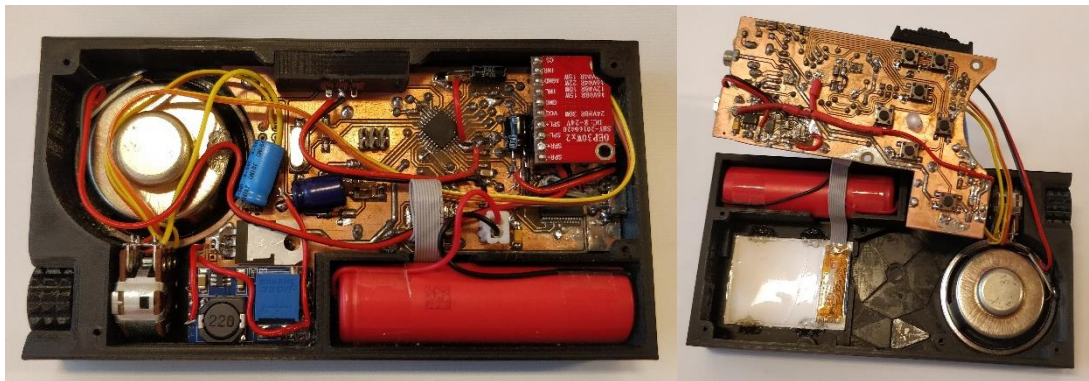


Kuva 22: Metronomin takakannen koristekuvio

Kotelo 3D-tulostettiin Geeetech i3 pro B-tulostimella. Materiaalina käytettiin mustaa PLA (engl. *Polylactic Acid, polyaktidi*) -filamenttia eli muovilankaa, jonka paksuus oli 1,75 mm. Kotelon ensimmäinen versio tulostettiin tiedostaen, että se ei tulisi vielä olemaan lopullinen versio. Testiversio päätettiin tulostaa, sillä siihen olisi helppoa kokeilla kaikkien osien sopivuutta ja tehdä muutoksia esimerkiksi kaivertamalla ja siirtää nämä muutokset sen jälkeen 3D-malliin. Testiversio tulostettiin paljon karkeammilla tulostusasetuksilla kuin mitä lopullinen kotelo. Karkeilla asetuksilla saavutettiin paljon lyhyempi tulostusaika. Testiversion kerrosvahvuus oli 0,3 mm ja suuttimen halkaisija 0,4 mm. Lopullisen version

kerrospaksuus oli 0,1 mm ja suuttimen halkaisija 0,2 mm. Näin saatiin tarkka ja sileä lopputulos lopulliseen versioon.

Metronomiin tulostettiin myös painonapit, joihin suunnitteluvaiheessa tehtiin upottamalla kuviot. Kuviot kertovat käyttäjälle napin tarkoituksen. 3D-tulostaminen mahdollistaa erilaisten nappien tekemisen kotioloissa ja niitä voidaan tulostaa useita erilaisia ja päättää minkälaiset napit sopivat kyseiseen käyttötarkoitukseen.



Kuva 23: Valmiin kootun metronomin sisältö. Piirilevy kuvattuna kummaltakin puolelta.

Kuten kuvasta 23 nähdään, valmiin metronomin sisältö ei ole esteettisesti kovin kaunis ja hyppylankoja löytyy muutamia. Suurin osa johdoista on kuitenkin eri komponenttien välillä kulkevia johtoja, kuten äänenvoimakkuuden säätimelle, kaiuttimelle sekä akulle. Näitä johtoja voisi jatkossa lyhentää ja näin saataisiin hieman häiriönsietoisempi ja kauniimpi lopputulos.

5. TESTAUS

Metronomin rakentamisen ja ohjelmoinnin jälkeen valmis laite testattiin toimivuuden, määrittelyiden täyttämisen, akunkeston ja -latauksen, sekä mahdollisten suunnitteluvirheiden osalta. Joitain virheitä pyrittiin korjaamaan ja jotkin pienet virheet koettiin niin mitättömiksi, että niiden korjaaminen ei toisi laitteelle lisäarvoa siinä määrin mitä niiden korjaaminen kuluttaisi resursseja.

5.1 Huomiot ja tuotteen laatua heikentävät ominaisuudet

Metronomi saatiin toimimaan melko helposti heti komponenttien juottamisen jälkeen. Laite ladattiin ja lataus sujui ongelmitta. Laitteen käytössä ei alussa esiintynyt merkittäviä vikoja. Kuitenkin, kun laitetta oli käytetty jonkin aikaa, sammutti laite itsensä, jos äänenvoimakkuus oli suurella ja kaiuttimesta kuului ääntä. Akku ei vielä tässä vaiheessa ollut tyhjä, mikä todennettiin yleismittarilla mittaamalla akun jännite, joka oli 3,95 V. Vikaa tutkittiin ja syyksi selvisi akun suojapiirin oikosulkusuojan aktivoituminen. Kun kaiutin soi täydellä teholla, kulkee sen läpi teoriassa korkeintaan $I_{speaker} = 12 V / 4 \Omega = 3 A$. Koska akku on nimellisjännitteeltään 3,6 V ja kaiuttimen vahvistimen käyttöjännite 12 V, ottaa step-up-muunnin toiminnastaan johtuen akulta teoriassa $12 V / 3,6 V * 3 A = 10 A$. Tällainen piikkivirta aktivoi oikosulkusuojan ja sen saa vapautettua vasta sammuttamalla laitteen virtakytkimestä.

Vika korjattiin asentamalla suuri kondensaattori lähelle step-up -muuntimen sisääntuloa. Tämä vähensi sammuilua, mutta ei korjannut vikaa täysin. Seuraavaksi asennettiin pieni kondensaattori akun suojapiirin DW01-P virranmittauspinnan ja maatasen välille ja pieni vastus virranmittauspinnan ja virranmittauskohdan välille. Koska virran muutos saa aikaan nopean jännitteenmuutoksen virranmittauspinnillä ja kondensaattori toimii RC-suotimenä yhdessä vastuksen kanssa, eivät lyhyet virtapiikit ehdi laskemaan virranmittauspinnan jännitettä, jolloin oikosulkusuoja ei aktivoidu.

Akun suojaipiireihin kajoaminen ei yleensä ole suotavaa. Kuitenkin laitteemme ottaa vain muutaman millisekunnin virtapiikin suhteellisen harvoin. Rajoittava tekijä virran suuruudessa on akun suojaustransistorilla, joka metronomissamme on Hottech Semiconducto-
rin valmistama kaksikanavainen N-tyypin MOSFET mallia 8205A. Transistorin suurin piikkivirta on datalehden mukaan 20 A, joten sen pitäisi kestää laitteemme piikkivirta tuhoutumatta [30]. RC-suotimen lisäämisen jälkeen metronomi ei enää sammunut käytön aikana. Suojaipiiri toimi kuitenkin vielä oikosulkuja vastaan, mikä kokeiltiin oikosulkemalla käyttöjännite maatasoon.

Toinen laatuun vaikuttava asia on akun varauksen seuranta, joka ei toimi aivan halutulla tavalla. Koska metronomimme seuraa vain akun jännitettä, ei esimerkiksi latauksen CV-vaiheessa saada latauksesta kattavaa tietoa. Myös iskutiheys ja äänenvoimakkuus vaikuttavat akun jännitteeseen, sillä akulla on aina pieni sisäinen resistanssi. Kun virta akulta kasvaa, sen jännite laskee. Akun jäljellä oleva kapasiteetti ei myöskään ole suoraan verrannollinen akun jännitteeseen, joskin akun lepojännite antaa melko hyvän arvon akun jäljellä olevasta kapasiteetista.

Akun varausta pitäisi seurata mittaamalla latausjännitettä ja -virtaa, sekä akun purkausjännitettä ja -virtaa. Kun tiedetään myös, koska akku on ladattu täyteen ja akku on kulunut loppuun, voitaisiin näistä tiedoista laskea tarkempi akun varaus. Näiden tietojen kerääminen mikrokontrollerilla kuluttaisi melko paljon laskenta-aikaa ja metronomin tapaisissa aikakriittisissä järjestelmissä tämä ei ole kovin suotavaa. Atmega328p:n rinnalle voitaisiin liittää jokin pienempi mikrokontrolleri, esimerkiksi Attiny85, joka hoitaisi akun tilan seuraamisen ja välittäisi tiedon päämikrokontrollerille pyydettyäessä. Tällaista akun tilan seurantajärjestelmää ei kuitenkaan lähdetty toteuttamaan, vaan akun tilaa arvioidaan vain jännitteen perusteella.

Kolmas laatuun vaikuttava tekijä on vahvistimen aiheuttama melko suuri kohina AUX-ulostuloon. Tätä kohinaa ei huomaa suurilla äänenvoimakkuuksilla, mutta hiljaa soitetessa kohina on helposti kuultavissa ja saattaa haitata käyttäjää. Sama kohina on kuultavissa myös sisäisestä kaiuttimesta, mutta ei yhtä voimakkaana.

Neljäntenä laatuun vaikuttavana asiana huomattiin näytön himmenemisen aiheuttavan häiriöääniä äänisignaalinlinjaan. Häiriöääni syntyy, kun näyttöä himmennetään mikrokontrollerin PWM-ohjauksella. Häiriötä voitaisiin yrittää pienentää nostamalla PWM-taajuutta kuuloalueen ulkopuolelle. Ongelmaa ei yritetty korjata, sillä PWM-ohjaimen perustaajuuden muuttaminen saattaa vaikuttaa muihinkin taajuusriippuvaisiin asioihin, kuten äänen tuottamiseen käytettyyn ohjelmakoodin "tone()" funktioon.

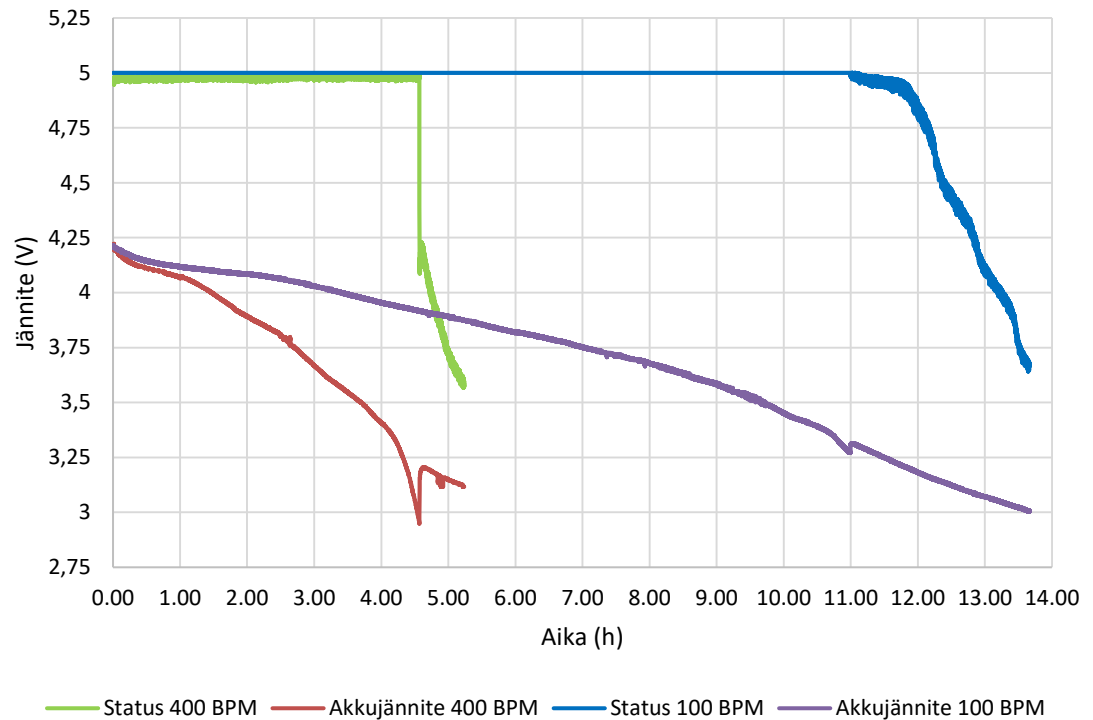
5.2 Lataus ja varauksen purku

Mittalaitteistona käytettiin Arduino MEGA-kehitysalustaa, johon oli liitetty reaaliaikakellopiiri, virranmittauspiiri sekä SD (*engl. Secure Digital*) -muistikortinlukija. Reaaliaikakellona käytettiin DS3231-mikropiiriä, virran mittaamiseen käytettiin ACS712-virranmittauspiiriä. Mitatut tiedot tallennettiin SD-kortille. Jännitteiden suuruudet mitattiin suoraan Arduino MEGA:n omilla analogi-digitaali -muuntimilla.

5.2.1 Purkauskoe

Ennen purkauskoeetta akku ladattiin täyteen. Purkauskokeessa mitattiin akun jännitettä, sekä latauksen tilan ilmoittavan pinnan jännitettä. Pinnan jännitteen tulisi olla 0 V latauksen aikana, 2,5 V täyteen ladattuna, mutta laturiin kytkettynä ja 5 V akun purkamisen aikana. Purkauskoe suoritettiin kaksi kertaa, kumpikin eri asetuksilla. Ensimmäisellä purkauskokeella pyrittiin simuloimaan ääritilannetta, johon metronomi mahdollisesti joutuisi. Äänenvoimakkuus oli säädetty suurimmaksi mahdolliseksi ja iskutaajuudeksi 400 BPM. Toisella purkauskokeella pyrittiin simuloimaan enemmän normaalia käyttöä. Äänenvoi-

makkuus oli tässäkin kokeessa asetettu suurimmaksi mahdolliseksi, mutta iskutaajuudeksi oli asetettu 100 BPM. Jännitteet mitattiin ja kirjattiin 2 sekunnin välein. Purkauksen tuloksista koottiin alla nähtävä kuvaaja.



Kuva 24: Purkauksen tulokset, kun metronomia käytetään suurimmalla äänen-voimakkuudella 400 BPM ja 100 BPM

Purkauksokokeiden aikana akun alijännitteen suojapiiri ei aktivoitunut kertaakaan ennen kuin metronomi lopetti äänen pitämisen. Äänen lopetuskohta on havaittavissa kuvasta 24 siitä kohdasta, josta status-pinnan jännite laskee alle 5 V. Koska status-pinni on purkauksen aikana ylösvedetty mikrokontrollerin käyttöjännitteeseen, voidaan status-pinnan jännitteen arvioida edustavan myös mikrokontrollerin ja koko muun 5 V järjestelmän jännitettä. Metronomin käyttöajan lähestyessä loppua akun jännite laskee niin alhaiseksi, ettei step-up -muunnin pysty antamaan ulos enää 12 V jännitettä vaan ulostulojännite romahtaa, jolloin myöskään 5 V regulaattori ei toimi halutulla tavalla ja alkaa leikkaamaan jännitettä enemmän.

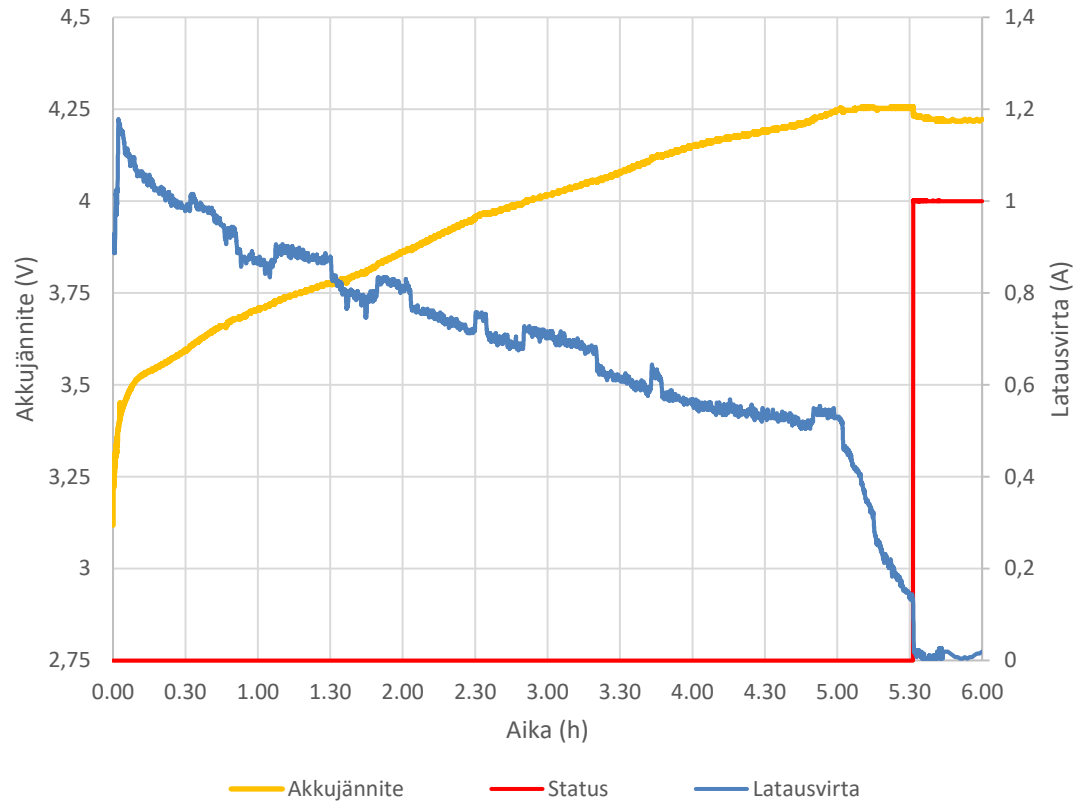
Kuvan 24 kuvaajat 100 ja 400 BPM iskutaajuuksilla eroavat muutoinkin kuin vain ajallisesti. 400 BPM status-kuvaaja laskee rajusti akkujännitteen laskettua alle tietyn pisteen,

kun taas 100 BPM kuvaaja laskee rauhallisemmin. Myös Akun jännite laskee matalammalle 400 BPM kuvaajassa. Arvelen tämän johtuvan akun sisäisistä resistansseista ja akun palautumisnopeudesta. Suurimmalla äänenvoimakkuudella yksi tikitys vie pulssimaisesti virtaa noin 10 A. Kun tällaisia pulsseja on tiheästi, ei akku ehdi palautua ja sen jännite laskee nopeammin, kuin harvoin virtaa otettaessa. Tämä ilmiö on nähtävissä myös 400 BPM kuvaajan akkujännitteessä, jossa tapahtuu suurempi akun palautuminen ja jännitteen nouseminen, kuin 100 BPM kuvaajassa, kun soitto loppuu.

Purkauskokeen tuloksena nähdään, että normaalikäytössä metronomin käyttöaika on noin 11 tuntia ja suurimmassa rasituksessakin noin 4 tuntia 30 minuuttia. Tämän jälkeen äänen tuottaminen ei enää onnistu, mutta kaikki muu toiminnallisuus, kuten asetusten säätö, onnistuu.

5.2.2 Latauskoe

Kun akku oli purettu, suoritettiin latauskoe. Latauskokeessa mitattiin latausvirtaa, akun jännitettä sekä latauksen tilan ilmoittavan pinnin jännitettä. Lataus suoritettiin USB-liittimen kautta verkkovirtamuuntajalla, tutummin puhelimen laturilla, jonka suurin ulostulovirta on tyyppikilven mukaan 2 A ja jännite 5 V. Latauskokeen tulokset on koottu kuvaan 25.



Kuva 25: Latauskokeen tulokset

Latausvirtakuvaajasta on nähtävillä vakiovirta (CC) ja vakiojännite (CV) latausalueet. Kuitenkin vakiovirta-alue ei näyttäisi olevan vakio, jonka arvelen johtuvan latauspiirin TP4056 lämpenemisestä. Vakiovirta-alue on noin 0 – 5 h ja vakiojännitealue on noin 5 h – 5 h 30 min. Vakiojännitealue toimi odotetulla tavalla pitäen akun jännitteen vakiona ja pienentäen latausvirtaa latauksen edetessä. Lataus päättyi noin 5h 30 min latauksen aloittamisesta, joka on nähtävissä latauksen tilan ilmoittavan pinnin jännitteen nousemisena ja latausvirran laskemisena lähelle nollaa. Kuvassa 25 latauksen tilan ilmoittava ”status” pinnin jännitearvo on skaalattu siten, että se mahtuisi jännite- ja virtakuvaajien kanssa samaan kuvaajaan. Oikealta akselilta luettaessa latauksen tilan ilmoittava ”status” pinnin arvo 1 vastaa jännitearvoa 2,5 V ja arvo 0 vastaa arvoa 0 V.

Tyhjän metronomin lataamiseen kuluu noin 5 tuntia 30 minuuttia, joka on nykyään melko pitkä aika verrattuna nykyisen kulutuselektronikan latausaikoihin, joissa on samaa koluokkaa oleva akku. Nykyisten älypuhelimien akkukapasiteetti on 3000 – 4000 mAh ja

latausajat vaihtelevat valmistajasta riippuen puolestaatoista tunnista kahteen tuntiin [31]. Toisaalta, kuten kohdassa 4.2.2 aihetta käsiteltiin, hidas lataus ei kuluta akun elinikää yhtä paljon kuin nopea lataus, joten hitaampi lataus on akun kannalta parempi.

6. OHJELMAKOODI

Metronomin ohjelmakoodi on hyvin laaja kokonaisuus eikä sen toiminnallisuuden käsitteleminen kokonaisuudessaan ole mielekäästä tässä työssä. Tässä luvussa käsitellään vain ohjelmakoodin keskeisimpiä ja tärkeimpiä kohtia, jotka vaikuttavat merkittävästi laitteen toimintaan.

Ohjelmakoodi päätettiin toteuttaa Arduino ohjelmointiympäristössä, sillä Arduinon ohjelmoiminen on melko helppoa ja käyttöön löytyy paljon valmiita kirjastoja. Arduinon ohjelmointikieli perustuu C ja C++ ohjelmointikieliin ja on yhteensopiva näiden kielten kanssa. Itse ohjelman kirjoittaminen suoritettiin Microsoftin Visual Studiolla, johon oli asennettu VisualMicro-lisäosa Arduino yhteensopivuuden saamiseksi.

Jotta metronomin ohjelmoiminen onnistuisi jatkossa pelkän USB-portin kautta, pitää AT-mega328p-mikrokontrolleriin polttaa käynnistyksenlataaja (*engl. bootloader*), joka on lyhyt ohjelmakoodi. Käynnistyksenlataaja mahdollistaa ohjelmakoodin ohjelmoimisen laitteelle ilman ohjelmointilaitetta suoraan FTDI piiriin ja USB:n kautta. [32] Arduinon käynnistyksenlataaja poltettiin metronomiin ArduinoIDE ohjelmalla ja AVRISP mkII-ohjelmointilaitteella. Koska metronomissamme ja Arduino NANO:ssa on sama mikrokontrolleri [33], poltettiin metronomiin Arduino NANO:n käynnistyksenlataaja. Käynnistyksenlataajan kanssa metronomi toimii ohjelmointitilanteessa kuin täysiverinen Arduino NANO.

Metronomin osien toimintaa testattiin Arduinon omien esimerkkien sekä käytettyjen kirjastojen esimerkkien avulla. Kun oli varmistuttu metronomin laitteiston toiminnasta, voitiin kirjoittaa varsinainen metronomin ohjelmakoodi.

Koska metronomin ohjelmakoodi on melko pitkä, ei sen uudelleenkirjoittaminen tähän työhön ole lukijan kannalta mielekäästä. Ohjelmakoodi on kokonaisuutena tämän työn liitteenä (Liite B: Ohjelmakoodi) ja kyseiseen liitteeseen viitataan tässä luvussa useasti.

Funktio "void button(int button_number)" käsittelee yhden napin painamiseen liittyvän toiminnallisuuden, riippuen funktiolle parametrinä annetusta napin numerosta. Button-funktiota pollataan koko ajan, eli sitä kutsutaan jokaisella ohjelman suorituskierröksellä. Näitä suorituskierröksia on useita tuhansia sekunnissa. Jokaisen napin toiminnan periaate on sama. Kun nappi painetaan pohjaan, alkaa mikrokontrolleri laskemaan aikaa. Kun nappi vapautetaan, pysäytetään laskuri ja laskurin lukua verrataan ennalla määrättyihin arvoihin. Laskurin arvosta riippuen saadaan tieto, että oliko nappia näpätetty, pidetty hetki pohjassa vai oliko nappia pidetty pitkään pohjassa. Kaikille kolmelle eri painotyypille voidaan määritellä eri toiminnot, esimerkiksi kun halutaan suurentaa jotain lukua. Yhdellä näpätöksellä luku kasvaa yhdellä, jos nappia pidetään pohjassa, se alkaa kasvamaan ensin viiden numeron välein, jonka jälkeen tietyn ajan päästä luku alkaa kasvaa kymmenen numeron välein.

Funktio "void save_settings()" tallentaa kaikki metronomin asetukset mikrokontrollerin sisäiseen EEPROM-muistiin (*engl. Electronically Erasable Programmable Read-Only Memory, sähköisesti tyhjennettävä ja kirjoitettava haihtumaton lukumuisti*), joka on haihtumaton muistia, eli muisti säilyy, vaikka laitteesta katkaistaisiin virta. Tallentaminen tapahtuu, kun "play/pause" -nappia on pidetty pohjassa yli kolme sekuntia. Koska EEPROM-muistin yhden muistilohkon koko on vain 8-bittiä [34], pitää joitain suuria arvoja käsitellä ja jakaa pienempiin korkeintaan 8-bitin lukuihin. Lukujen jakaminen suoritettiin yksinkertaisesti jakamalla luku esimerkiksi neljään pienempään lukuun, jotka luettaessa summataan yhteen. Esimerkiksi metronomissa tempon suurin arvo on 999 BPM, jolloin se pitää tallettaa neljään eri muistipaikkaan, $255+255+255+234=999$. Tämä tapa on yksinkertainen, mutta kuluttaa paljon muistia. Parempi tapa olisi esimerkiksi 16 bittisen luvun kohdalla tallentaa 8 ensimmäistä bittiä ja 8 jälkimmäistä bittiä omiin muisteihinsa. Näin saadaan jopa luku 65 536 mahtumaan vain kahteen 8-bittiseen muistipaikkaan, kun muistipaikkoja edellä mainitulla tavalla tarvittaisiin 258 kappaletta. Funktiolla "void read_settings()" luetaan tallennetut arvot EEPROM-muistista, ja tallennetaan ne

mikrokontrollerin SRAM-muistiin (*engl. Static Random Access Memory, Staattinen RAM-muisti*) ohjelman suorittamista varten. EEPROM luetaan aina laitteen käynnistyessä, jotta käyttäjän tallentamat asetukset tulisivat voimaan.

Näytön kanssa käytetään useita erilaisia funktioita sekä Adafruitin valmiita ohjelmakirjastoja näytöllä näkyville merkeille ja näytön ohjaamiseen. Annettaessa käsky näytölle määritetään ensin väri ja koordinaatti, jonka jälkeen määritetään haluttu muoto tai merkki. Koko näyttöä ei tarvitse päivittää kerralla, sillä ainoastaan päivittyvät pikselit päivitetään. Tämä nopeuttaa näytön kuvan päivittämistä. näyttöä ei myöskään voida päivittää soiton aikana, sillä näytön päivittäminen kulutta liian paljon mikrokontrollerin laskenta-aikaa ja äänen ajoitus voisi näin mennä väärin.

Varsinainen äänen tuottamiseen kuuluva ohjelmakoodin osa on melko lyhyt. Kun laite käynnistetään tai asetuksia muutetaan, lasketaan iskujen väliset ajat uudestaan ja tallennetaan ne. Soitettaessa metronomia tikitysten väliset ajat tarkistetaan muistista, jolloin niitä ei tarvitse laskea uudestaan ja säästetään laskenta-aikaa.

```

1 // Metronomin toiminnallisuus
2 if (play == true) {
3     if (millis() - last_hit_time >= delay_between_hits_millis[current_playing_tab]) {
4
5         last_hit_time = millis();
6
7         if (hit_num >= tahti_1[current_playing_tab] && repeat_count != 1) {
8             first_beat = false;
9             repeat_count -= 1;
10            hit_num = 0;
11        }
12
13        else if (hit_num >= tahti_1[current_playing_tab] && repeat_count == 1) {
14            current_playing_tab += 1;
15            if (current_playing_tab >= 8) {
16                current_playing_tab = 0;
17                first_beat = true;
18            }
19            repeat_count = repeat[current_playing_tab];
20            hit_num = 0;
21        }
22
23        if (on_off_array[current_playing_tab] == true) {
24
25            if (first_hit_array[current_playing_tab] == true && hit_num == 0 && current_playing_tab
26                == 0 && first_hit == true && first_beat == true) {
27                tone(tone_pin, very_high_note_frequency, note_duration); // very high note
28            }
29            else if (first_hit_array[current_playing_tab] == true && hit_num == 0) {
30                tone(tone_pin, high_note_frequency, note_duration); // high note
31            }
32            else {
33                tone(tone_pin, low_note_frequency, note_duration); // low note
34            }
35        }

```

```

        hit_num += 1;
37     }
    }
39 else {
    // reset
41     unsigned long last_hit_time = 0;
    int current_playing_tab = 0;
43     int hit_num = 0;
    repeat_count = repeat[current_playing_tab];
45     }
}

```

Ohjelma 1: Metronomin toiminnallisuuden ohjelmakoodi

Metronomin äänensoittoa pollataan eli tarkistetaan monta tuhatta kertaa sekunnissa. Kun tarkistetaan, onko aika soittaa tikahdus, verrataan mikrokontrollerin sisäisen kellon ja edellisen tikahduksen aikaa. Mikäli tämä aika on suurempi kuin haluttu tauko, soiteetaan tikahdus. Tikahduksen taajuuden ja keston määrittää juuri kyseiselle tahdille määritetyt parametrit. Ohjelman 1 rivit 7-21 liittyvät tahdin toistokertoihin (repeat), sekä väli-lehtien soittamisen siirtymiseen lopusta alkuun. Varsinaisen äänen tuottamiseen käytetään Arduinin omaa funktioita "tone(pin, frequency, duration)", jonka kutsuminen saa määrätyn pinnin oskilloimaan määrätyllä taajuudella määrätyn aikaa [35]. Riippuen kohdasta, jota ollaan soittamassa, voidaan soittaa joko erittäin korkea tikahdus, korkea tikahdus tai normaali tikahdus.

7. YHTEENVETO

Työssä suunniteltiin, rakennettiin ja testattiin mikrokontrolleriohjattu metronomi. Metro-nomista pyrittiin tekemään hyvä kokonaisuus niin ulkonäöllisesti, käytettävyydeltään kuin myös toiminnaltaan. Hyvin yleinen ongelma suunnittelussa on, että työn edetessä laitteeseen haluaisi lisätä lisää ominaisuuksia, joka pitkittävät ja hankaloittavat suunnittelu-prosessia. Näitä pyrittiin eliminoimaan ideoimalla alussa kaikki tuotteelle haluttavat omi-naisuudet ja pitämällä kiinni suunnitelluista toiminnoista. Kesken projektin tulleita lisäide-
oita pyrittiin välttämään, joskin ne kirjattiin ylös myöhempää tarvetta ja seuraavaa ver-siota varten.

Yksittäisenä asiana ohjelmakoodin kirjoittamiseen kului eniten aikaa. Vaikka mikrokont-rollerin ohjelmoiminen on melko yksinkertaista, on toimivan ja laajan kokonaisuuden ai-kaansaaminen työlästä. Itse rakentamiseen kului melko vähän aikaa. Toisaalta suunnit-teluun sitäkin enemmän aikaa, sillä haluttiin varmistua, ettei tuotteessa olisi valmistuksen jälke-
en suuria virheitä, jotka pitäisi korjata hyppylangoilla tai muilla kyseenalaisilla meto-deilla.

Lopputuloksena saatiin toimiva metronomi, joka on testikäyttäjien testikäytön osalta osoittautunut toimivaksi ja tarpeelliseksi. Käyttöliittymä on myös melko helposti opittava ulkopuoleisen testaajan mielestä. Kuva 26 esittää valmiin metronomin ja myös sen koon suhteessa perinteiseen tulitikkuaskiin.



Kuva 26: Valmis metronomi ja koon määrittämisen avuksi tulitikkuaski

Laitteen toteutuksen tekeminen suunnittelusta testaukseen antoi hyvän kuvan elektronikkalaitteen suunnitteluprosessista. Työn aikana esiintyi myös ongelmia, joita ei osattu odottaa ja jotka olisi voitu ottaa huomioon jo suunnitteluvaiheessa. Työn aikana sain paljon kantapään kautta opittua tietoa ja taitoa elektronikkalaitteen toteutuksesta.

Tulevaisuudessa työn aikana havaittuja ongelmia pyritään vähentämään ja parantelemaan piirilevyä sekä korvaamaan joitain johtoja lattakaapeleilla ja liittimillä. Paranteluiden jälkeen, kun ollaan riittävän tyytyväisiä metronomin rautapuoleen, olisi tarkoitus tilata valmiit piirilevyt ilman komponentteja ulkopuoliselta taholta. Metronomeja tullaan valmistamaan näillä näkymin muutamia ja siksi ammattimaisesti valmistettu piirilevy on helppo ratkaisu.

Myös ohjelmakoodia olisi tarkoitus jatkossa parannella ja lisätä ominaisuuksia. Suurimpana lisäominaisuutena mainittakoon mahdollinen mahdollisuus soittaa polyrytmisiä rytmejä. Tämä kuitenkin vaatii hieman enemmän optimointia koodilta.

Jatkossa saatetaan myös kartoittaa mahdollisuutta lisätä erillinen latauksenseurantapiiri, joka välittäisi akun tilan päämikrokontrollerille, sekä myös erillinen näytön ohjaamiseen erikoistunut piiri, jolla saavutettaisiin reaaliaikaisempaa toimintaa ja näytön päivitystä yhtä aikaa.

LÄHTEET

- [1] M. Kennedy, J. B. Kennedy: The Concise Oxford Dictionary of Music (5. ed.), Oxford University Press, 2007. 839 s. Saatavissa:
<http://www.oxfordreference.com/view/10.1093/acref/9780199203833.001.0001/acref-9780199203833-e-6020>
- [2] Gear4music: Wittner Taktell Piccolo Metronome, Black, [Verkkosivu]. Saatavissa [Viitattu 31. 5. 2019]:
<https://www.gear4music.com/Woodwind-Brass-Strings/Wittner-Taktell-Piccolo-Metronome-Black/22WN>
- [3] RussoMusic: Boss DB-90 Digital Metronome, [Verkkosivu]. Saatavissa [Viitattu 31. 5. 2019]:
<https://www.russomusic.com/products/boss-db-90-digital-metronome>.
- [4] Microchip: ATmega328p datasheet, [Datalehti]. Saatavissa [Viitattu 25. 2. 2019]:
http://ww1.microchip.com/downloads/en/DeviceDoc/Atmel-7810-Automotive-Microcontrollers-ATmega328P_Datasheet.pdf
- [5] Norse-mythology.net: Bragi the God of Poetry, [Verkkosivu]. Saatavissa [Viitattu 31. 5. 2019]:
<https://norse-mythology.net/bragi-the-god-of-poetry-and-music-in-norse-mythology/>
- [6] D. Stone, C. Jarrett, M. Woodroffe ja S. Minocha: User Interface Design and Evaluation, Morgan Kaufmann Publishers Inc, 2005, 1314 s. Saatavissa:
<https://books.google.fi/books?id=VvSoyqPBPbMC&printsec=frontcover&hl=fi#v=onepage&q&f=false>
- [7] S. Lauesen: User Interface Design: A Software Engineering Perspective, Pearson Education UK, 2004, 623 s. Saatavissa:
<https://books.google.fi/books?id=8-LhbEfLSGsC&printsec=frontcover&hl=fi#v=onepage&q&f=false>
- [8] Adafruit: 1,8" Color TFT LCD display, [Verkkosivu]. Saatavissa [Viitattu 25. 2. 2019]:
<https://www.adafruit.com/product/358>.
- [9] J. R. Smith: Programming the PIC Microcontroller with MBasic, NEWNES, 2005. 783 s. Saatavissa:
<http://www.sciencedirect.com/science/article/pii/B9780750679466500018>
- [10] S. F. Barrett: Embedded System Design with the Atmel AVR Microcontroller, Part 2, Morgan & Claypool Publishers, 2010, 176 s.
<https://books.google.fi/books?id=3qSSAwAAQBAJ&printsec=frontcover&hl=fi#v=onepage&q&f=false>
- [11] J. Newman: Physics of the Life Sciences, Springer Science + Business Media LLC, 2008, 718 s.
<https://books.google.fi/books?id=vY5rXC4xIMgC&printsec=frontcover&hl=fi#v=onepage&q&f=false>
- [12] Learn About Electronics: Logarithmic and Linear Controls, [Verkkosivu]. Saatavissa [Viitattu 22. 4. 2019]:
http://www.learnabout-electronics.org/Resistors/resistors_09a.php.

- [13] Soundguys: Was ditching the headphone jack a good idea? [Verkkosivu].
Saataavissa [Viitattu 1. 7. 2019]:
<https://www.soundguys.com/was-ditching-the-headphone-jack-a-good-idea-13825/>.
- [14] usb.org: Universal Serial Bus: Power Delivery Specification. [Tekninen määrittäminen]
Saataavissa [Viitattu 1. 7. 2019]:
<https://www.usb.org/document-library/usb-power-delivery>
- [15] S. K. Venkata Ram: Advanced Microprocessor & Microcontrollers, New Delhi, Firewall Media, 2004. 499 s.
Saataavissa:
<https://books.google.fi/books?id=MUI1ioZrnzcC&printsec=frontcover&hl=fi#v=onepage&q&f=false>
- [16] H. Choudhary: Engineers Garage, [Verkkosivu].
Saataavissa [Viitattu 18. 5. 2019]:
<https://www.engineersgarage.com/tutorials/difference-between-microprocessor-and-microcontroller>.
- [17] E. Ayoub ja N. Karami: Review on the charging techniques of a Li-Ion battery, 2015 Third International Conference on Technological Advances in Electrical, Electronics and Computer Engineering (TAECE), Beirut, 2015 [Konferenssi]
Saataavissa:
<https://ieeexplore.ieee.org/stamp/stamp.jsp?tp=&arnumber=7113599>
- [18] Panasonic: NCR18650GA-battery datasheet, [Datalehti].
Saataavissa [Viitattu 2. 3. 2019]:
<https://www.orbtronic.com/content/Datasheet-specs-Sanyo-Panasonic-NCR18650GA-3500mah.pdf>.
- [19] A. Cunningham: A brief history of USB, what it replaced, and what has failed to replace it, [Verkkosivu].
Saataavissa [Viitattu 23. 6. 2019]:
<https://arstechnica.com/gadgets/2014/08/a-brief-history-of-usb-what-it-replaced-and-what-has-failed-to-replace-it/>.
- [20] Y. Barsukov ja J. Qian: Battery Power Management for Portable Devices, London: Artech House, 2013. 241 s. Saataavissa:
https://app.knovel.com/web/toc.v/cid:kpBPMPD002/viewerType:toc//root_slug:battery-power-management/url_slug:li-ion-li-polymer-charge?=undefined&issue_id=kt011LSS62
- [21] Micros: TP4056A datasheet, [Datalehti].
Saataavissa [Viitattu 2. 3. 2019]:
http://www.image.micros.com.pl/_dane_techniczne_auto/uitp4056.pdf
- [22] Sparkfun: DW01-P datasheet, [Datalehti].
Saataavissa [Viitattu 2. 3. 2019]:
https://cdn.sparkfun.com/assets/learn_tutorials/2/5/1/DW01-P_DataSheet_V10.pdf
- [23] A. Kwade ja J. Diekmann: Recycling of Lithium-Ion Batteries: The LithoRec Way, Springer, 2018, 312 s. Saataavissa:
<https://books.google.fi/books?id=7dpCDwAAQBAJ&printsec=frontcover&hl=fi#v=onepage&q&f=false>

- [24] IEEE: IEEE 1725-2011 Standard for Rechargeable Batteries for Cellular Telephones, 2011. [Standardi].
Saataavissa [Viitattu 31. 3. 2019]:
<https://ieeexplore.ieee.org/stamp/stamp.jsp?tp=&arnumber=5930304>
- [25] C. Mikolajczak, M. Kahn, K. White ja R. T. Long: Lithium-Ion Batteries Hazard and Use Assessment, Springer-Verlag, 2011, 115 s. Saataavissa:
<https://books.google.fi/books?id=V4IVCvgv558C&printsec=frontcover&hl=fi#v=onepage&q&f=false>
- [26] D. Self: Audio Power Amplifier Design Handbook, (5. ed.) Lontoo: Focal Press, 2013. 624 s. Saataavissa:
https://books.google.fi/books?id=TLt0DO6LAokC&printsec=frontcover&hl=fi&source=gbs_ge_summary_r&cad=0#v=onepage&q&f=false
- [27] Amazon-verkkokauppa: AIMELIAE OEP30Wx2 Module DC 12V-24V OEP 30W x2 36dB Class D Digital Power Amplifier Board, [Verkkosivu].
Saataavissa [Viitattu 19. 5. 2019]:
<https://www.amazon.com/AIMELIAE-OEP30Wx2-12V-24V-Digital-Amplifier/dp/B074TC9N8B>
- [28] G. M. Ballou: Handbook for sound engineers, (4. ed.) Oxford: Focal Press, 2008. 1778 s. Saataavissa:
<https://nikospapachristou.files.wordpress.com/2013/02/handbook-for-sound-engineers.pdf>
- [29] F. Glast: Mold Construction Guide, [Verkkosivu].
Saataavissa [Viitattu 23. 6. 2019]:
https://www.fibreglast.com/product/mold-construction/Learning_Center.
- [30] Hottech Semiconductor: 8205A datasheet, [Datalehti].
Saataavissa [Viitattu 2. 3. 2019]:
<https://www.maritex.com.pl/product/attachment/91261/8205A.pdf>.
- [31] PhoneArena.com: Samsung vs Apple, Huawei and OnePlus: whose phones charge the fastest?, [Verkkosivu].
Saataavissa [Viitattu 30. 5. 2019]:
https://www.phonearena.com/news/Fastest-charging-phones-mAh-battery-minute-Samsung-Apple-LG-Huawei_id107862
- [32] Arduino: Bootloader Development, [Verkkosivu].
Saataavissa [Viitattu 31. 5. 2019]:
<https://www.arduino.cc/en/Hacking/Bootloader?from=Tutorial.Bootloader>
- [33] Arduino: Arduino Nano, [Verkkosivu].
Saataavissa [Viitattu 31. 5. 2019]:
<https://store.arduino.cc/arduino-nano>
- [34] Arduino: EEPROM_Write, [Verkkosivu].
Saataavissa [Viitattu 31. 5. 2019]:
<https://www.arduino.cc/en/Reference/EEPROMWrite>
- [35] Arduino: tone(), [Verkkosivu].
Saataavissa [Viitattu 31. 5. 2019]:
<https://www.arduino.cc/reference/en/language/functions/advanced-io/tone/>

LIITE B: OHJELMAKOODI

Tässä liitteessä on esitetty kaksi ohjelmakooditiedostoa. Ensimmäisessä tiedostossa on varsinainen ohjelmakoodi ja metronomin toiminnallisuus (metronomi_v5.ino). Toisessa tiedostossa on kolme erilaista kuvaa heksaluvuilla piirrettynä (images.h). Kuvat ovat aloitusnäytön BRAGI-metronome-teksti, ensimmäiset iskut ilmoittavan ruudun check-merkki, sekä latauksen tilan ilmoittava salama-kuvake

```
1 // BRAGI
2 // Tekijä: Lassi Parkkila
3 // Kandidaatintyö, Metronomi
4
5 #include <Adafruit_GFX.h> // Core graphics library
6 #include <Adafruit_ST7735.h> // Hardware-specific library
7 #include <SPI.h>
8 #include <EEPROM.h>
9 #include "Images.h"
10
11 // Värit
12 byte wallpaper_color = 8;
13 byte text_color = 7;
14 byte tab_on_color = 3;
15 byte tab_on_number_color = 1;
16 byte tab_off_color = 1;
17 byte tab_off_number_color = 3;
18 byte edit_box_color = 5;
19 byte LED_color = 1;
20
21 int colorpalette[] = { ST7735_RED, ST7735_YELLOW, ST7735_GREEN, ST7735_CYAN, ST7735_BLUE, ST7735_MAGENTA, ST7735_WHITE, ST7735_BLACK };
22 int led_colorpalette[][3] = {
23 { 1,0,0 }, // red
24 { 1,1,0 }, // yellow
25 { 0,1,0 }, // green
26 { 0,1,1 }, // cyan
27 { 0,0,1 }, // blue
28 { 1,0,1 }, // magenta
29 { 1,1,1 }, // white
30 { 0,0,0 } // black
31 };
32
33 // !!!! Valmista koodia n0yt0lle
34 #define TFT_CS 7
35 #define TFT_RST 12
36 #define TFT_DC 8
37 int width = 160;
38 int height = 128;
39
40 #define TFT_SCLK 13 // set these to be whatever pins you like!
41 #define TFT_MOSI 11 // set these to be whatever pins you like!
42 Adafruit_ST7735 tft = Adafruit_ST7735(TFT_CS, TFT_DC, TFT_MOSI, TFT_SCLK, TFT_RST);
43 // !!!! Valmista koodia n0yt0lle loppuu
44
45 int x = 0;
46 int y = 0;
47
48 int tempo[8] = { 240, 240, 240, 300, 360, 420, 480, 540 }; // Tempo
49 byte tahti_1[8] = { 3, 2, 3, 3, 3, 3, 3, 3 }; // Tahtilajin osoittaja
50 byte tahti_2[8] = { 5, 4, 4, 4, 4, 4, 4, 4 }; // Tahtilajin nimitt0j0
51 byte active_tab = 1; // Aktiivinen v0lilehti (n0kyy n0yt0ss0)
52 byte on_off_array[8] = { true, true, false, false, false, false, false, false }; // Soitettavat v0lilehdet
53 byte first_hit_array[8] = { true, true, true, true, true, true, true, true }; // Painotus ensimmäiselle iskulle
54 bool first_hit = true;
55 byte edit_box = 8; // Editoitava kohde
56 int repeat[8] = { 3, 2, 5, 6, 4, 7, 2, 1 }; // repeat
57
58 int repeat_count = 1;
59 bool first_beat = true;
60
61 byte buttonpins[7] = { 14, 15, 18, 2, 19, 17, 16 }; // Painonappien pinnit
62 boolean buttonState[7] = { HIGH, HIGH, HIGH, HIGH, HIGH, HIGH, HIGH };
63 unsigned long lastDebounceTime[7] = { 0, 0, 0, 0, 0, 0, 0 };
64 unsigned long debounceDelay = 50;
65 boolean lastState[7] = { HIGH, HIGH, HIGH, HIGH, HIGH, HIGH, HIGH };
66 int button_timer_counter[7] = { 0, 0, 0, 0, 0, 0, 0 };
67 bool but_enable[7] = {true, true, true, true, true, true, true};
68 byte interrupt_button = 0;
69
70 unsigned long delay_between_hits_millis[8] = { 0, 0, 0, 0, 0, 0, 0, 0 }; // Iskujen v0lit
71
72 unsigned long last_hit_time = 0;
73 int current_playing_tab = 0;
74 int hit_num = 0;
75
76 #define backlight_pin 9
77 int backlight_on_time = 30;
78 #define backlight_fade_time_1 10
79 #define backlight_dim_time 5000
80 #define backlight_fade_time_2 100
81 byte backlight_on_brightness = 255;
82 #define backlight_dim_brightness 10
83 byte current_brightness = 255;
84 unsigned long last_brightness_update = 0;
85 unsigned long last_press = 0;
86
87 #define tone_pin 3
88 int high_note_frequency = 1500;
89 int low_note_frequency = 1000;
90 int very_high_note_frequency = 2000;
91 int note_duration = 10;
```

```
92
93 #define led_pin_red    6
94 #define led_pin_green  5
95 #define led_pin_blue  10
96 byte led_brightness = 10;
97
98 int settings_edit_box = 0;
99
100 int settings_counter = 0;
101 int settings_counter_limit = 150;
102 int reset_counter = 0;
103 int reset_counter_limit = 150;
104
105 #define battery_voltage_pin A7
106 #define charge_status_pin A6
107
108 int battery_voltage_reference[11] = { 512 , 651 , 686 , 704 , 722 , 740 , 758 , 776 , 794 , 809 , 860 }; // 0%, 10% ... 90%, 100%
109 int battery_percent = 0;
110 int last_battery_percent = 255;
111 int raw_battery_voltage = 0;
112 int charge_status = 0;
113 int last_charge_status = 3;
114 unsigned long last_battery_update = 0;
115
116 const int voltage_readings_count = 10;
117 int voltage_readings[voltage_readings_count];
118 int voltage_read_index = 0;
119 int total_sum_voltage = 0;
120
121 bool play = false;
122 int amp_CS_pin = 0;
123 int speaker_mute_pin = 1;
124 int headphone_detect_pin = 4;
125
126 void setup(void) {
127     // Noppo-inten pinMode:t
128     for (int i = 0; i < sizeof buttonpins; i++) {
129         pinMode(buttonpins[i], INPUT_PULLUP);
130     }
131
132     pinMode(amp_CS_pin, OUTPUT);
133     pinMode(speaker_mute_pin, OUTPUT);
134     pinMode(headphone_detect_pin, INPUT);
135     pinMode(tone_pin, OUTPUT);
136     pinMode(led_pin_red, OUTPUT);
137     pinMode(led_pin_green, OUTPUT);
138     pinMode(led_pin_blue, OUTPUT);
139
140     digitalWrite(amp_CS_pin, HIGH); // amp off
141
142     tft.initR(0x3); // initialize a ST7735S chip, black tab
143     tft.invertDisplay(true);
144     tft.setRotation(1);
145
146     tft.fillRect(colorpalette[wallpaper_color - 1]); // Tyhjennä näyttö
147
148     tft.drawBitmap(0, 0, bragi_160_128, 160, 128, ST7735_WHITE); // Piirtää Logon
149     update_brightness(); // Taustavalo päälle
150
151     // Jos nappeja 1 ja 2 pidetty pohjassa --> settings, jos 3,4,5,6 --> reset
152     for (int i = 0; i < 300; i++) {
153         if (digitalRead(buttonpins[0]) == LOW && digitalRead(buttonpins[1]) == LOW) {
154             settings_counter += 1;
155         }
156
157         if (digitalRead(buttonpins[2]) == LOW && digitalRead(buttonpins[3]) == LOW && digitalRead(buttonpins[4]) == LOW && digitalRead
158             (buttonpins[5]) == LOW) {
159             reset_counter += 1;
160         }
161
162         delay(10);
163     }
164
165     // Jos painettu riittävän kauan reset-nappeja, ei lueta EEPROMista asetuksia vaan oletusasetukset, ja tallennetaan ne
166     if (reset_counter < reset_counter_limit) {
167         read_settings();
168     }
169     else {
170         save_settings();
171     }
172
173     tft.fillRect(colorpalette[wallpaper_color - 1]); // Tyhjennä näyttö
174
175     // Jos asetusnappeja painettu riittävän kauan, mennään asetuksiin, muuten "normaali"
176     if (settings_counter >= settings_counter_limit) {
177         tft.setRotation(0);
178
179         print_settings_text();
180
181         height = 160;
182         width = 128;
```

```
182
183     for (int a = 1; a < 16; a++) {
184         settings_edit_box = a;
185         print_settings();
186     }
187 }
188
189 else {
190     // Pirt♦♦ v♦lilehdet
191     for (int i = 0; i < 8; i++) {
192         print_tab(i + 1, on_off_array[i], active_tab);
193     }
194
195     print_screen(); // Piirt♦♦ n♦ytt♦♦n numerot yms.
196     calculate_delays(); // Laskee iskujen v♦lit
197     repeat_count = repeat[0];
198 }
199
200 print_LED(LED_color);
201 print_battery();
202
203 // asettaa akun lht♦jnnitekeskiarvovektorin
204 int battery_voltage = analogRead(battery_voltage_pin);
205 for (int thisReading = 0; thisReading < voltage_readings_count; thisReading++) {
206     voltage_readings[thisReading] = battery_voltage;
207 }
208 total_sum_voltage = voltage_readings_count * battery_voltage;
209 }
210
211 void loop() {
212     detect_headphone_jack();
213
214     update_battery();
215
216     update_brightness(); // pivitt kirkkautta
217
218     if (settings_counter >= settings_counter_limit) {
219
220         for (int i = 0; i < sizeof buttonpins; i++) {
221             button_settings(i);
222         }
223     }
224
225 }
226
227 else {
228
229     // Tarkistaa kaikkien nappien tilan
230     for (int i = 0; i < sizeof buttonpins; i++) {
231         button(i);
232     }
233
234     // Metronomin toiminnallisuus
235     if (play == true) {
236         if (millis() - last_hit_time >= delay_between_hits_millis[current_playing_tab]) {
237             last_hit_time = millis();
238
239             if (hit_num >= tahti_1[current_playing_tab] && repeat_count != 1) {
240                 first_beat = false;
241                 repeat_count -= 1;
242                 hit_num = 0;
243             }
244
245             else if (hit_num >= tahti_1[current_playing_tab] && repeat_count == 1) {
246                 current_playing_tab += 1;
247                 if (current_playing_tab >= 8) {
248                     current_playing_tab = 0;
249                     first_beat = true;
250                 }
251             }
252             repeat_count = repeat[current_playing_tab];
253             hit_num = 0;
254         }
255
256         if (on_off_array[current_playing_tab] == true) { // aktiivinen v♦lilehti
257
258             if (first_hit_array[current_playing_tab] == true && hit_num == 0 && current_playing_tab == 0 && first_hit == true &&
259                 first_beat == true) {
260                 tone(tone_pin, very_high_note_frequency, note_duration); // very high note
261             }
262             else if (first_hit_array[current_playing_tab] == true && hit_num == 0) {
263                 tone(tone_pin, high_note_frequency, note_duration); // high note
264             }
265             else {
266                 tone(tone_pin, low_note_frequency, note_duration); // low note
267             }
268         }
269         hit_num += 1;
270     }
271 }
```

```
272     }
273     else {
274         // reset
275         unsigned long last_hit_time = 0;
276         int current_playing_tab = 0;
277         int hit_num = 0;
278         repeat_count = repeat[current_playing_tab];
279     }
280 }
281 }
282
283 // Laskee iskujen v lit
284 void calculate_delays() {
285     for (int i = 0; i < 8; i++) {
286         if (on_off_array[i] == true) {
287             delay_between_hits_millis[i] = (unsigned long)((1.0 / (((float)tempo[i] / (4.0 / (float)tahti_2[i])) / 60.0)) * 1000.0);
288         }
289         else {
290             delay_between_hits_millis[i] = 0;
291         }
292     }
293 }
294 }
295
296 // Tarkastaa n pp imen ja suorittaa toiminnon
297 void button(int button_number) { //boolean buttonState, int pin, unsigned long lastDebounceTime, boolean lastState, int
button_timer_counter) {
298     buttonState[button_number] = digitalRead(buttonpins[button_number]);
299     if (millis() - lastDebounceTime[button_number] > debounceDelay) {
300         lastDebounceTime[button_number] = millis();
301         if (buttonState[button_number] == LOW && lastState[button_number] == HIGH) { // 1. time after press
302             button_timer_counter[button_number] = 0;
303             lastState[button_number] = LOW;
304             lastDebounceTime[button_number] = millis();
305             last_press = millis();
306             if (current_brightness < backlight_on_brightness) {
307                 but_enable[button_number] = false;
308             }
309         }
310         else if (buttonState[button_number] == LOW && lastState[button_number] == LOW) { // during press
311             button_timer_counter[button_number] += 1;
312             lastState[button_number] = LOW;
313             last_press = millis();
314         }
315         else if (buttonState[button_number] == HIGH && lastState[button_number] == LOW && button_timer_counter[button_number] < 20) { //
normal press
316             lastState[button_number] = HIGH;
317
318             if (but_enable[button_number] == true) {
319
320                 update_editbox_delete();
321                 switch (button_number)
322                 {
323                     {
324                         case 0: // tab +
325                             active_tab += 1;
326                             if (active_tab > 8) {
327                                 active_tab = 1;
328                             }
329                             update_tabs();
330                             update_tahti();
331                             update_BPM();
332                             update_hit();
333                             update_repeat();
334                             break;
335
336                         case 1: // tab -
337                             active_tab -= 1;
338                             if (active_tab < 1) {
339                                 active_tab = 8;
340                             }
341                             update_tabs();
342                             update_tahti();
343                             update_BPM();
344                             update_hit();
345                             update_repeat();
346                             break;
347
348                         case 2: // editbox +
349                             edit_box += 1;
350                             if (edit_box > 8) {
351                                 edit_box = 1;
352                             }
353                             break;
354
355                         case 3: // editbox -
356                             edit_box -= 1;
357                             if (edit_box < 1) {
358                                 edit_box = 8;
359                             }
360                             break;

```

```
361
362     case 4: // button up
363     switch (edit_box)
364     {
365     case 8:
366         // no box
367         break;
368     case 1: // Tab
369         on_off_array[active_tab - 1] = !on_off_array[active_tab - 1];
370         update_tabs();
371         break;
372     case 2: // tahti 1
373         tahti_1[active_tab - 1] += 1;
374         if (tahti_1[active_tab - 1] > 99) {
375             tahti_1[active_tab - 1] = 1;
376         }
377         update_tahti();
378         break;
379     case 3: // tahti 2
380         tahti_2[active_tab - 1] += 1;
381         if (tahti_2[active_tab - 1] > 99) {
382             tahti_2[active_tab - 1] = 1;
383         }
384         update_tahti();
385         break;
386     case 4: // repeat
387         repeat[active_tab - 1] += 1;
388         if (repeat[active_tab - 1] > 999) {
389             repeat[active_tab - 1] = 1;
390         }
391         update_repeat();
392         break;
393     case 5: // tempo
394         tempo[active_tab - 1] += 1;
395         if (tempo[active_tab - 1] > 999) {
396             tempo[active_tab - 1] = 1;
397         }
398         update_BPM();
399         break;
400     case 6: // 1. all
401         first_hit = !first_hit;
402         update_hit();
403         break;
404     case 7: // 1. hit
405         first_hit_array[active_tab - 1] = !first_hit_array[active_tab - 1];
406         update_hit();
407         break;
408     default:
409         break;
410     }
411     break;
412
413 case 5: // button down
414 switch (edit_box)
415 {
416 case 8:
417     // no box
418     break;
419 case 1: // tab
420     on_off_array[active_tab - 1] = !on_off_array[active_tab - 1];
421     update_tabs();
422
423     break;
424 case 2: // tahti 1
425     tahti_1[active_tab - 1] -= 1;
426     if (tahti_1[active_tab - 1] < 1) {
427         tahti_1[active_tab - 1] = 99;
428     }
429     update_tahti();
430     break;
431 case 3: // tahti 2
432     tahti_2[active_tab - 1] -= 1;
433     if (tahti_2[active_tab - 1] < 1) {
434         tahti_2[active_tab - 1] = 99;
435     }
436     update_tahti();
437     break;
438 case 4: // repeat
439     repeat[active_tab - 1] -= 1;
440     if (repeat[active_tab - 1] < 1) {
441         repeat[active_tab - 1] = 999;
442     }
443     update_repeat();
444     break;
445 case 5: // tempo
446     tempo[active_tab - 1] -= 1;
447     if (tempo[active_tab - 1] < 1) {
448         tempo[active_tab - 1] = 999;
449     }
450     update_BPM();
451     break;
```

```
452         case 6: // 1. all
453             first_hit = !first_hit;
454             update_hit();
455             break;
456         case 7: // 1. hit
457             first_hit_array[active_tab - 1] = !first_hit_array[active_tab - 1];
458             update_hit();
459             break;
460         default:
461             break;
462     }
463     break;
464 case 6:
465     play = !play;
466     if (play == true) {
467         reset_play();
468     }
469     soundcard();
470     break;
471 default:
472     break;
473 }
474 update_editbox();
475 calculate_delays(); // Laskee iskujen vöit
476 }
477 }
478 if (button_timer_counter[button_number] > 40 && buttonState[button_number] == LOW) { // very long press
479     switch (button_number)
480     {
481     case 4: // up
482         switch (edit_box)
483         {
484         case 4: // repeat
485             repeat[active_tab - 1] += 5;
486             if (repeat[active_tab - 1] > 999) {
487                 repeat[active_tab - 1] = 1;
488             }
489             update_repeat();
490             break;
491         case 5: // tempo
492             tempo[active_tab - 1] += 5;
493             if (tempo[active_tab - 1] > 999) {
494                 tempo[active_tab - 1] = 1;
495             }
496             update_BPM();
497             break;
498         default:
499             break;
500         }
501         break;
502     case 5: // down
503         switch (edit_box)
504         {
505         case 4: // repeat
506             repeat[active_tab - 1] -= 5;
507             if (repeat[active_tab - 1] < 1) {
508                 repeat[active_tab - 1] = 999;
509             }
510             update_repeat();
511             break;
512         case 5: // tempo
513             tempo[active_tab - 1] -= 5;
514             if (tempo[active_tab - 1] < 1) {
515                 tempo[active_tab - 1] = 999;
516             }
517             update_BPM();
518             break;
519         default:
520             break;
521         }
522         break;
523     case 6: //save settings
524         save_settings();
525         noTone(tone_pin);
526         digitalWrite(amp_CS_pin, LOW); // vahvistin päälle
527         print_LED(1);
528         tone(tone_pin, 2000, 200);
529         delay(200);
530         print_LED(3);
531         tone(tone_pin, 1000, 200);
532         while (digitalRead(buttonpins[6]) == LOW) {}
533         delay(200);
534         print_LED(LED_color);
535         break;
536     default:
537         break;
538     }
539     update_editbox();
540     calculate_delays(); // Laskee iskujen vöit
541 }
542 else if (button_timer_counter[button_number] > 20 && buttonState[button_number] == LOW) { // long press
```



```
543     switch (button_number)
544     {
545     case 4: // up
546         switch (edit_box)
547         {
548         case 4: // repeat
549             repeat[active_tab - 1] += 2;
550             if (repeat[active_tab - 1] > 999) {
551                 repeat[active_tab - 1] = 1;
552             }
553             update_repeat();
554             break;
555         case 5: // tempo
556             tempo[active_tab - 1] += 2;
557             if (tempo[active_tab - 1] > 999) {
558                 tempo[active_tab - 1] = 1;
559             }
560             update_BPM();
561             break;
562         default:
563             break;
564         }
565     }
566     case 5: // down
567         switch (edit_box)
568         {
569         case 4: // repeat
570             repeat[active_tab - 1] -= 2;
571             if (repeat[active_tab - 1] < 1) {
572                 repeat[active_tab - 1] = 999;
573             }
574             update_repeat();
575             break;
576         case 5: // tempo
577             tempo[active_tab - 1] -= 2;
578             if (tempo[active_tab - 1] < 1) {
579                 tempo[active_tab - 1] = 999;
580             }
581             update_BPM();
582             break;
583         default:
584             break;
585         }
586     }
587     default:
588         break;
589     }
590     update_editbox();
591     calculate_delays(); // Laskee iskujen v♦iit
592 }
593 if (buttonState[button_number] == HIGH) { // no press
594     button_timer_counter[button_number] = 0;
595     lastState[button_number] = HIGH;
596     but_enable[button_number] = true;
597 }
598 }
599 }
600
601 void save_settings() {
602     int address = 0;
603
604     // tempo
605     for (int i = 0; i < 8; i++) {
606
607         byte bpm_1 = 0;
608         byte bpm_2 = 0;
609         byte bpm_3 = 0;
610         byte bpm_4 = 0;
611
612         if (tempo[i] <= 255) {
613             bpm_1 = tempo[i];
614             bpm_2 = 0;
615             bpm_3 = 0;
616             bpm_4 = 0;
617         }
618         else if (tempo[i] > 255 && tempo[i] <= 510) {
619             bpm_1 = 255;
620             bpm_2 = tempo[i] - 255;
621             bpm_3 = 0;
622             bpm_4 = 0;
623         }
624         else if (tempo[i] > 510 && tempo[i] <= 765) {
625             bpm_1 = 255;
626             bpm_2 = 255;
627             bpm_3 = tempo[i] - 255;
628             bpm_4 = 0;
629         }
630         else if (tempo[i] > 765 && tempo[i] <= 1020) {
631             bpm_1 = 255;
632             bpm_2 = 255;
633             bpm_3 = 255;
```

```
634     bpm_4 = tempo[i] - 255;
635   }
636
637   EEPROM.update(address, bpm_1);
638   address += 1;
639   EEPROM.update(address, bpm_2);
640   address += 1;
641   EEPROM.update(address, bpm_3);
642   address += 1;
643   EEPROM.update(address, bpm_4);
644   address += 1;
645 }
646
647 // tahti_1
648 for (int i = 0; i < 8; i++) {
649   EEPROM.update(address, tahti_1[i]);
650   address += 1;
651 }
652
653 // tahti_2
654 for (int i = 0; i < 8; i++) {
655   EEPROM.update(address, tahti_2[i]);
656   address += 1;
657 }
658
659 // active
660 EEPROM.update(address, active_tab);
661 address += 1;
662
663 // on_off
664 for (int i = 0; i < 8; i++) {
665   EEPROM.update(address, on_off_array[i]);
666   address += 1;
667 }
668
669 // first hit
670 for (int i = 0; i < 8; i++) {
671   EEPROM.update(address, first_hit_array[i]);
672   address += 1;
673 }
674
675 // 1. All
676 EEPROM.update(address, first_hit);
677 address += 1;
678
679 // repeat
680 for (int i = 0; i < 8; i++) {
681
682   byte rep_1 = 0;
683   byte rep_2 = 0;
684   byte rep_3 = 0;
685   byte rep_4 = 0;
686
687   if (repeat[i] <= 255) {
688     rep_1 = repeat[i];
689     rep_2 = 0;
690     rep_3 = 0;
691     rep_4 = 0;
692   }
693   else if (repeat[i] > 255 && repeat[i] <= 510) {
694     rep_1 = 255;
695     rep_2 = repeat[i] - 255;
696     rep_3 = 0;
697     rep_4 = 0;
698   }
699   else if (repeat[i] > 510 && repeat[i] <= 765) {
700     rep_1 = 255;
701     rep_2 = 255;
702     rep_3 = repeat[i] - 255;
703     rep_4 = 0;
704   }
705   else if (repeat[i] > 765 && repeat[i] <= 1020) {
706     rep_1 = 255;
707     rep_2 = 255;
708     rep_3 = 255;
709     rep_4 = repeat[i] - 255;
710   }
711
712   EEPROM.update(address, rep_1);
713   address += 1;
714   EEPROM.update(address, rep_2);
715   address += 1;
716   EEPROM.update(address, rep_3);
717   address += 1;
718   EEPROM.update(address, rep_4);
719   address += 1;
720 }
721
722 //***** SETTINGS *****
723
724 byte high_bit = 0;
```

```
725     byte low_bit = 0;
726
727     // Very high note freq
728     high_bit = very_high_note_frequency / 100;
729     low_bit = very_high_note_frequency - (high_bit * 100);
730     EEPROM.update(address, high_bit);
731     address += 1;
732     EEPROM.update(address, low_bit);
733     address += 1;
734
735     // High note freq
736     high_bit = high_note_frequency / 100;
737     low_bit = high_note_frequency - (high_bit * 100);
738     EEPROM.update(address, high_bit);
739     address += 1;
740     EEPROM.update(address, low_bit);
741     address += 1;
742
743     // Low note freq
744     high_bit = low_note_frequency / 100;
745     low_bit = low_note_frequency - (high_bit * 100);
746     EEPROM.update(address, high_bit);
747     address += 1;
748     EEPROM.update(address, low_bit);
749     address += 1;
750
751     // Hit duration
752     high_bit = note_duration / 100;
753     low_bit = note_duration - (high_bit * 100);
754     EEPROM.update(address, high_bit);
755     address += 1;
756     EEPROM.update(address, low_bit);
757     address += 1;
758
759     // backlight on time
760     high_bit = backlight_on_time / 100;
761     low_bit = backlight_on_time - (high_bit * 100);
762     EEPROM.update(address, high_bit);
763     address += 1;
764     EEPROM.update(address, low_bit);
765     address += 1;
766
767     // On brightness
768     EEPROM.update(address, backlight_on_brightness);
769     address += 1;
770
771     // LED brightness
772     EEPROM.update(address, led_brightness);
773     address += 1;
774
775     // Wallpaper
776     EEPROM.update(address, wallpaper_color);
777     address += 1;
778
779     // Text
780     EEPROM.update(address, text_color);
781     address += 1;
782
783     // Tab on
784     EEPROM.update(address, tab_on_color);
785     address += 1;
786
787     // Tab on number
788     EEPROM.update(address, tab_on_number_color);
789     address += 1;
790
791     // Tab off
792     EEPROM.update(address, tab_off_color);
793     address += 1;
794
795     // Tab off number
796     EEPROM.update(address, tab_off_number_color);
797     address += 1;
798
799     // Editbox
800     EEPROM.update(address, edit_box_color);
801     address += 1;
802
803     // Hit LED
804     EEPROM.update(address, LED_color);
805     address += 1;
806 }
807
808 void read_settings() {
809     int address = 0;
810
811     // tempo
812     for (int i = 0; i < 8; i++) {
813
814         byte bpm_1 = EEPROM.read(address);
815         address += 1;
```

```
816     byte bpm_2 = EEPROM.read(address);
817     address += 1;
818     byte bpm_3 = EEPROM.read(address);
819     address += 1;
820     byte bpm_4 = EEPROM.read(address);
821     address += 1;
822
823     tempo[i] = bpm_1 + bpm_2 + bpm_3 + bpm_4;
824 }
825
826 // tahti_1
827 for (int i = 0; i < 8; i++) {
828     tahti_1[i] = EEPROM.read(address);
829     address += 1;
830 }
831
832 // tahti_2
833 for (int i = 0; i < 8; i++) {
834     tahti_2[i] = EEPROM.read(address);
835     address += 1;
836 }
837
838 // active
839 active_tab = EEPROM.read(address);
840 address += 1;
841
842 // on_off
843 for (int i = 0; i < 8; i++) {
844     on_off_array[i] = EEPROM.read(address);
845     address += 1;
846 }
847
848 // first_hit
849 for (int i = 0; i < 8; i++) {
850     first_hit_array[i] = EEPROM.read(address);
851     address += 1;
852 }
853
854 // 1.All
855 first_hit = EEPROM.read(address);
856 address += 1;
857
858 // repeat
859 for (int i = 0; i < 8; i++) {
860
861     byte rep_1 = EEPROM.read(address);
862     address += 1;
863     byte rep_2 = EEPROM.read(address);
864     address += 1;
865     byte rep_3 = EEPROM.read(address);
866     address += 1;
867     byte rep_4 = EEPROM.read(address);
868     address += 1;
869
870     repeat[i] = rep_1 + rep_2 + rep_3 + rep_4;
871 }
872
873 //***** SETTINGS *****
874
875 byte high_bit = 0;
876 byte low_bit = 0;
877
878 // Very high note freg
879 high_bit = EEPROM.read(address);
880 address += 1;
881 low_bit = EEPROM.read(address);
882 address += 1;
883 very_high_note_frequency = (high_bit * 100) + low_bit;
884
885 // High note freg
886 high_bit = EEPROM.read(address);
887 address += 1;
888 low_bit = EEPROM.read(address);
889 address += 1;
890 high_note_frequency = (high_bit * 100) + low_bit;
891
892 // Low note freg
893 high_bit = EEPROM.read(address);
894 address += 1;
895 low_bit = EEPROM.read(address);
896 address += 1;
897 low_note_frequency = (high_bit * 100) + low_bit;
898
899 // Hit duration
900 high_bit = EEPROM.read(address);
901 address += 1;
902 low_bit = EEPROM.read(address);
903 address += 1;
904 note_duration = (high_bit * 100) + low_bit;
905
906 // Backlight on time
```

```
907     high_bit = EEPROM.read(address);
908     address += 1;
909     low_bit = EEPROM.read(address);
910     address += 1;
911     backlight_on_time = (high_bit * 100) + low_bit;
912
913     // On brightness
914     backlight_on_brightness = EEPROM.read(address);
915     address += 1;
916
917     // LED brightness
918     led_brightness = EEPROM.read(address);
919     address += 1;
920
921     // Wallpaper
922     wallpaper_color = EEPROM.read(address);
923     address += 1;
924
925     // Text
926     text_color = EEPROM.read(address);
927     address += 1;
928
929     // Tab on
930     tab_on_color = EEPROM.read(address);
931     address += 1;
932
933     // Tab on number
934     tab_on_number_color = EEPROM.read(address);
935     address += 1;
936
937     // Tab off
938     tab_off_color = EEPROM.read(address);
939     address += 1;
940
941     // Tab off number
942     tab_off_number_color = EEPROM.read(address);
943     address += 1;
944
945     // Editbox
946     edit_box_color = EEPROM.read(address);
947     address += 1;
948
949     // Hit LED
950     LED_color = EEPROM.read(address);
951     address += 1;
952 }
953
954 void print_screen() {
955     tft.fillRect(0, 35, 160, 95, colorpalette[wallpaper_color - 1]);
956     tft.setTextColor(colorpalette[text_color - 1]);
957
958     // Tempo
959     tft.setCursor(120, 101);
960     tft.setTextSize(2);
961     tft.print("BPM");
962     // 1. hit
963     tft.setCursor(70, 45);
964     tft.setTextSize(2);
965     tft.print("1.Hit");
966
967     tft.setCursor(70, 70);
968     tft.setTextSize(2);
969     tft.print("1.All");
970
971     // Repeat
972     tft.setCursor(9, 102);
973     tft.setTextSize(1);
974     tft.print("Repeat");
975
976     update_BPM();
977     update_hit();
978     update_tahti();
979     update_repeat();
980     update_repeat();
981 }
982
983 void update_tahti() {
984     tft.fillRect(5, 40, 42, 55, colorpalette[wallpaper_color - 1]);
985
986     tft.setTextSize(3);
987     tft.setTextColor(colorpalette[text_color - 1]);
988
989     // V❖liviiva
990     if (tahti_1[active_tab - 1] >= 10 || tahti_2[active_tab - 1] >= 10) {
991         tft.fillRect(6, 66, 40, 3, colorpalette[text_color - 1]);
992     }
993     else {
994         tft.fillRect(13, 66, 25, 3, colorpalette[text_color - 1]);
995     }
996
997     // Osottaja
```

```
998     if (tahti_1[active_tab - 1] >= 10) {
999         tft.setCursor(10, 41);
1000         tft.print(tahti_1[active_tab - 1]);
1001     }
1002     else {
1003         tft.setCursor(18, 41);
1004         tft.print(tahti_1[active_tab - 1]);
1005     }
1006
1007     // Nimittoj
1008     if (tahti_2[active_tab - 1] >= 10) {
1009         tft.setCursor(10, 73);
1010         tft.print(tahti_2[active_tab - 1]);
1011     }
1012     else {
1013         tft.setCursor(18, 73);
1014         tft.print(tahti_2[active_tab - 1]);
1015     }
1016 }
1017
1018 void update_BPM() {
1019     tft.fillRect(59, 91, 53, 23, colorpalette[wallpaper_color - 1]);
1020
1021     tft.setTextSize(3);
1022     tft.setTextColor(colorpalette[text_color - 1]);
1023
1024     tft.setCursor(60, 92);
1025
1026     if (tempo[active_tab - 1] < 10) {
1027         tft.print(" ");
1028         tft.print(tempo[active_tab - 1]);
1029     }
1030
1031     if (tempo[active_tab - 1] >= 10 && tempo[active_tab - 1] < 100) {
1032         tft.print(" ");
1033         tft.print(tempo[active_tab - 1]);
1034     }
1035
1036     if (tempo[active_tab - 1] >= 100) {
1037         tft.print(tempo[active_tab - 1]);
1038     }
1039 }
1040
1041 void update_hit() {
1042     tft.fillRect(134, 35, 26, 52, colorpalette[wallpaper_color - 1]);
1043
1044     tft.setTextSize(3);
1045     tft.setTextColor(colorpalette[text_color - 1]);
1046
1047     tft.drawRect(135, 40, 20, 20, colorpalette[text_color - 1]);
1048     tft.drawRect(135, 65, 20, 20, colorpalette[text_color - 1]);
1049
1050     if (first_hit_array[active_tab - 1] == true)
1051         tft.drawBitmap(135, 35, logo16_glcd_bmp, 24, 24, ST7735_GREEN);
1052     if (first_hit == true) {
1053         tft.drawBitmap(135, 60, logo16_glcd_bmp, 24, 24, ST7735_GREEN);
1054     }
1055 }
1056
1057 void print_tab(byte tab, bool on_off, byte active) {
1058     int tab_height = 25;
1059     int tab_width = 20;
1060     int tab_back_color = colorpalette[tab_on_color - 1];
1061     int tab_number_color = colorpalette[tab_on_number_color - 1];
1062     int cursor = 2;
1063
1064     if (active == tab) {
1065         tab_height = 35;
1066         cursor = 12;
1067     }
1068
1069     else { // back color Rect
1070         tft.fillRect(tab_width * (tab - 1), tab_height, tab_width, 10, colorpalette[wallpaper_color - 1]);
1071     }
1072
1073     if (on_off == false) {
1074         tab_back_color = colorpalette[tab_off_color - 1];
1075         tab_number_color = colorpalette[tab_off_number_color - 1];
1076     }
1077
1078     tft.fillRect(tab_width * (tab - 1) + 1, 0, tab_width - 2, tab_height, tab_back_color);
1079
1080     tft.setCursor((tab_width * (tab - 1)) + 2, cursor);
1081     tft.setTextSize(3);
1082     tft.setTextColor(tab_number_color);
1083     tft.print(tab);
1084 }
1085
1086 void update_tabs() {
1087     if (active_tab == 1) {
1088         print_tab(8, on_off_array[7], active_tab);
1089     }
1090 }
```

```
1089     print_tab(1, on_off_array[0], active_tab);
1090     print_tab(2, on_off_array[1], active_tab);
1091   }
1092   else if (active_tab == 8) {
1093     print_tab(7, on_off_array[6], active_tab);
1094     print_tab(8, on_off_array[7], active_tab);
1095     print_tab(1, on_off_array[0], active_tab);
1096   }
1097   else {
1098     print_tab(active_tab - 1, on_off_array[active_tab - 2], active_tab);
1099     print_tab(active_tab, on_off_array[active_tab - 1], active_tab);
1100     print_tab(active_tab + 1, on_off_array[active_tab], active_tab);
1101   }
1102 }
1103
1104 void update_editbox() {
1105   switch (edit_box)
1106   {
1107     case 0:
1108       break;
1109     case 1: // tab
1110       tft.drawLine((20 * (active_tab - 1)), 0, (20 * (active_tab - 1)), 34, colorpalette[edit_box_color - 1]);
1111       tft.drawLine((20 * (active_tab - 1)) + 19, 0, (20 * (active_tab - 1)) + 19, 34, colorpalette[edit_box_color - 1]);
1112       tft.fillRect((20 * (active_tab - 1)), 0, 20, 5, colorpalette[edit_box_color - 1]);
1113       break;
1114     case 2: // tahti_1
1115       tft.drawRect(5, 38, 42, 26, colorpalette[edit_box_color - 1]);
1116       break;
1117     case 3: // tahti_2
1118       tft.drawRect(5, 70, 42, 26, colorpalette[edit_box_color - 1]);
1119       break;
1120     case 4: // repeat
1121       tft.drawRect(7, 110, 38, 18, colorpalette[edit_box_color - 1]);
1122       break;
1123     case 5: // bpm
1124       tft.drawRect(57, 89, 57, 26, colorpalette[edit_box_color - 1]);
1125       break;
1126     case 6: // all
1127       tft.drawRect(133, 63, 24, 24, colorpalette[edit_box_color - 1]);
1128       break;
1129     case 7: // 1.hit
1130       tft.drawRect(133, 38, 24, 24, colorpalette[edit_box_color - 1]);
1131       break;
1132
1133     default:
1134       break;
1135   }
1136 }
1137
1138 void update_editbox_delete() {
1139   switch (edit_box)
1140   {
1141     case 0:
1142       break;
1143     case 1: // tabs
1144       tft.drawLine((20 * (active_tab - 1)), 0, (20 * (active_tab - 1)), 34, colorpalette[wallpaper_color - 1]);
1145       tft.drawLine((20 * (active_tab - 1)) + 19, 0, (20 * (active_tab - 1)) + 19, 34, colorpalette[wallpaper_color - 1]);
1146       tft.fillRect((20 * (active_tab - 1)), 0, 20, 5, colorpalette[wallpaper_color - 1]);
1147       update_tabs();
1148       break;
1149     case 2: // tahti_1
1150       tft.drawRect(5, 38, 42, 26, colorpalette[wallpaper_color - 1]);
1151       break;
1152     case 3: // tahti_2
1153       tft.drawRect(5, 70, 42, 26, colorpalette[wallpaper_color - 1]);
1154       break;
1155     case 4: // repeat
1156       tft.drawRect(7, 110, 38, 18, colorpalette[wallpaper_color - 1]);
1157       break;
1158     case 5: // bpm
1159       tft.drawRect(57, 89, 57, 26, colorpalette[wallpaper_color - 1]);
1160       break;
1161     case 6: // all
1162       tft.drawRect(133, 63, 24, 24, colorpalette[wallpaper_color - 1]);
1163       update_hit();
1164       break;
1165     case 7: // 1.hit
1166       tft.drawRect(133, 38, 24, 24, colorpalette[wallpaper_color - 1]);
1167       update_hit();
1168       break;
1169
1170     default:
1171       break;
1172   }
1173 }
1174
1175 void update_repeat() {
1176   repeat_count = repeat[current_playing_tab];
1177
1178   tft.fillRect(8, 111, 36, 16, colorpalette[wallpaper_color - 1]);
1179 }
```

```
1180     tft.setTextSize(2);
1181     tft.setTextColor(colorpalette[text_color - 1]);
1182
1183     tft.setCursor(9, 112);
1184
1185     if (repeat[active_tab - 1] < 10) {
1186         tft.print(" ");
1187         tft.print(repeat[active_tab - 1]);
1188     }
1189
1190     if (repeat[active_tab - 1] >= 10 && repeat[active_tab - 1] < 100) {
1191         tft.print(" ");
1192         tft.print(repeat[active_tab - 1]);
1193     }
1194
1195     if (repeat[active_tab - 1] >= 100) {
1196         tft.print(repeat[active_tab - 1]);
1197     }
1198 }
1199
1200 void update_brightness() {
1201     if (millis() - last_press < ((unsigned long)backlight_on_time * 1000) || backlight_on_time == 0) {
1202         current_brightness = backlight_on_brightness;
1203     }
1204
1205     else if (current_brightness != 0) {
1206         if (millis() - last_brightness_update >= backlight_fade_time_1 && current_brightness > backlight_dim_brightness) {
1207             last_brightness_update = millis();
1208             current_brightness -= 1;
1209         }
1210
1211         else if (millis() - last_brightness_update >= backlight_dim_time) {
1212             last_brightness_update = millis();
1213             current_brightness -= 1;
1214         }
1215
1216         else if (millis() - last_brightness_update >= backlight_fade_time_2 && current_brightness < backlight_dim_brightness) {
1217             last_brightness_update = millis();
1218             current_brightness -= 1;
1219         }
1220     }
1221     analogWrite(backlight_pin, current_brightness);
1222 }
1223
1224 void print_battery() {
1225     tft.setTextSize(1);
1226     x = width - 82;
1227     y = height - 8;
1228     tft.setCursor(x, y);
1229     tft.print("Bat.");
1230     x = width - 38;
1231     tft.setCursor(x, y);
1232     tft.print("%");
1233
1234     x = width - 27;
1235     tft.fillRect(x, y, 27, 8, ST7735_RED);
1236     x = width - 29;
1237     y = height - 6;
1238     tft.drawRect(x, y, 2, 4, ST7735_RED);
1239 }
1240
1241 int read_battery_percent() {
1242     total_sum_voltage = total_sum_voltage - voltage_readings[voltage_read_index];
1243     voltage_readings[voltage_read_index] = analogRead(battery_voltage_pin);
1244     total_sum_voltage = total_sum_voltage + voltage_readings[voltage_read_index];
1245
1246     voltage_read_index = voltage_read_index + 1;
1247
1248     if (voltage_read_index >= voltage_readings_count) {
1249         voltage_read_index = 0;
1250     }
1251
1252     raw_battery_voltage = total_sum_voltage / voltage_readings_count;
1253
1254     if (raw_battery_voltage < battery_voltage_reference[0]) {
1255         return 0;
1256     }
1257
1258     if (raw_battery_voltage > battery_voltage_reference[10]) {
1259         return 100;
1260     }
1261
1262     for (int i = 0; i < sizeof(battery_voltage_reference) - 1; i++) {
1263         if (raw_battery_voltage < battery_voltage_reference[i]) {
1264             continue;
1265         }
1266         else if (raw_battery_voltage >= battery_voltage_reference[i] && raw_battery_voltage <= battery_voltage_reference[i + 1]) {
```



```
1271     return map(raw_battery_voltage, battery_voltage_reference[i], battery_voltage_reference[i + 1], i * 10, (i + 1) * 10);
1272   }
1273 }
1274 }
1275
1276 int read_charge_status() {
1277   int raw_status = analogRead(charge_status_pin);
1278   // 510 = full
1279   // 0 = charge
1280   // 1023 = unplugged
1281
1282   if (raw_status <= 250) {
1283     return 1; // Charge
1284   }
1285   else if (raw_status > 250 && raw_status <= 750) {
1286     return 2; // Full
1287   }
1288   else if (raw_status > 750) {
1289     return 0; // Unplugged
1290   }
1291 }
1292
1293 void update_battery() {
1294
1295   if (millis() - last_battery_update > 1000) {
1296     last_battery_update = millis();
1297     battery_percent = read_battery_percent(); // read_battery_percent();
1298     charge_status = read_charge_status();
1299     x = width - 93;
1300     y = height - 11;
1301     if (charge_status == 1 && last_charge_status != 1) {
1302       tft.fillRect(x, y, 9, 11, colorpalette[wallpaper_color - 1]); // lataus
1303       tft.drawBitmap(x, y, charge_9_11, 9, 11, ST7735_YELLOW);
1304     }
1305     if (charge_status == 2 && last_charge_status != 2) {
1306       tft.fillRect(x, y, 9, 11, colorpalette[wallpaper_color - 1]); // täynnä
1307       tft.drawBitmap(x, y, charge_9_11, 9, 11, ST7735_GREEN);
1308     }
1309     if (charge_status == 0 && last_charge_status != 0) {
1310       tft.fillRect(x, y, 9, 11, colorpalette[wallpaper_color - 1]); // tyhjennys
1311       // tft.drawBitmap(x, y, charge_9_11, 9, 11, colorpalette[wallpaper_color - 1]);
1312     }
1313     if (last_battery_percent != battery_percent || charge_status != last_charge_status) {
1314       last_battery_percent = battery_percent;
1315
1316       x = width - 56;
1317       y = height - 8;
1318       tft.fillRect(x, y, 17, 8, colorpalette[wallpaper_color - 1]); // tyhjennys
1319
1320       tft.setTextSize(1);
1321
1322       tft.setCursor(x, y);
1323       tft.setTextColor(colorpalette[text_color - 1]);
1324
1325       if (charge_status >= 2) {
1326         tft.print(100);
1327       }
1328
1329       else if (battery_percent >= 100 && charge_status == 1) {
1330         tft.print(" ");
1331         tft.print(99);
1332       }
1333
1334       else if (battery_percent >= 100 && charge_status == 0) {
1335         tft.print(100);
1336       }
1337
1338       else if (battery_percent >= 10) {
1339         tft.print(" ");
1340         tft.print(battery_percent);
1341       }
1342     }
1343     else {
1344       tft.print(" ");
1345       tft.print(battery_percent);
1346     }
1347
1348     x = width - 26;
1349     y = height - 7;
1350     tft.fillRect(x, y, 25 - (battery_percent / 4), 6, colorpalette[wallpaper_color - 1]);
1351     x = ((width - 26) + (25 - (battery_percent / 4)));
1352     tft.fillRect(x, y, (battery_percent / 4), 6, ST7735_RED);
1353   }
1354   last_charge_status = charge_status;
1355 }
1356 }
1357
1358 void print_LED(int color) {
1359   analogWrite(led_pin_red, (led_colorpalette[color - 1][0]) * led_brightness);
1360   analogWrite(led_pin_green, (led_colorpalette[color - 1][1]) * led_brightness);
1361   analogWrite(led_pin_blue, (led_colorpalette[color - 1][2]) * led_brightness);
```

```
1362 }
1363
1364 void detect_headphone_jack() {
1365     if (digitalRead(headphone_detect_pin) == HIGH) {
1366         digitalWrite(speaker_mute_pin, LOW);
1367     }
1368     else {
1369         digitalWrite(speaker_mute_pin, HIGH);
1370     }
1371 }
1372
1373 void soundcard() {
1374     if (play == true) {
1375         digitalWrite(amp_CS_pin, LOW);
1376         delay(50);
1377     }
1378     else {
1379         digitalWrite(amp_CS_pin, HIGH);
1380     }
1381 }
1382
1383 void reset_play() {
1384     last_hit_time = 0;
1385     current_playing_tab = 0;
1386     repeat_count = repeat[current_playing_tab];
1387     hit_num = 0;
1388     first_beat = true;
1389 }
1390
1391 //***** SETTINGS *****/
1392
1393 void button_settings(int button_number) { //boolean buttonState, int pin, unsigned long lastDebounceTime, boolean lastState, int
1394     button_timer_counter = digitalRead(buttonpins[button_number]);
1395     if (millis() - lastDebounceTime[button_number] > debounceDelay) {
1396         lastDebounceTime[button_number] = millis();
1397
1398         if (buttonState[button_number] == LOW && lastState[button_number] == HIGH) { // 1. time aftre press
1399
1400             button_timer_counter[button_number] = 0;
1401             lastState[button_number] = LOW;
1402             lastDebounceTime[button_number] = millis();
1403             last_press = millis();
1404             //return 0
1405         }
1406
1407         else if (buttonState[button_number] == LOW && lastState[button_number] == LOW) { // during press
1408             button_timer_counter[button_number] += 1;
1409             lastState[button_number] = LOW;
1410             last_press = millis();
1411         }
1412
1413         else if (buttonState[button_number] == HIGH && lastState[button_number] == LOW && button_timer_counter[button_number] < 20) { //
1414             normal press
1415             lastState[button_number] = HIGH;
1416             delete_settings_edit_box();
1417             switch (button_number)
1418             {
1419                 case 0: // tab +
1420                     break;
1421
1422                 case 1: // tab -
1423                     break;
1424
1425                 case 2: // editbox +
1426                     settings_edit_box += 1;
1427                     if (settings_edit_box > 15) {
1428                         settings_edit_box = 1;
1429                     }
1430                     break;
1431
1432                 case 3: // editbox -
1433                     settings_edit_box -= 1;
1434                     if (settings_edit_box < 1) {
1435                         settings_edit_box = 15;
1436                     }
1437                     break;
1438
1439                 case 4: // button up
1440                     switch (settings_edit_box)
1441                     {
1442                         case 0:
1443                             // no box
1444                             break;
1445                         case 1:
1446                             very_high_note_frequency += 1;
1447                             if (very_high_note_frequency > 20000) {
1448                                 very_high_note_frequency = 100;
1449                             }
1450                     }
1451             }
1452         }
1453     }
1454 }
```

```
1451     break;
1452     case 2:
1453         high_note_frequency += 1;
1454         if (high_note_frequency > 20000) {
1455             high_note_frequency = 100;
1456         }
1457         break;
1458     case 3:
1459         low_note_frequency += 1;
1460         if (low_note_frequency > 20000) {
1461             low_note_frequency = 100;
1462         }
1463         break;
1464     case 4:
1465         note_duration += 1;
1466         if (note_duration > 1000) {
1467             note_duration = 1;
1468         }
1469         break;
1470     case 5:
1471         backlight_on_time += 1;
1472         if (backlight_on_time > 600) {
1473             backlight_on_time = 0;
1474         }
1475         break;
1476     case 6:
1477         backlight_on_brightness += 1;
1478         if (backlight_on_brightness == 0) {
1479             backlight_on_brightness = 1;
1480         }
1481         break;
1482     case 7:
1483         led_brightness += 1;
1484         break;
1485     case 8:
1486         wallpaper_color += 1;
1487         if (wallpaper_color > 8) {
1488             wallpaper_color = 1;
1489         }
1490         break;
1491     case 9:
1492         text_color += 1;
1493         if (text_color > 8) {
1494             text_color = 1;
1495         }
1496         break;
1497     case 10:
1498         tab_on_color += 1;
1499         if (tab_on_color > 8) {
1500             tab_on_color = 1;
1501         }
1502         break;
1503     case 11:
1504         tab_on_number_color += 1;
1505         if (tab_on_number_color > 8) {
1506             tab_on_number_color = 1;
1507         }
1508         break;
1509     case 12:
1510         tab_off_color += 1;
1511         if (tab_off_color > 8) {
1512             tab_off_color = 1;
1513         }
1514         break;
1515     case 13:
1516         tab_off_number_color += 1;
1517         if (tab_off_number_color > 8) {
1518             tab_off_number_color = 1;
1519         }
1520         break;
1521     case 14:
1522         edit_box_color += 1;
1523         if (edit_box_color > 8) {
1524             edit_box_color = 1;
1525         }
1526         break;
1527     case 15:
1528         LED_color += 1;
1529         if (LED_color > 8) {
1530             LED_color = 1;
1531         }
1532         break;
1533     default:
1534         break;
1535 }
1536 break;
1537
1538 case 5: // button down
1539     switch (settings_edit_box)
1540     {
1541     case 0:
```

```
1542 // no box
1543 break;
1544 case 1:
1545     very_high_note_frequency -= 1;
1546     if (very_high_note_frequency < 100) {
1547         very_high_note_frequency = 20000;
1548     }
1549     break;
1550 case 2:
1551     high_note_frequency -= 1;
1552     if (high_note_frequency < 100) {
1553         high_note_frequency = 20000;
1554     }
1555     break;
1556 case 3:
1557     low_note_frequency -= 1;
1558     if (low_note_frequency < 100) {
1559         low_note_frequency = 20000;
1560     }
1561     break;
1562 case 4:
1563     note_duration -= 1;
1564     if (note_duration < 1) {
1565         note_duration = 1000;
1566     }
1567     break;
1568 case 5:
1569     backlight_on_time -= 1;
1570     if (backlight_on_time < 0) {
1571         backlight_on_time = 600;
1572     }
1573     break;
1574 case 6:
1575     backlight_on_brightness -= 1;
1576     if (backlight_on_brightness == 0) {
1577         backlight_on_brightness = 255;
1578     }
1579     break;
1580 case 7:
1581     led_brightness -= 1;
1582     break;
1583 case 8:
1584     wallpaper_color -= 1;
1585     if (wallpaper_color < 1) {
1586         wallpaper_color = 8;
1587     }
1588     break;
1589 case 9:
1590     text_color -= 1;
1591     if (text_color < 1) {
1592         text_color = 8;
1593     }
1594     break;
1595 case 10:
1596     tab_on_color -= 1;
1597     if (tab_on_color < 1) {
1598         tab_on_color = 8;
1599     }
1600     break;
1601 case 11:
1602     tab_on_number_color -= 1;
1603     if (tab_on_number_color < 1) {
1604         tab_on_number_color = 8;
1605     }
1606     break;
1607 case 12:
1608     tab_off_color -= 1;
1609     if (tab_off_color < 1) {
1610         tab_off_color = 8;
1611     }
1612     break;
1613 case 13:
1614     tab_off_number_color -= 1;
1615     if (tab_off_number_color < 1) {
1616         tab_off_number_color = 8;
1617     }
1618     break;
1619 case 14:
1620     edit_box_color -= 1;
1621     if (edit_box_color < 1) {
1622         edit_box_color = 8;
1623     }
1624     break;
1625 case 15:
1626     LED_color -= 1;
1627     if (LED_color < 1) {
1628         LED_color = 8;
1629     }
1630     break;
1631 default:
1632     break;
```

```
1633     }
1634     break;
1635 default:
1636     break;
1637 }
1638 print_settings_edit_box();
1639 print_settings();
1640 }
1641
1642 if (button_timer_counter[button_number] > 40 && buttonState[button_number] == LOW) { // very long press
1643     switch (button_number)
1644     {
1645     case 4: // button up
1646         switch (settings_edit_box)
1647         {
1648         case 0:
1649             // no box
1650             break;
1651         case 1:
1652             very_high_note_frequency += 50;
1653             if (very_high_note_frequency > 20000) {
1654                 very_high_note_frequency = 100;
1655             }
1656             break;
1657         case 2:
1658             high_note_frequency += 50;
1659             if (high_note_frequency > 20000) {
1660                 high_note_frequency = 100;
1661             }
1662             break;
1663         case 3:
1664             low_note_frequency += 50;
1665             if (low_note_frequency > 20000) {
1666                 low_note_frequency = 100;
1667             }
1668             break;
1669         case 4:
1670             note_duration += 10;
1671             if (note_duration > 1000) {
1672                 note_duration = 1;
1673             }
1674             break;
1675         case 5:
1676             backlight_on_time += 10;
1677             if (backlight_on_time > 600) {
1678                 backlight_on_time = 0;
1679             }
1680             break;
1681         case 6:
1682             backlight_on_brightness += 5;
1683             if (backlight_on_brightness == 0) {
1684                 backlight_on_brightness = 1;
1685             }
1686             break;
1687         case 7:
1688             led_brightness += 5;
1689             break;
1690         default:
1691             break;
1692     }
1693     break;
1694
1695 case 5: // button down
1696     switch (settings_edit_box)
1697     {
1698     case 0:
1699         // no box
1700         break;
1701     case 1:
1702         very_high_note_frequency -= 50;
1703         if (very_high_note_frequency < 100) {
1704             very_high_note_frequency = 20000;
1705         }
1706         break;
1707     case 2:
1708         high_note_frequency -= 50;
1709         if (high_note_frequency < 100) {
1710             high_note_frequency = 20000;
1711         }
1712         break;
1713     case 3:
1714         low_note_frequency -= 50;
1715         if (low_note_frequency < 100) {
1716             low_note_frequency = 20000;
1717         }
1718         break;
1719     case 4:
1720         note_duration -= 10;
1721         if (note_duration < 1) {
1722             note_duration = 1000;
1723         }
1724     }
```

```
1724         break;
1725     case 5:
1726         backlight_on_time -= 10;
1727         if (backlight_on_time < 0) {
1728             backlight_on_time = 600;
1729         }
1730         break;
1731     case 6:
1732         backlight_on_brightness -= 5;
1733         if (backlight_on_brightness == 0) {
1734             backlight_on_brightness = 255;
1735         }
1736         break;
1737     case 7:
1738         led_brightness -= 5;
1739         break;
1740     default:
1741         break;
1742     }
1743     break;
1744
1745     case 6:
1746         save_settings();
1747         noTone(tone_pin);
1748         digitalWrite(amp_CS_pin, LOW); // vahvistin päälle
1749         print_LED(1);
1750         tone(tone_pin, 2000, 200);
1751         delay(200);
1752         print_LED(3);
1753         tone(tone_pin, 1000, 200);
1754         while (digitalRead(buttonpins[6]) == LOW) {}
1755         delay(200);
1756         print_LED(LED_color);
1757         digitalWrite(amp_CS_pin, HIGH); // vahvistin pois
1758         break;
1759     default:
1760         break;
1761     }
1762     print_settings();
1763 }
1764
1765 else if (button_timer_counter[button_number] > 20 && buttonState[button_number] == LOW) { // long press
1766     switch (button_number)
1767     {
1768     case 4: // button up
1769         switch (settings_edit_box)
1770         {
1771         case 0:
1772             // no box
1773             break;
1774         case 1:
1775             very_high_note_frequency += 25;
1776             if (very_high_note_frequency > 20000) {
1777                 very_high_note_frequency = 100;
1778             }
1779             break;
1780         case 2:
1781             high_note_frequency += 25;
1782             if (high_note_frequency > 20000) {
1783                 high_note_frequency = 100;
1784             }
1785             break;
1786         case 3:
1787             low_note_frequency += 25;
1788             if (low_note_frequency > 20000) {
1789                 low_note_frequency = 100;
1790             }
1791             break;
1792         case 4:
1793             note_duration += 5;
1794             if (note_duration > 1000) {
1795                 note_duration = 1;
1796             }
1797             break;
1798         case 5:
1799             backlight_on_time += 5;
1800             if (backlight_on_time > 600) {
1801                 backlight_on_time = 0;
1802             }
1803             break;
1804         case 6:
1805             backlight_on_brightness += 5;
1806             if (backlight_on_brightness == 0) {
1807                 backlight_on_brightness = 1;
1808             }
1809             break;
1810         case 7:
1811             led_brightness += 5;
1812             break;
1813         default:
1814             break;
```

```
1815     }
1816     break;
1817
1818     case 5: // button down
1819     switch (settings_edit_box)
1820     {
1821     case 0:
1822         // no box
1823         break;
1824     case 1:
1825         very_high_note_frequency -= 25;
1826         if (very_high_note_frequency < 100) {
1827             very_high_note_frequency = 20000;
1828         }
1829         break;
1830     case 2:
1831         high_note_frequency -= 25;
1832         if (high_note_frequency < 100) {
1833             high_note_frequency = 20000;
1834         }
1835         break;
1836     case 3:
1837         low_note_frequency -= 25;
1838         if (low_note_frequency < 100) {
1839             low_note_frequency = 20000;
1840         }
1841         break;
1842     case 4:
1843         note_duration -= 5;
1844         if (note_duration < 1) {
1845             note_duration = 1000;
1846         }
1847         break;
1848     case 5:
1849         backlight_on_time -= 5;
1850         if (backlight_on_time < 0) {
1851             backlight_on_time = 600;
1852         }
1853         break;
1854     case 6:
1855         backlight_on_brightness -= 5;
1856         if (backlight_on_brightness == 0) {
1857             backlight_on_brightness = 255;
1858         }
1859         break;
1860     case 7:
1861         led_brightness -= 5;
1862         break;
1863     default:
1864         break;
1865     }
1866     break;
1867
1868     default:
1869         break;
1870 }
1871 print_settings();
1872 }
1873
1874 if (buttonState[button_number] == HIGH) { // no press
1875     button_timer_counter[button_number] = 0;
1876     lastState[button_number] = HIGH;
1877 }
1878 }
1879 }
1880
1881 void print_settings_text() {
1882     int b = 0;
1883     int c = 116;
1884     tft.setTextSize(1);
1885     tft.setTextColor(colorpalette[text_color - 1]);
1886
1887     tft.setCursor(b, 1);
1888     tft.print("1.All freq. --");
1889     tft.setCursor(c, 1);
1890     tft.print("Hz");
1891
1892     tft.setCursor(b, 9);
1893     tft.print("1.Hit freq. --");
1894     tft.setCursor(c, 9);
1895     tft.print("Hz");
1896
1897     tft.setCursor(b, 17);
1898     tft.print("Beat freq. ---");
1899     tft.setCursor(c, 17);
1900     tft.print("Hz");
1901
1902     tft.setCursor(b, 25);
1903     tft.print("Hit duration -");
1904     tft.setCursor(c, 25);
1905     tft.print("ms");
```

```
1906
1907     tft.setCursor(b, 33);
1908     tft.print("Light on time");
1909     tft.setCursor(c, 33);
1910     tft.print("s");
1911
1912     tft.setCursor(b, 41);
1913     tft.print("Brightness ---");
1914
1915     tft.setCursor(b, 49);
1916     tft.print("LED brightness");
1917
1918     tft.setCursor(b, 57);
1919     tft.print("Wallpaper ----");
1920
1921     tft.setCursor(b, 65);
1922     tft.print("Text -----");
1923
1924     tft.setCursor(b, 73);
1925     tft.print("Tab on -----");
1926
1927     tft.setCursor(b, 81);
1928     tft.print("Tab on number ");
1929
1930     tft.setCursor(b, 89);
1931     tft.print("Tab off -----");
1932
1933     tft.setCursor(b, 97);
1934     tft.print("Tab off number");
1935
1936     tft.setCursor(b, 105);
1937     tft.print("Edit box -----");
1938
1939     tft.setCursor(b, 113);
1940     tft.print("Hit LED -----");
1941 }
1942
1943 void print_settings() {
1944
1945     int a = 85; // leveys/aloitus
1946     tft.setTextSize(1);
1947     tft.setTextColor(colorpalette[text_color - 1]);
1948
1949     switch (settings_edit_box)
1950     {
1951     case 1:
1952         tft.fillRect(a, 1, 29, 7, colorpalette[wallpaper_color - 1]);
1953         tft.setCursor(a, 1);
1954         tft.print(very_high_note_frequency);
1955         break;
1956     case 2:
1957         tft.fillRect(a, 9, 29, 7, colorpalette[wallpaper_color - 1]);
1958         tft.setCursor(a, 9);
1959         tft.print(high_note_frequency);
1960         break;
1961     case 3:
1962         tft.fillRect(a, 17, 29, 7, colorpalette[wallpaper_color - 1]);
1963         tft.setCursor(a, 17);
1964         tft.print(low_note_frequency);
1965         break;
1966     case 4:
1967         tft.fillRect(a, 25, 29, 7, colorpalette[wallpaper_color - 1]);
1968         tft.setCursor(a, 25);
1969         tft.print(note_duration);
1970         break;
1971     case 5:
1972         tft.fillRect(a, 33, 29, 7, colorpalette[wallpaper_color - 1]);
1973         tft.setCursor(a, 33);
1974         tft.print(backlight_on_time);
1975         break;
1976     case 6:
1977         tft.fillRect(a, 41, 29, 7, colorpalette[wallpaper_color - 1]);
1978         tft.setCursor(a, 41);
1979         tft.print(backlight_on_brightness);
1980         break;
1981     case 7:
1982         tft.fillRect(a, 49, 29, 7, colorpalette[wallpaper_color - 1]);
1983         tft.setCursor(a, 49);
1984         tft.print(led_brightness);
1985         break;
1986     case 8:
1987         tft.fillRect(a, 57, 29, 7, colorpalette[wallpaper_color - 1]);
1988         break;
1989     case 9:
1990         tft.fillRect(a, 65, 29, 7, colorpalette[text_color - 1]);
1991         break;
1992     case 10:
1993         tft.fillRect(a, 73, 29, 7, colorpalette[tab_on_color - 1]);
1994         break;
1995     case 11:
1996         tft.fillRect(a, 81, 29, 7, colorpalette[tab_on_number_color - 1]);
```



```
1997     break;
1998     case 12:
1999         tft.fillRect(a, 89, 29, 7, colorpalette[tab_off_color - 1]);
2000         break;
2001     case 13:
2002         tft.fillRect(a, 97, 29, 7, colorpalette[tab_off_number_color - 1]);
2003         break;
2004     case 14:
2005         tft.fillRect(a, 105, 29, 7, colorpalette[edit_box_color - 1]);
2006         break;
2007     case 15:
2008         tft.fillRect(a, 113, 29, 7, colorpalette[LED_color - 1]);
2009         break;
2010     default:
2011         break;
2012     }
2013 }
2014
2015 void print_settings_edit_box() {
2016     int a = 84;
2017
2018     tft.drawRect(a, (settings_edit_box - 1) * 8, 31, 9, colorpalette[edit_box_color - 1]);
2019 }
2020
2021 void delete_settings_edit_box() {
2022     int a = 84;
2023
2024     tft.drawRect(a, (settings_edit_box - 1) * 8, 31, 9, colorpalette[wallpaper_color - 1]);
2025 }
2026
```



```
92 0x00, 0x00, 0x00, 0x00, 0x00, 0x00, 0x00, 0x00, 0x00, 0x00, 0x00, 0x00, 0x00, 0x00, 0x00, 0x00, 0x00, 0x00,
93 0x00, 0x00, 0x00, 0x00, 0x00, 0x00, 0x00, 0x00, 0x00, 0x00, 0x00, 0x00, 0x00, 0x00, 0x00, 0x00, 0x00, 0x00,
94 0x00, 0x00, 0x00, 0x00, 0x00, 0x00, 0x00, 0x00, 0x00, 0x00, 0x00, 0x00, 0x00, 0x00, 0x00, 0x00, 0x00, 0x00,
95 0x00, 0x00, 0x00, 0x00, 0x00, 0x00, 0x00, 0x00, 0x00, 0x00, 0x00, 0x00, 0x00, 0x00, 0x00, 0x00, 0x00, 0x00,
96 0x00, 0x00, 0x00, 0x00, 0x00, 0x00, 0x00, 0x00, 0x00, 0x00, 0x00, 0x00, 0x00, 0x00, 0x00, 0x00, 0x00, 0x00,
97 0x00, 0x00, 0x00, 0x00, 0x00, 0x00, 0x00, 0x00, 0x00, 0x00, 0x00, 0x00, 0x00, 0x00, 0x00, 0x00, 0x00, 0x00,
98 0x00, 0x00, 0x00, 0x00, 0x00, 0x00, 0x00, 0x00, 0x00, 0x00, 0x00, 0x00, 0x00, 0x00, 0x00, 0x00, 0x00, 0x00,
99 0x00, 0x00, 0x00, 0x00, 0x00, 0x00, 0x00, 0x00, 0x00, 0x00, 0x00, 0x00, 0x00, 0x00, 0x00, 0x00, 0x00, 0x00,
100 0x00, 0x00, 0x00, 0x00, 0x00, 0x00, 0x00, 0x00, 0x00, 0x00, 0x00, 0x00, 0x00, 0x00, 0x00, 0x00, 0x00, 0x00,
101 0x00, 0x00, 0x00, 0x00, 0x00, 0x00, 0x00, 0x00, 0x00, 0x00, 0x00, 0x00, 0x00, 0x00, 0x00, 0x00, 0x00, 0x00,
102 0x00, 0x00, 0x00, 0x00, 0x00, 0x00, 0x00, 0x00, 0x00, 0x00, 0x00, 0x00, 0x00, 0x00, 0x00, 0x00, 0x00, 0x00,
103 0x00, 0x00, 0x00, 0x00, 0x00, 0x00, 0x00, 0x00, 0x00, 0x00, 0x00, 0x00, 0x00, 0x00, 0x00, 0x00, 0x00, 0x00,
104 0x00, 0x00, 0x00, 0x00, 0x00, 0x00, 0x00, 0x00, 0x00, 0x00, 0x00, 0x00, 0x00, 0x00, 0x00, 0x00, 0x00, 0x00,
105 0x00, 0x00, 0x00, 0x00, 0x00, 0x00, 0x00, 0x00, 0x00, 0x00, 0x00, 0x00, 0x00, 0x00, 0x00, 0x00, 0x00, 0x00,
106 0x00, 0x00, 0x00, 0x00, 0x00, 0x00, 0x00, 0x00, 0x00, 0x00, 0x00, 0x00, 0x00, 0x00, 0x00, 0x00, 0x00, 0x00,
107 0x00, 0x00, 0x00, 0x00, 0x00, 0x00, 0x00, 0x00, 0x00, 0x00, 0x00, 0x00, 0x00, 0x00, 0x00, 0x00, 0x00, 0x00,
108 0x00, 0x00, 0x00, 0x00, 0x00, 0x00, 0x00, 0x00, 0x00, 0x00, 0x00, 0x00, 0x00, 0x00, 0x00, 0x00, 0x00, 0x00,
109 0x00, 0x00, 0x00, 0x00, 0x00, 0x00, 0x00, 0x00, 0x00, 0x00, 0x00, 0x00, 0x00, 0x00, 0x00, 0x00, 0x00, 0x00,
110 0x00, 0x00, 0x00, 0x00, 0x00, 0x00, 0x00, 0x00, 0x00, 0x00, 0x00, 0x00, 0x00, 0x00, 0x00, 0x00, 0x00, 0x00,
111 0x00, 0x00, 0x1c, 0x70, 0xe0, 0x1e, 0x1e, 0x06, 0x30, 0x3c, 0x07, 0x1c, 0x03, 0x80, 0xe3, 0x87, 0x00, 0xf0, 0x00, 0x00,
112 0x00, 0x00, 0x3e, 0xfb, 0xfc, 0xfe, 0x1f, 0xcf, 0x79, 0xff, 0x8f, 0x7f, 0x9f, 0xf1, 0xf7, 0xdf, 0xe7, 0xf0, 0x00, 0x00,
113 0x00, 0x00, 0x7f, 0xff, 0xf8, 0xff, 0x3f, 0xdf, 0xf9, 0xff, 0x9f, 0xff, 0x1f, 0xfb, 0xff, 0xff, 0xc7, 0xf8, 0x00, 0x00,
114 0x00, 0x00, 0x1f, 0x3c, 0xf0, 0xff, 0x9e, 0x3f, 0xf9, 0xef, 0x9f, 0x9e, 0x1c, 0xf8, 0xf9, 0xe7, 0x87, 0xfc, 0x00, 0x00,
115 0x00, 0x00, 0x1e, 0x3c, 0xf0, 0xf7, 0xde, 0x0f, 0x31, 0xe7, 0x87, 0x1e, 0x1c, 0x78, 0xf1, 0xe7, 0x87, 0xbe, 0x00, 0x00,
116 0x00, 0x00, 0x1e, 0x3c, 0xf0, 0xf3, 0xde, 0x0f, 0x01, 0xe7, 0x87, 0x1e, 0x1c, 0x78, 0xf1, 0xe7, 0x87, 0x9e, 0x00, 0x00,
117 0x00, 0x00, 0x1e, 0x3c, 0xf0, 0xf3, 0x9e, 0x0f, 0x01, 0xe7, 0x87, 0x1e, 0x1c, 0x78, 0xf1, 0xe7, 0x87, 0x9c, 0x00, 0x00,
118 0x00, 0x00, 0x1e, 0x3c, 0xf0, 0xfe, 0x1e, 0x0f, 0x01, 0xe7, 0x87, 0x1e, 0x1c, 0x78, 0xf1, 0xe7, 0x87, 0xf0, 0x00, 0x00,
119 0x00, 0x00, 0x1e, 0x3c, 0xf0, 0xfc, 0x1e, 0x0f, 0x01, 0xe7, 0x87, 0x1e, 0x1c, 0x78, 0xf1, 0xe7, 0x87, 0xe0, 0x00, 0x00,
120 0x00, 0x00, 0x1e, 0x3c, 0xf0, 0xf8, 0x1e, 0x0f, 0x01, 0xe7, 0x87, 0x1e, 0x1c, 0x78, 0xf1, 0xe7, 0x87, 0xc0, 0x00, 0x00,
121 0x00, 0x00, 0x1e, 0x3c, 0xf0, 0xf0, 0x1e, 0x0f, 0x01, 0xe7, 0x87, 0x1e, 0x1c, 0x78, 0xf1, 0xe7, 0x87, 0x80, 0x00, 0x00,
122 0x00, 0x00, 0x1e, 0x3c, 0xf0, 0xf0, 0x1e, 0x0f, 0x01, 0xe7, 0x87, 0x1e, 0x1c, 0x78, 0xf1, 0xe7, 0x87, 0x80, 0x00, 0x00,
123 0x00, 0x00, 0x1f, 0x7c, 0xf1, 0xf1, 0x9e, 0x0f, 0x03, 0xf7, 0x8f, 0x9e, 0x3f, 0xf8, 0xe7, 0x8f, 0x8c, 0x00, 0x00,
124 0x00, 0x00, 0x3f, 0x7e, 0xfd, 0xff, 0xbf, 0xdf, 0xe3, 0xff, 0x8f, 0x9f, 0xbf, 0xf9, 0xfb, 0xf7, 0xef, 0xfc, 0x00, 0x00,
125 0x00, 0x00, 0x1e, 0x3c, 0x78, 0x7f, 0x1f, 0xcf, 0xe0, 0xff, 0x8f, 0x8f, 0x1f, 0xf8, 0xf1, 0xe3, 0xc3, 0xf8, 0x00, 0x00,
126 0x00, 0x00, 0x0c, 0x18, 0x70, 0x1c, 0x07, 0x03, 0x80, 0x3c, 0x07, 0x0e, 0x03, 0xc0, 0x60, 0xc3, 0x80, 0xe0, 0x00, 0x00,
127 0x00, 0x00, 0x00, 0x00, 0x00, 0x00, 0x00, 0x00, 0x00, 0x00, 0x00, 0x00, 0x00, 0x00, 0x00, 0x00, 0x00, 0x00,
128 0x00, 0x00, 0x00, 0x00, 0x00, 0x00, 0x00, 0x00, 0x00, 0x00, 0x00, 0x00, 0x00, 0x00, 0x00, 0x00, 0x00, 0x00,
129 0x00, 0x00, 0x00, 0x00, 0x00, 0x00, 0x00, 0x00, 0x00, 0x00, 0x00, 0x00, 0x00, 0x00, 0x00, 0x00, 0x00, 0x00,
130 0x00, 0x00, 0x00, 0x00, 0x00, 0x00, 0x00, 0x00, 0x00, 0x00, 0x00, 0x00, 0x00, 0x00, 0x00, 0x00, 0x00, 0x00,
131 0x00, 0x00, 0x00, 0x00, 0x00, 0x00, 0x00, 0x00, 0x00, 0x00, 0x00, 0x00, 0x00, 0x00, 0x00, 0x00, 0x00, 0x00,
132 0x00, 0x00, 0x00, 0x00, 0x00, 0x00, 0x00, 0x00, 0x00, 0x00, 0x00, 0x00, 0x00, 0x00, 0x00, 0x00, 0x00, 0x00,
133 0x00, 0x00, 0x00, 0x00, 0x00, 0x00, 0x00, 0x00, 0x00, 0x00, 0x00, 0x00, 0x00, 0x00, 0x00, 0x00, 0x00, 0x00,
134 0x00, 0x00, 0x00, 0x00, 0x00, 0x00, 0x00, 0x00, 0x00, 0x00, 0x00, 0x00, 0x00, 0x00, 0x00, 0x00, 0x00, 0x00,
135 0x00, 0x00, 0x00, 0x00, 0x00, 0x00, 0x00, 0x00, 0x00, 0x00, 0x00, 0x00, 0x00, 0x00, 0x00, 0x00, 0x00, 0x00,
136 0x00, 0x00, 0x00, 0x00, 0x00, 0x00, 0x00, 0x00, 0x00, 0x00, 0x00, 0x00, 0x00, 0x00, 0x00, 0x00, 0x00, 0x00,
137 0x00, 0x00, 0x00, 0x00, 0x00, 0x00, 0x00, 0x00, 0x00, 0x00, 0x00, 0x00, 0x00, 0x00, 0x00, 0x00, 0x00, 0x00,
138 0x00, 0x00, 0x00, 0x00, 0x00, 0x00, 0x00, 0x00, 0x00, 0x00, 0x00, 0x00, 0x00, 0x00, 0x00, 0x00, 0x00, 0x00,
139 0x00, 0x00, 0x00, 0x00, 0x00, 0x00, 0x00, 0x00, 0x00, 0x00, 0x00, 0x00, 0x00, 0x00, 0x00, 0x00, 0x00, 0x00,
140 0x00, 0x00, 0x00, 0x00, 0x00, 0x00, 0x00, 0x00, 0x00, 0x00, 0x00, 0x00, 0x00, 0x00, 0x00, 0x00, 0x00, 0x00,
141 0x00, 0x00, 0x00, 0x00, 0x00, 0x00, 0x00, 0x00, 0x00, 0x00, 0x00, 0x00, 0x00, 0x00, 0x00, 0x00, 0x00, 0x00,
142 0x00, 0x00, 0x00, 0x00, 0x00, 0x00, 0x00, 0x00, 0x00, 0x00, 0x00, 0x00, 0x00, 0x00, 0x00, 0x00, 0x00, 0x00,
143 };
144
145 // Check-merkki
146 static const uint8_t PROGMEM logo16_glcd_bmp[] = {
147 0x00, 0x00, 0x00,
148 0x00, 0x00, 0x1c,
149 0x00, 0x00, 0x1f,
150 0x00, 0x00, 0x3f,
151 0x00, 0x00, 0x7e,
152 0x00, 0x00, 0x7c,
153 0x00, 0x00, 0xfc,
154 0x00, 0x01, 0xf8,
155 0x00, 0x01, 0xf8,
156 0x00, 0x03, 0xf0,
157 0x00, 0x07, 0xe0,
158 0x00, 0x07, 0xc0,
159 0x38, 0x0f, 0xc0,
160 0x7c, 0x1f, 0x80,
161 0xfe, 0x1f, 0x00,
162 0x7f, 0x3f, 0x00,
163 0x3f, 0xfe, 0x00,
164 0x1f, 0xfc, 0x00,
165 0x0f, 0xfc, 0x00,
166 0x07, 0xf8, 0x00,
167 0x03, 0xf0, 0x00,
168 0x01, 0xf0, 0x00,
169 0x00, 0xe0, 0x00,
170 0x00, 0x00, 0x00
171 };
172
173 // Salama
174 static const uint8_t PROGMEM charge_9_11[] = {
175 0x1e, 0x00,
176 0x3c, 0x00,
177 0x38, 0x00,
178 0x70, 0x00,
179 0x60, 0x00,
180 0xff, 0x80,
181 0x07, 0x80,
182 0x0f, 0x00,
```

```
183     0x1c, 0x00,  
184     0x30, 0x00,  
185     0x40, 0x00  
186 };  
187  
188 #endif  
189
```